



μ μ

&

&

μμ



5 :

5.1

$\mu \quad \mu , \quad \mu$

$\mu \quad , \quad , \quad ,$

$\mu \quad \mu \quad .$

μ

$,$

$\mu \quad \mu$

μ

μ

$.$

$,$
 $\mu \quad .$

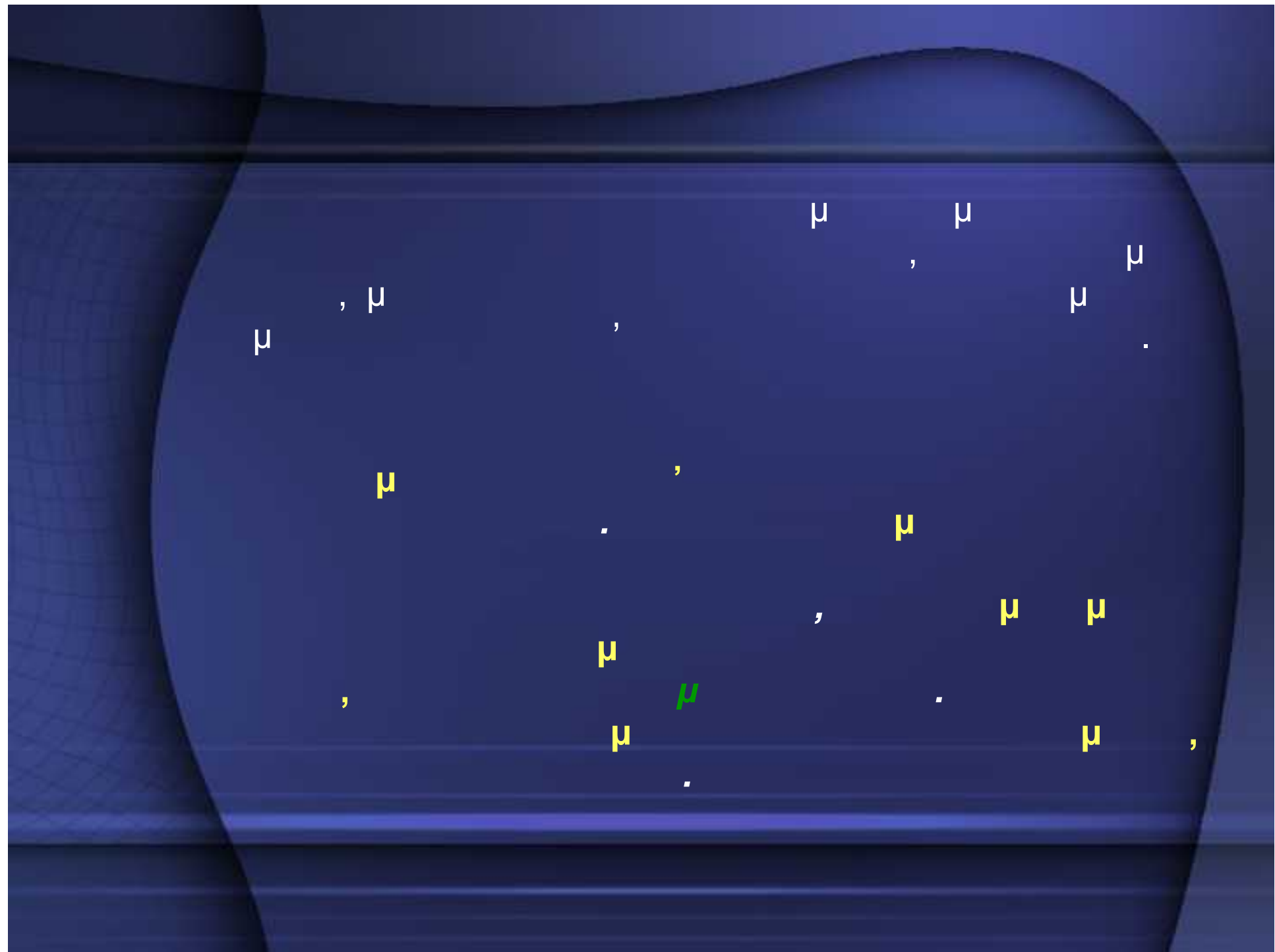
$, \quad \mu$

μ

$, \quad ,$

$\mu \quad \mu$

$. \quad .$



5.2

μ

μ

μ

μ

,

μ

μ

μ

۲۷

μ

μ

μ

μ

,

μ .

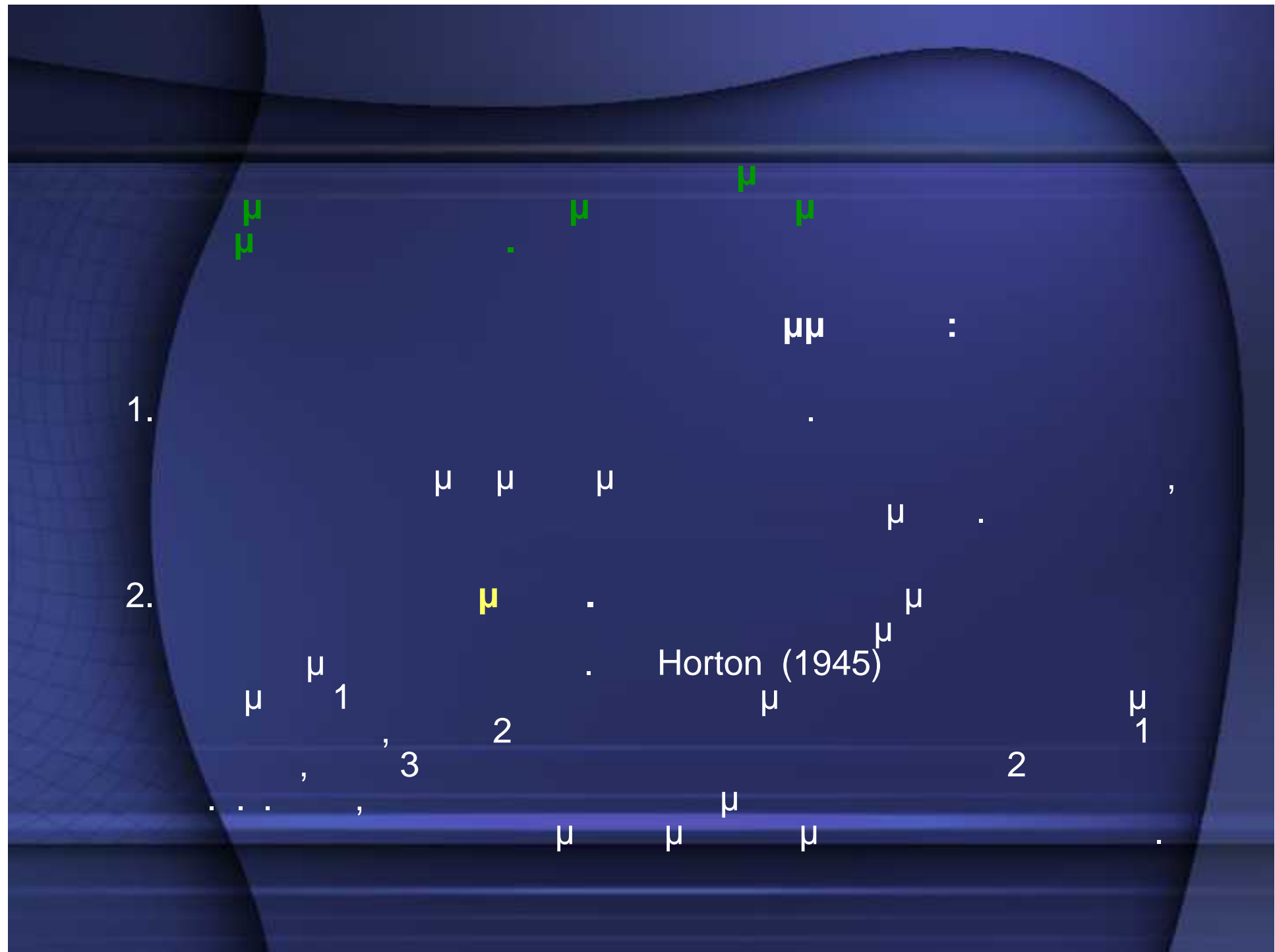
μ ,
 $\mu\mu$;
 $\mu\mu$;
,

(Bedient and Huber, 1992).

$\mu = 5.1,$



Σχήμα 5.1 Τρόπος χάραξης του υδρογραφικού δικτύου σε τοπογραφικό χάρτη.



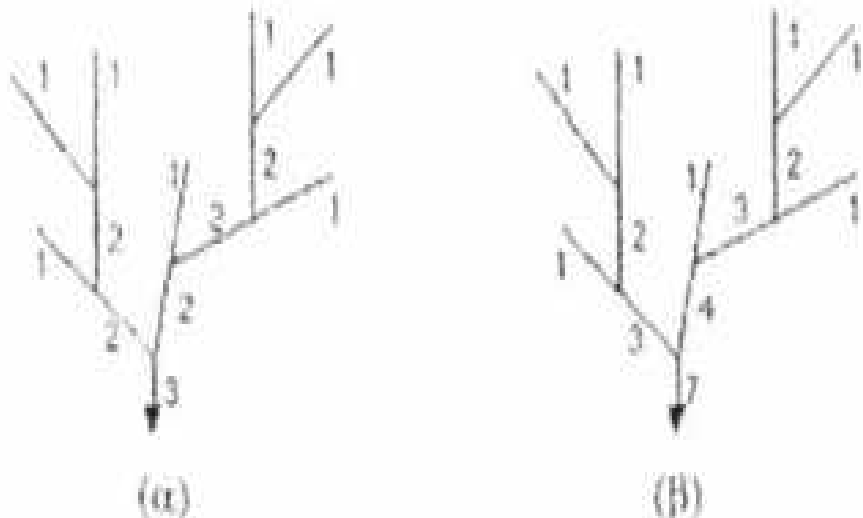
Strahler.

μ
Shreve

μ
Strahler
Shreve

μ 5.2
Strahler.

Shreve
 μ μ Horton,
 μ
 μ μ



Σχήμα 5.2 Βαθμονόμηση υδατορευμάτων κατά (α) Horton και Strahler και (β) Shreve.

3.

μ

μ

μ

μ

μ

.

μ

μ

,

$$D_d = \frac{\sum L}{A_d}$$

L

μ

d

μ

μ

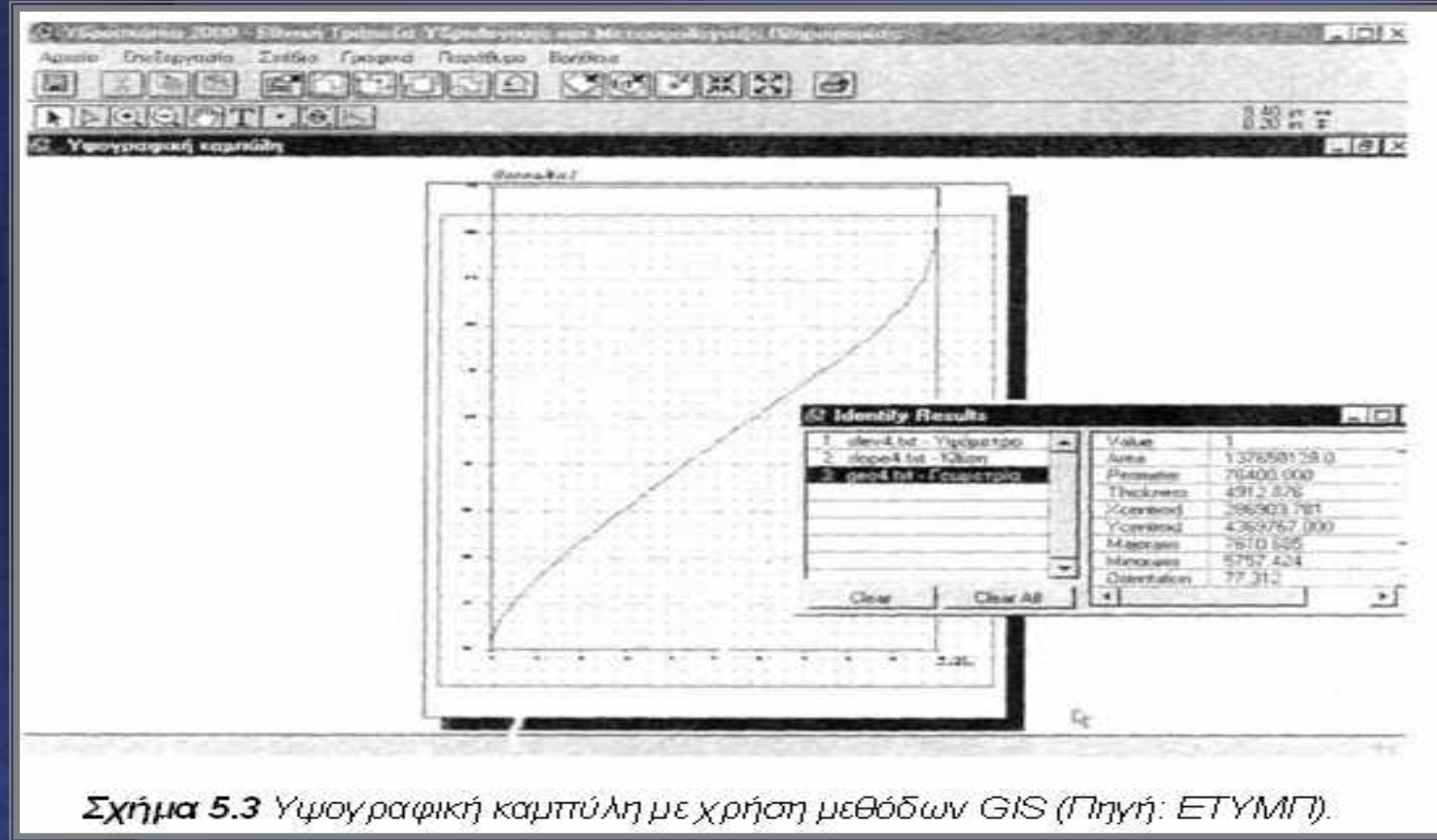
μ

, μ

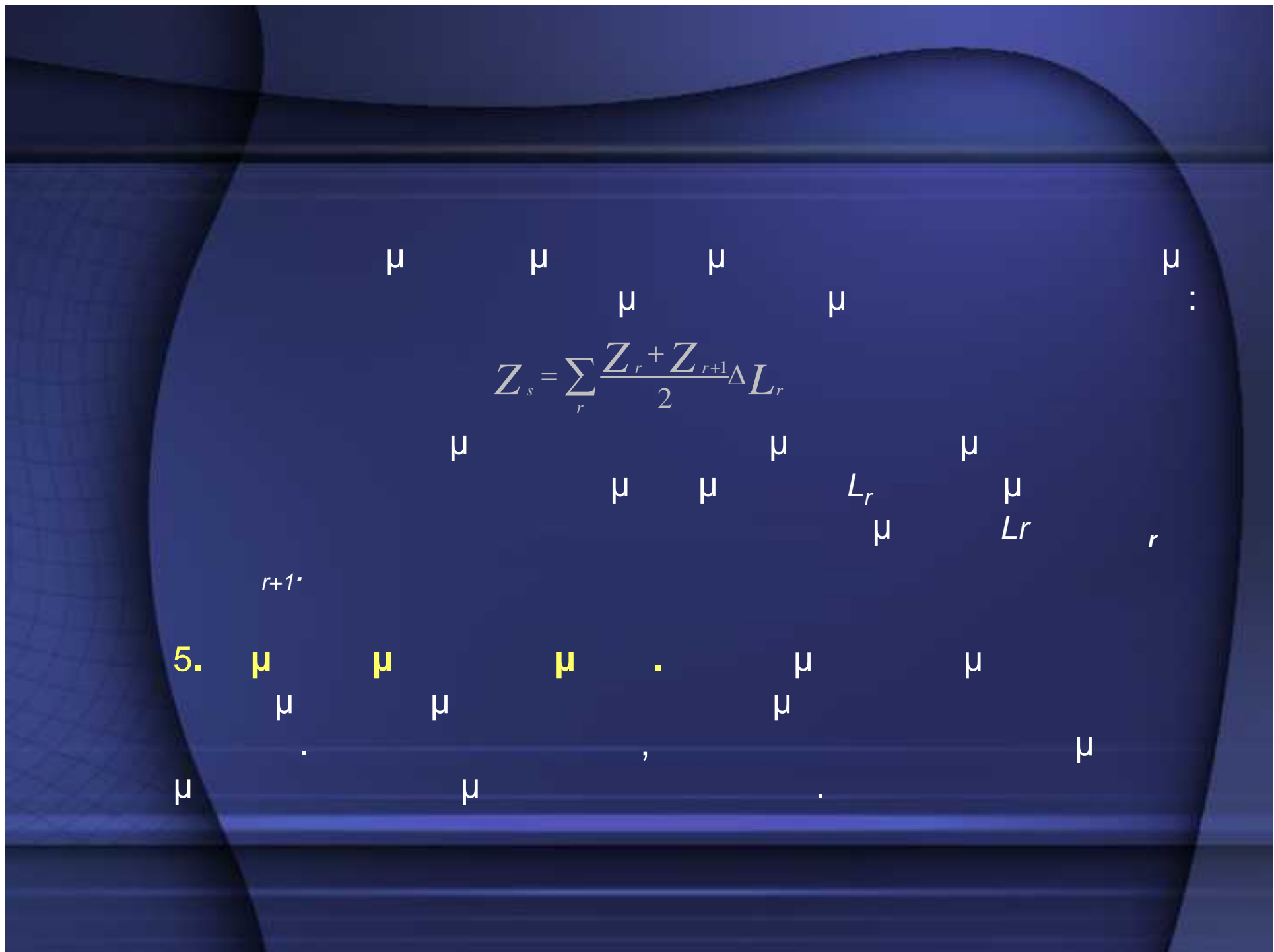
μ

$$, D_d = 0.5,$$

$$D_d = 3.$$

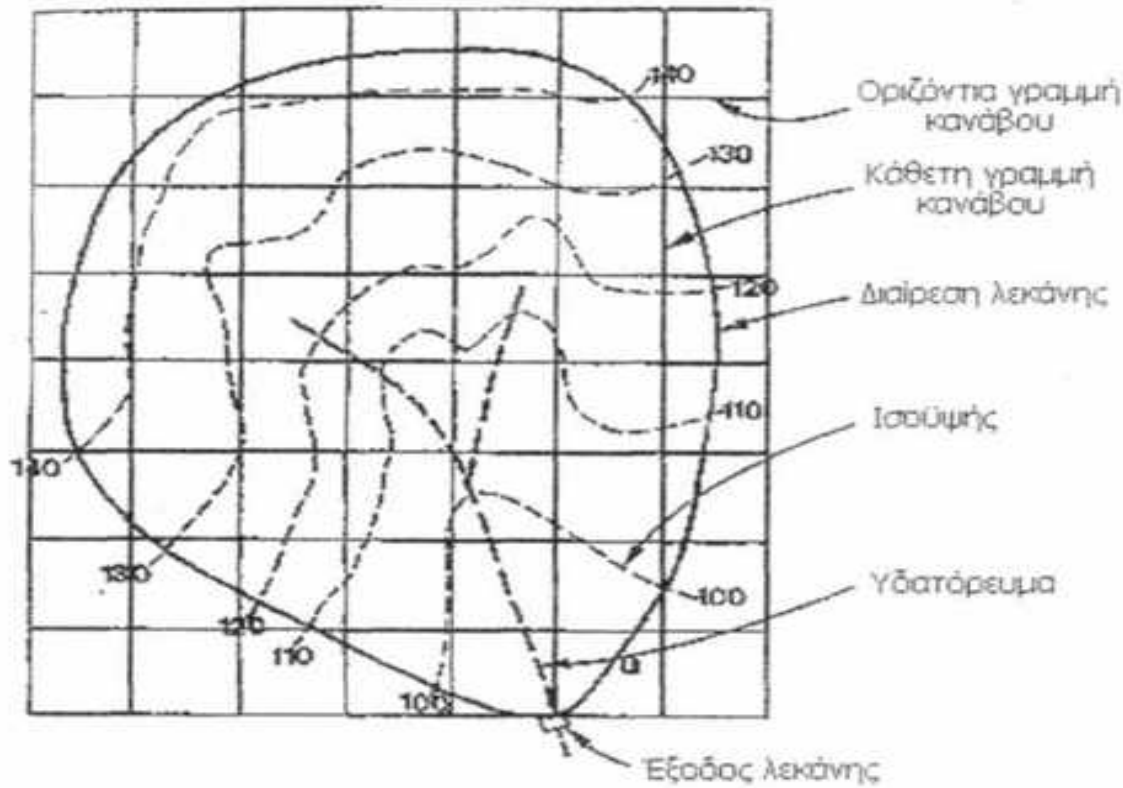


Σχήμα 5.3 Υψογραφική καμπύλη με χρήση μεθόδων GIS (Πηγή: ΕΤΥΜΠ).



h , μ_L , μ_S
 $\mu\mu$, μ
 $\mu\mu$, μ
:

$$S = \frac{h N}{L}$$



Σχήμα 5.4 Κάναβος πάνω στη λεκάνη απορροής για τον προσδιορισμό της κλίσης της λεκάνης.

7.

μ

μ

,

μ

μ

μ

μ

μ

b

۱۴

μ

μ

μ

W

۲

$$A_w = \frac{bL}{2}$$

L

μ

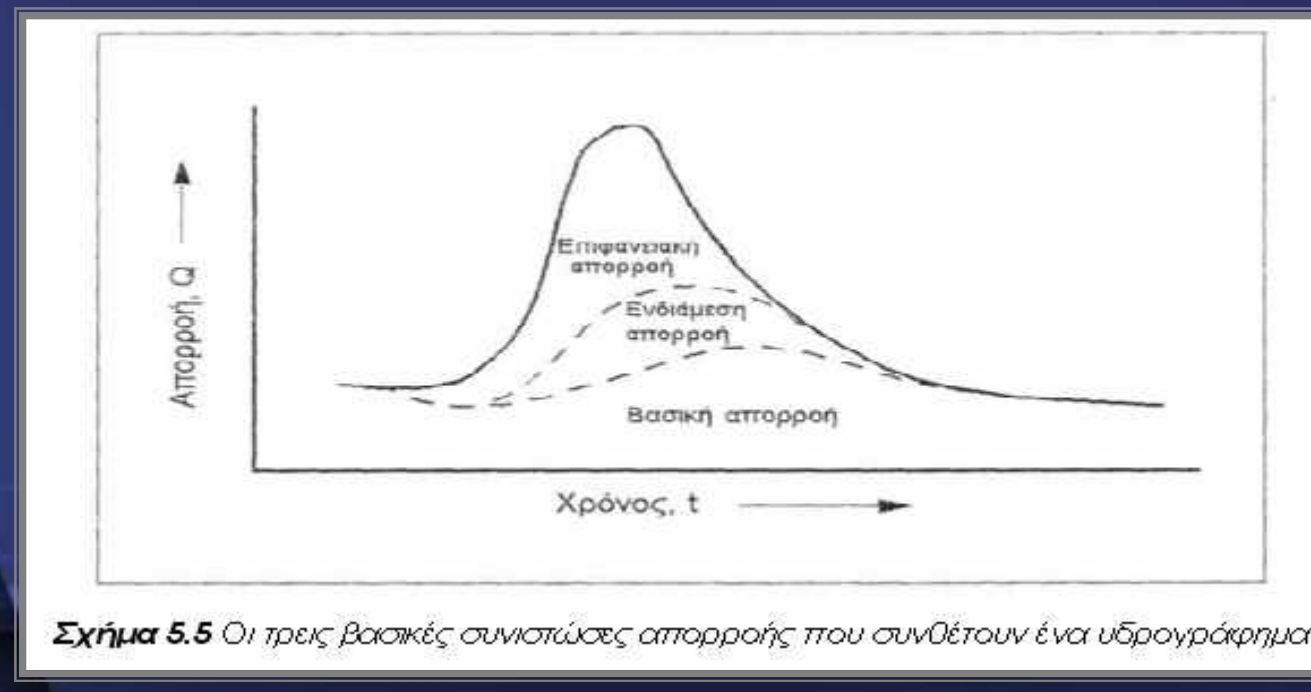
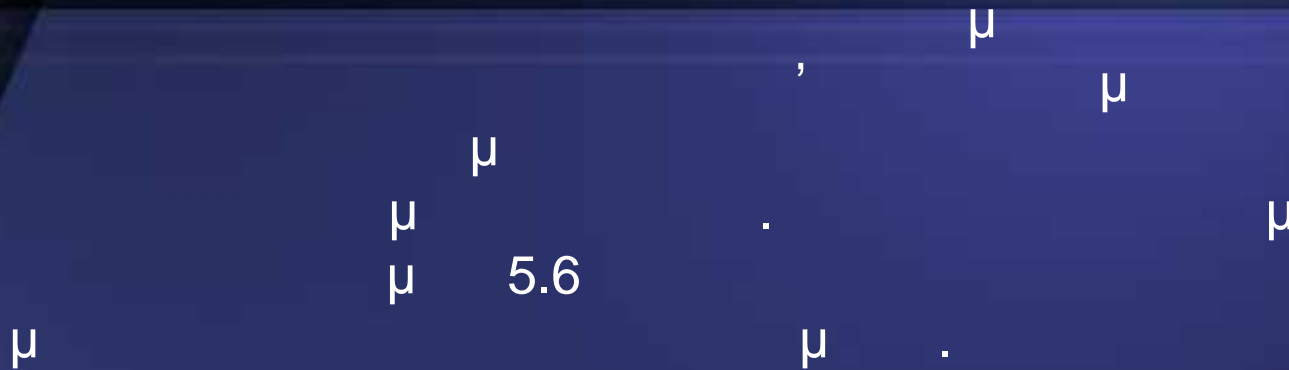
μ

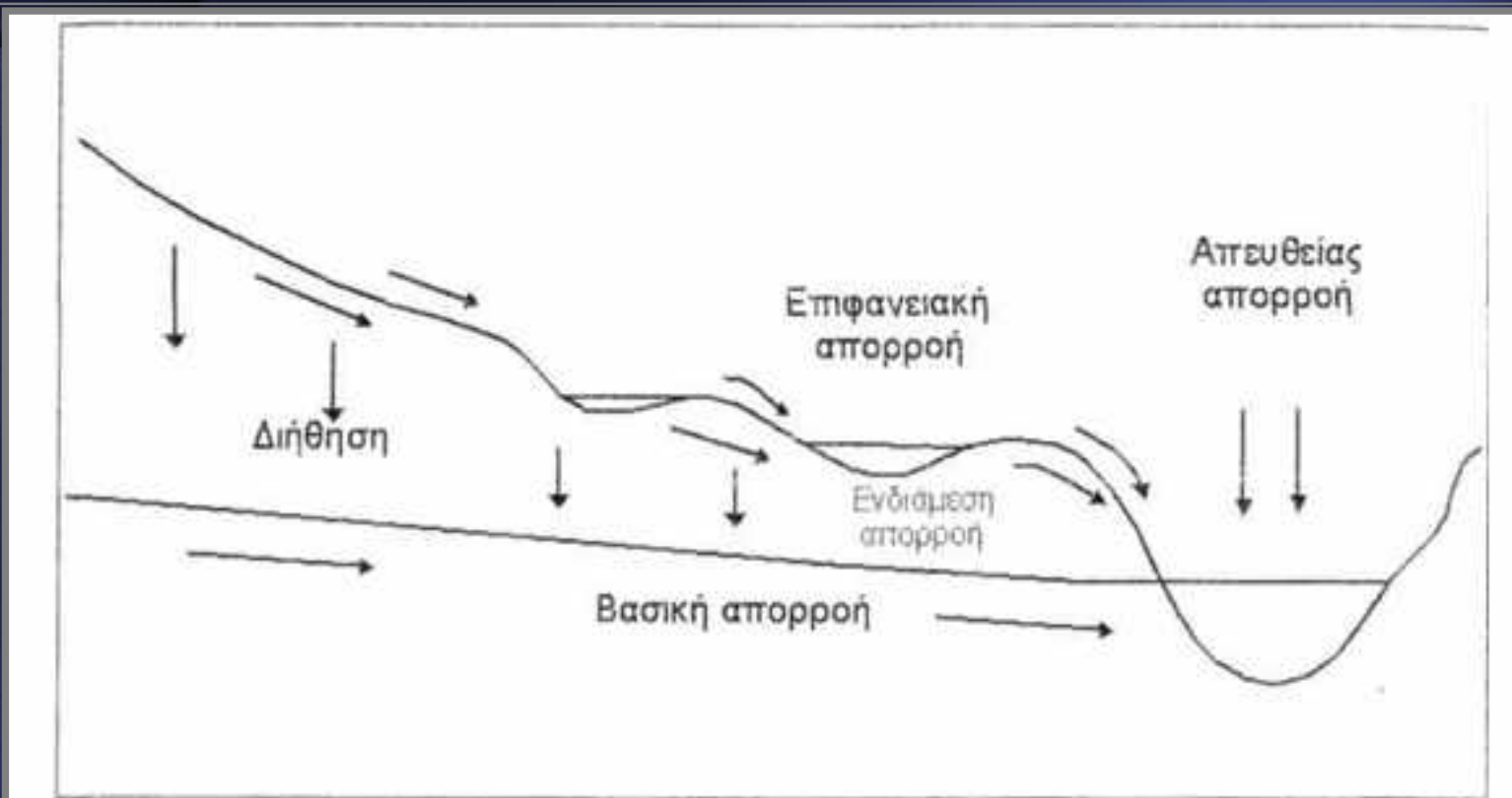
μ

5%

5.3

$$\frac{\mu}{\mu} \cdot \frac{\mu}{\mu} \left(\frac{\mu}{\mu} \cdot \frac{m^3/sec.}{\mu} \right) \cdot \frac{\mu}{\mu},$$
$$\cdot \frac{(\mu)}{\mu} \cdot \frac{5.5}{\mu}, \frac{\mu}{\mu}, \frac{\mu}{\mu}, \frac{\mu}{\mu}, \frac{\mu}{\mu}.$$





Σχήμα 5.6 Σκαρίφημα που δείχνει τους παράγοντες που διαμορφώνουν την παροχή του ρεύματος

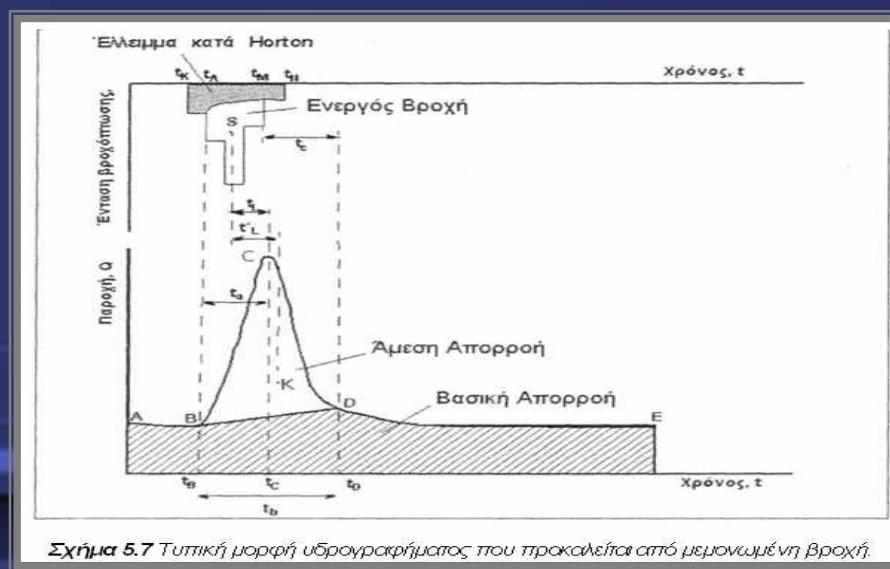
5.3.1

μ

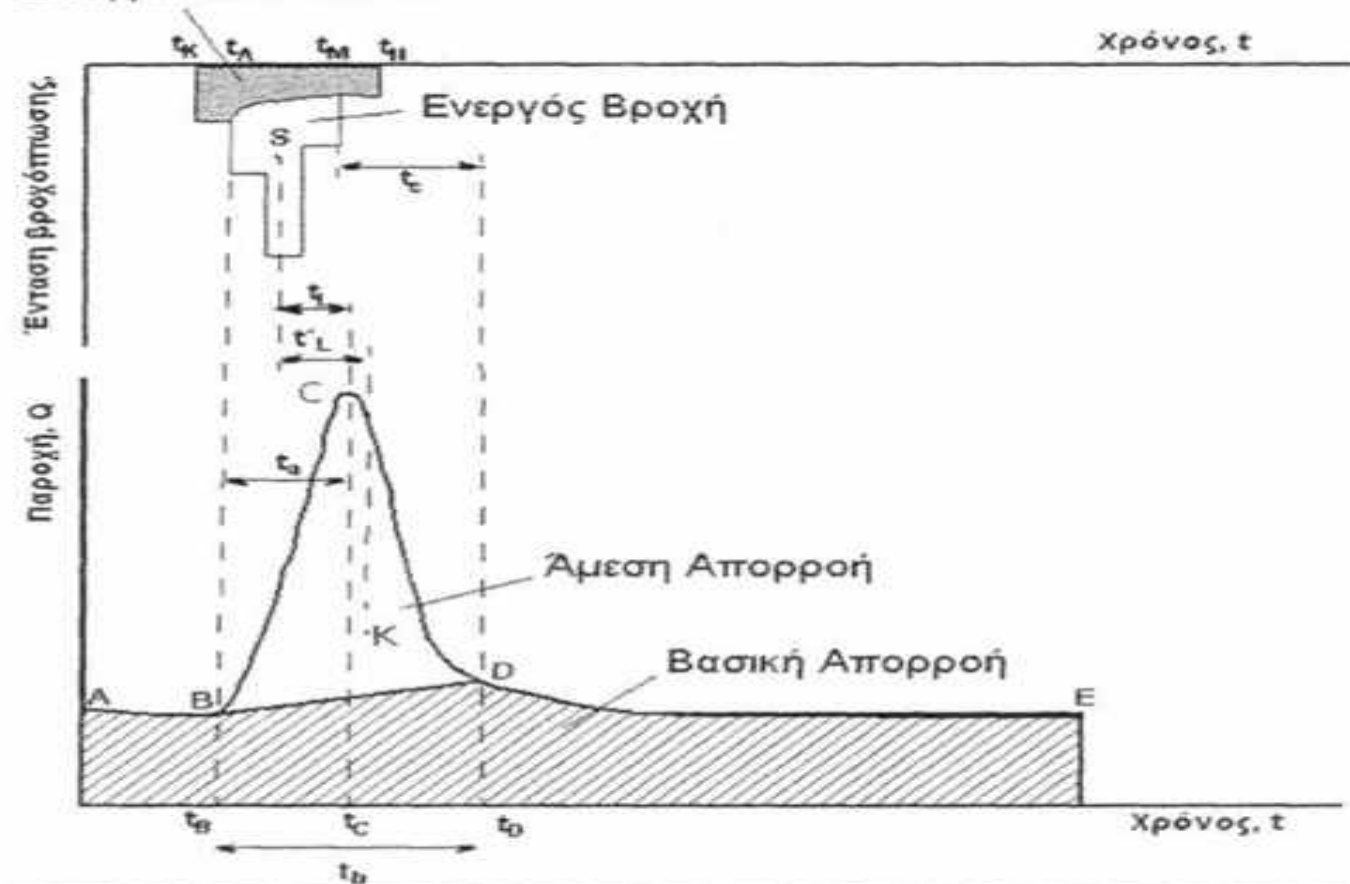
$$\mu, \mu$$

$$\mu_1, \mu_2, \mu_3, \mu_4$$

$$\mu \quad \mu \quad \mu \quad ,$$



Έλαιμμα κατά Horton



Σχήμα 5.7 Τυπική μορφή υδρογραφήματος που προκαλείται από μεμονωμένη βροχή.

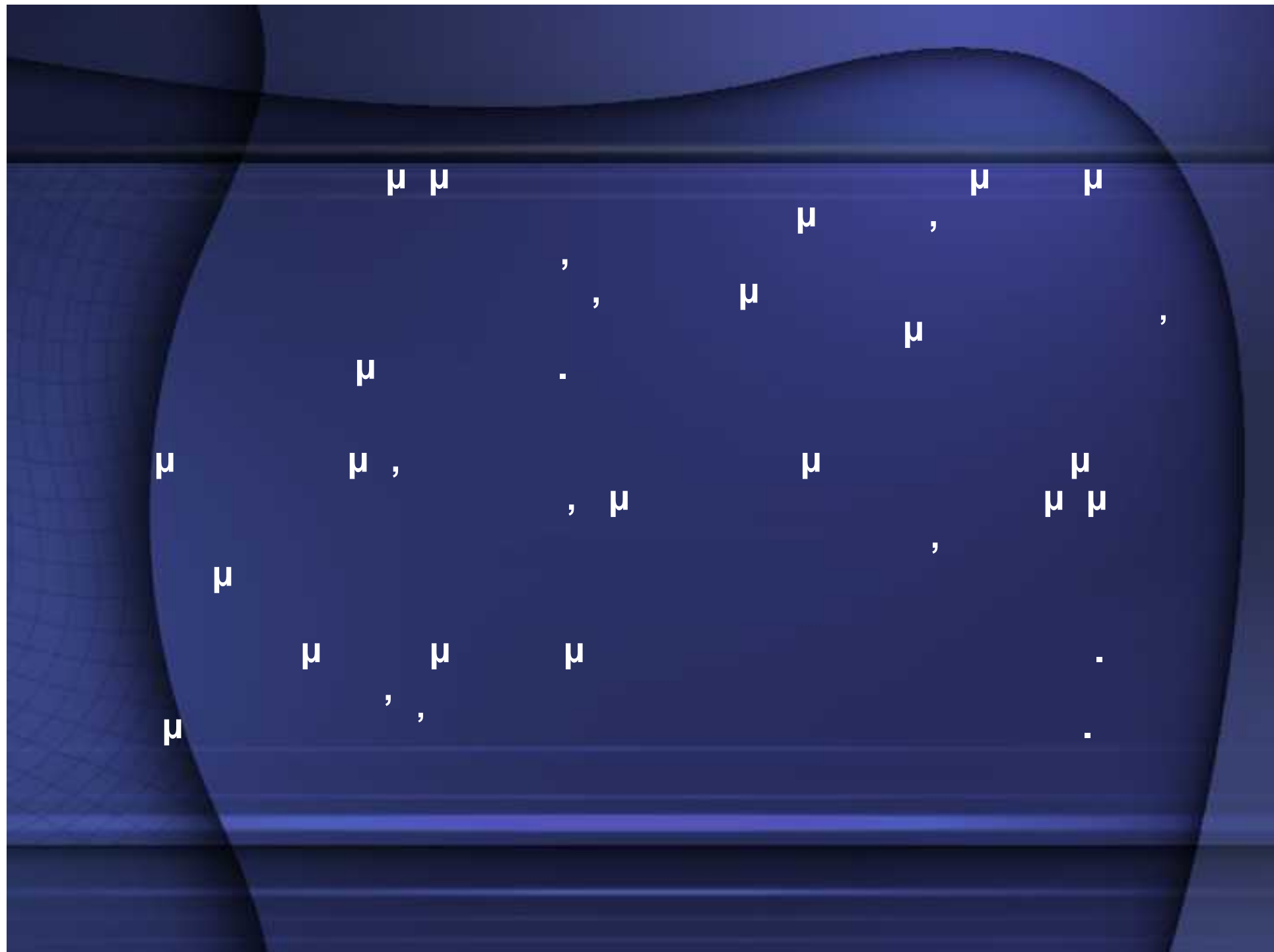
$$t = t_\mu$$

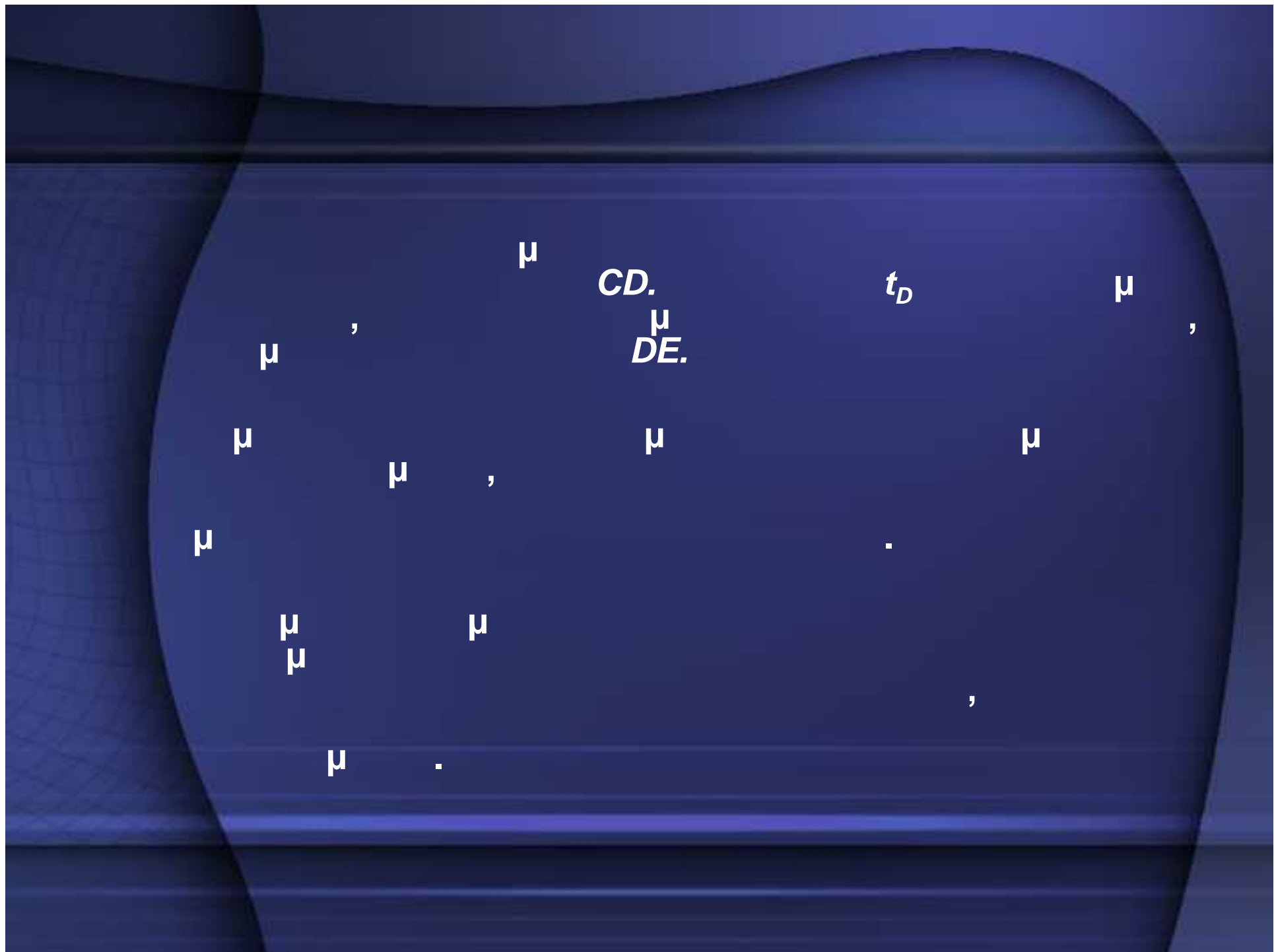
μ C

μ

μ

μ
μ ,





μ
 (t_B, t_D)

$$t_b := t_D - t_B$$

μ

μ

μ

$$\mu\mu$$

(

:

μ

$$, t_a := t_c - t_B$$

S

t_s

μ

$$t_L := t_K - t_s ,$$

t_k

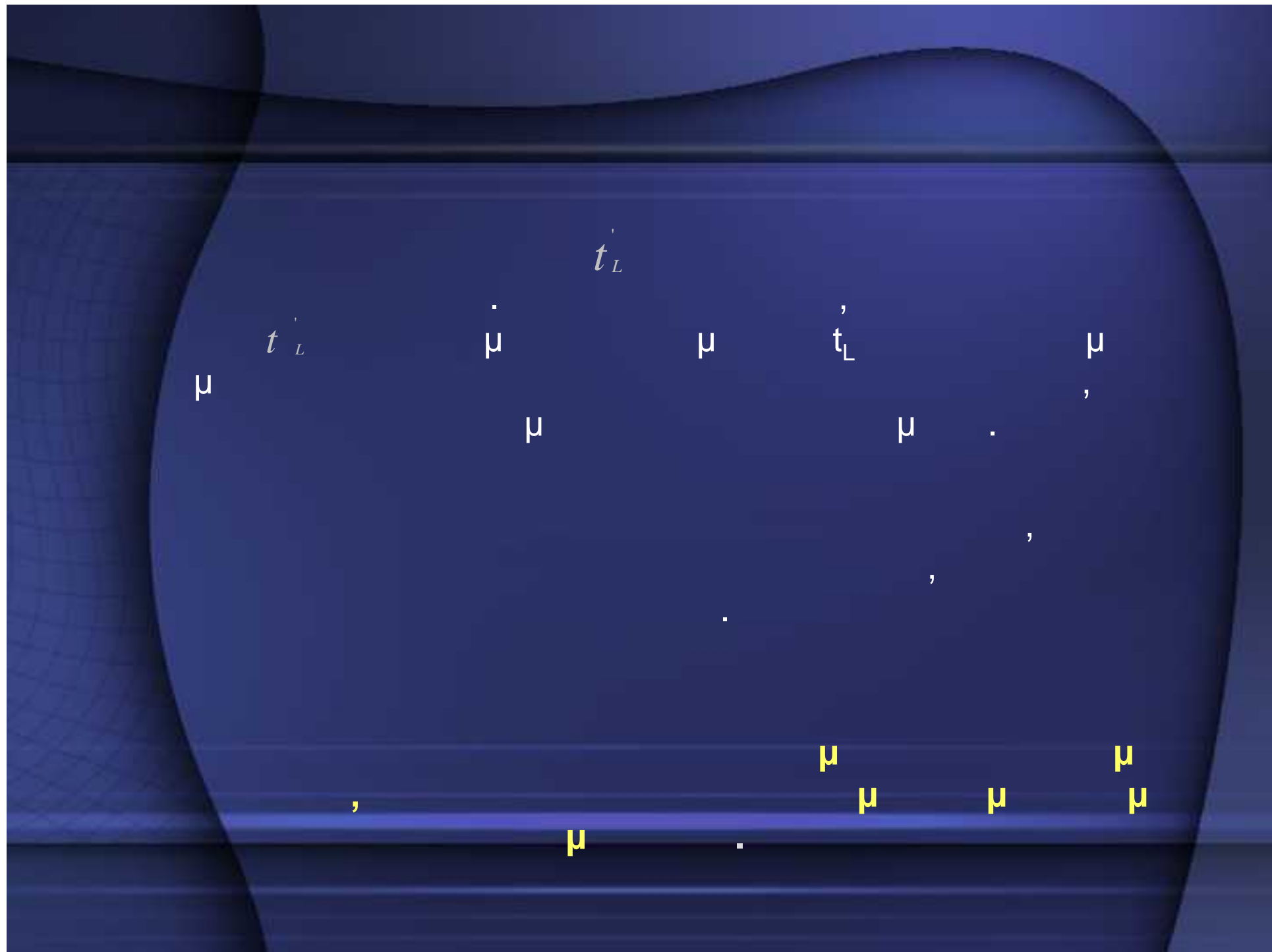
μ

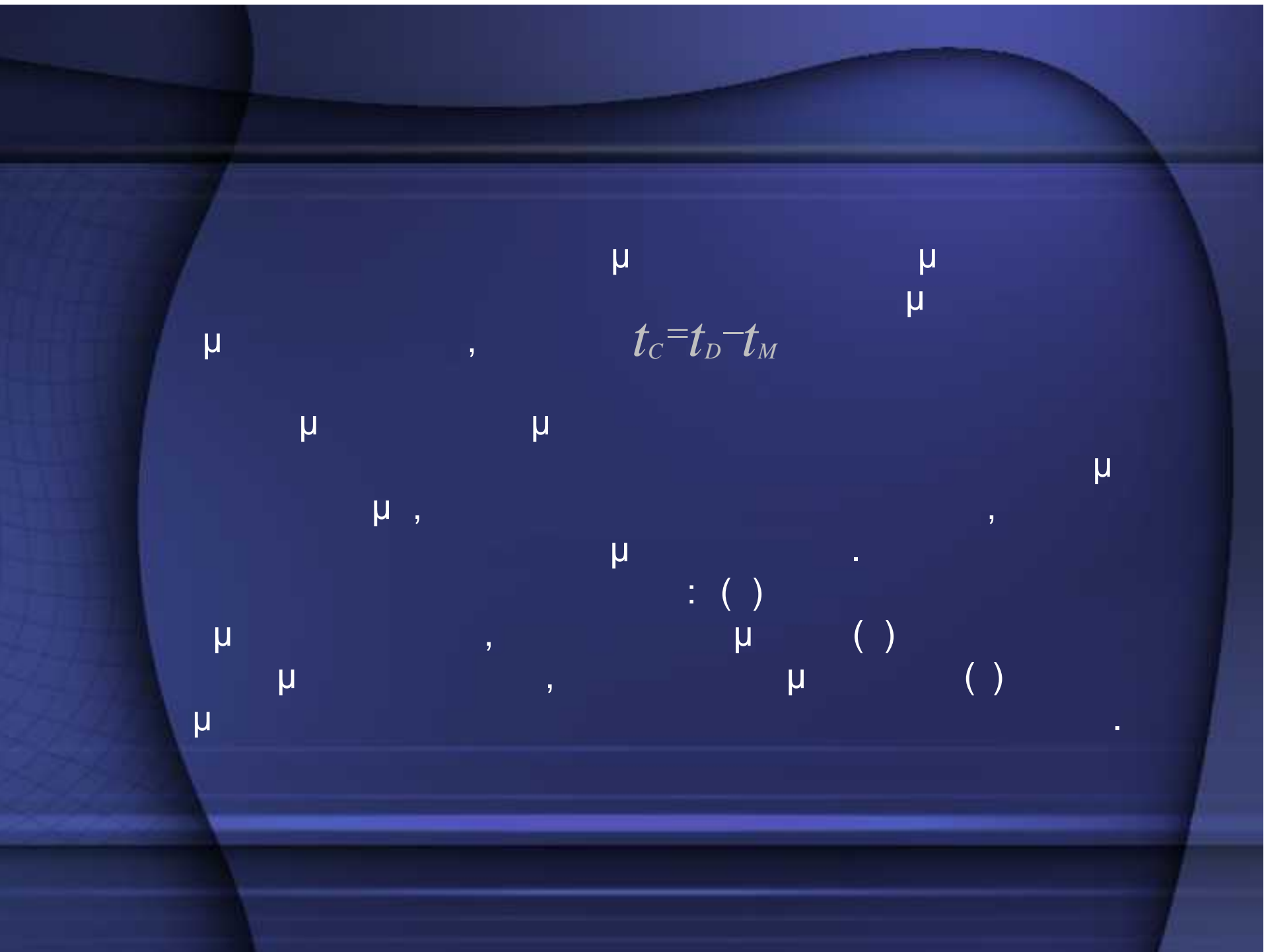
μ

μ

,

.





μ , μ , $t_c = t_D - t_M$

μ , μ , μ , μ .

μ , μ .

μ : () .

μ () .

μ () .

$$\begin{aligned}
 & \mu \quad \mu \quad \mu , \quad \mu \\
 & \mu \quad \mu \quad \mu \quad \mu \\
 & \mu \mu \quad . \quad \mu \quad \mu \\
 & , \quad : \quad \mu \quad \mu \\
 & V_d = \int_{t_B}^{t_D} Q_d(t) dt \\
 & Q_d(t) \quad \mu \quad t \\
 & Q_b(t) \quad . \quad Q(t)\mu , \quad \mu \quad \mu \\
 & \mu \quad \mu \quad \mu \quad \mu \quad :
 \end{aligned}$$

$$V_e = \int_{t_\Lambda}^{t_M} i_e(t) dt S = h_e S$$

$$i_e(t), \quad h_e$$

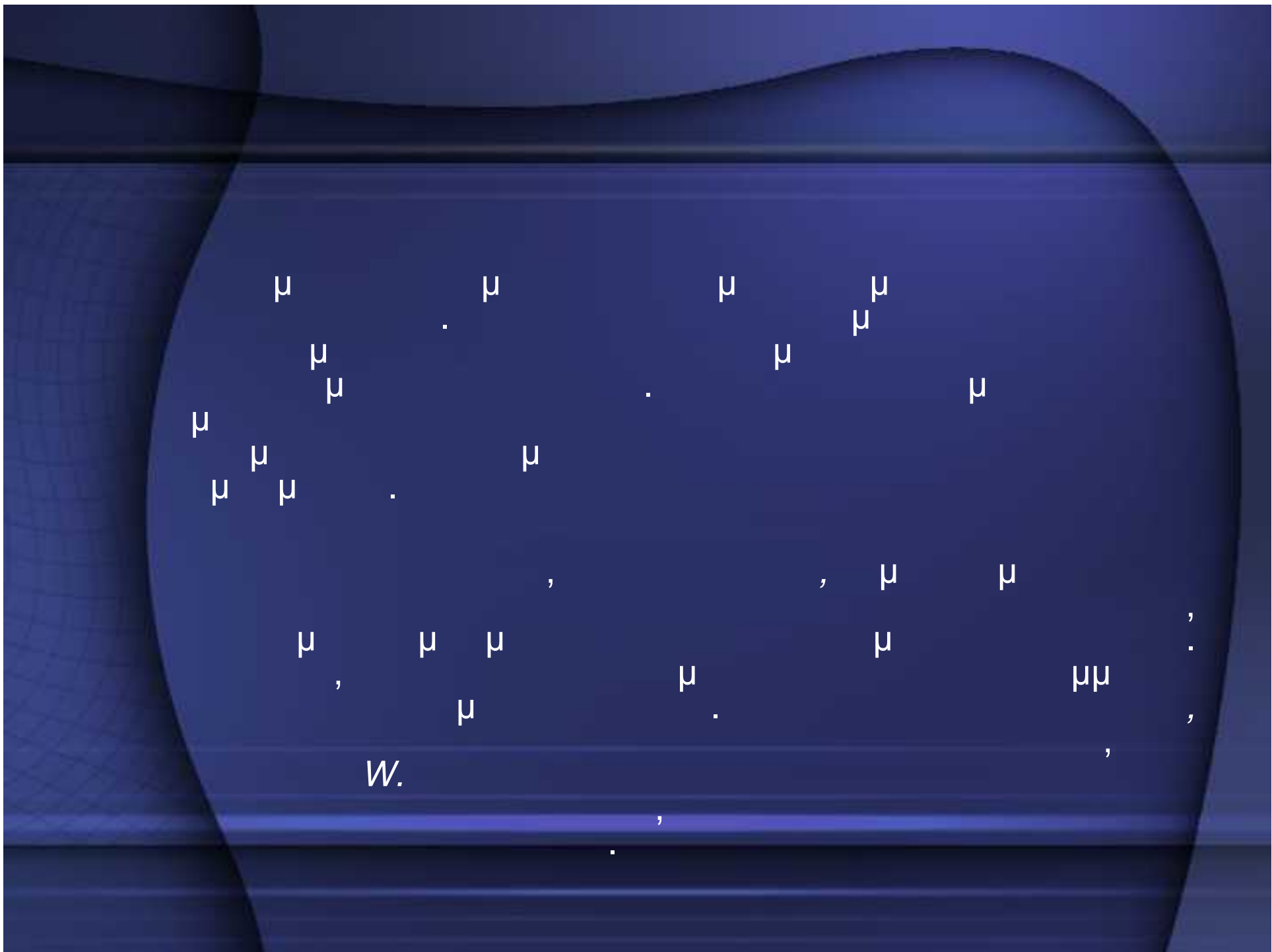
$$S.$$

$$\mu : V_d = V_e$$

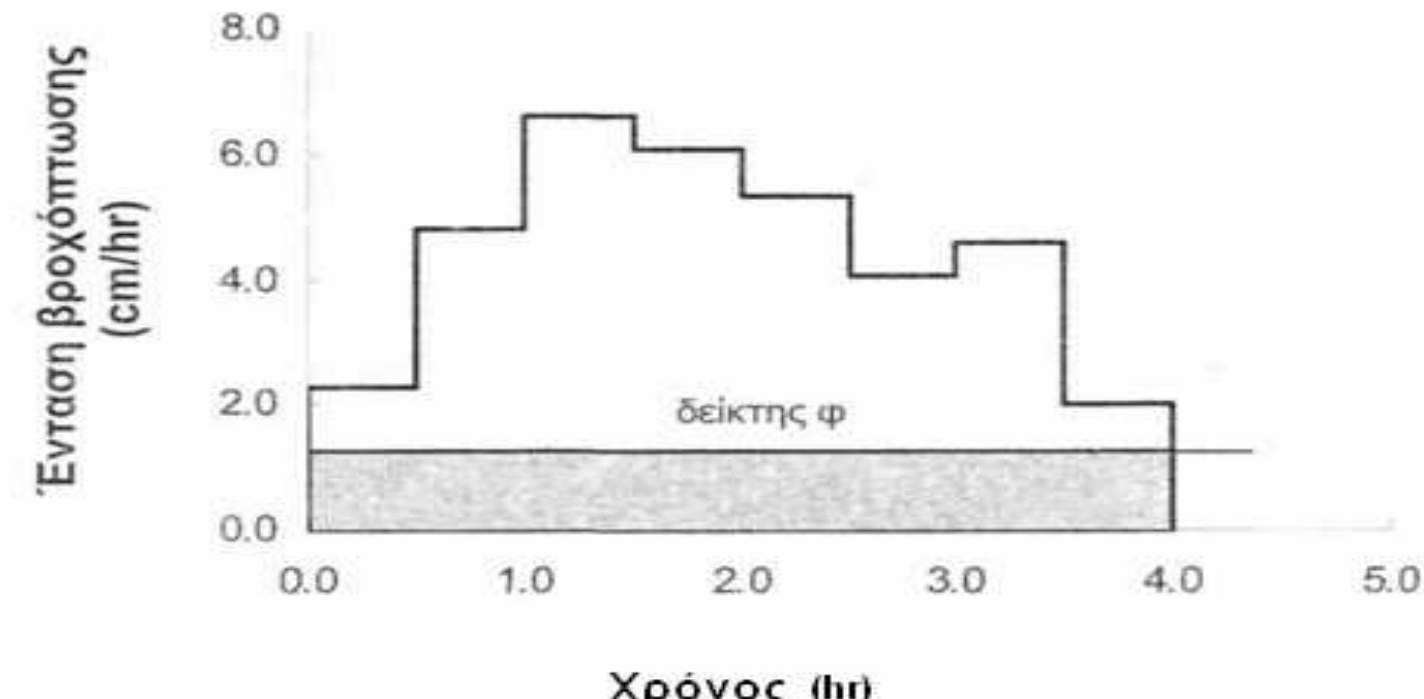
$$,$$

$$h_e = \frac{V_d}{S}$$

$$\mu \quad h_e \quad \mu \\ \mu .$$







Σχήμα 5.8 Αναπαράσταση του δείκτη ϕ.

5.3.2

μ

μ

μ

μ ,
 μ
 μ

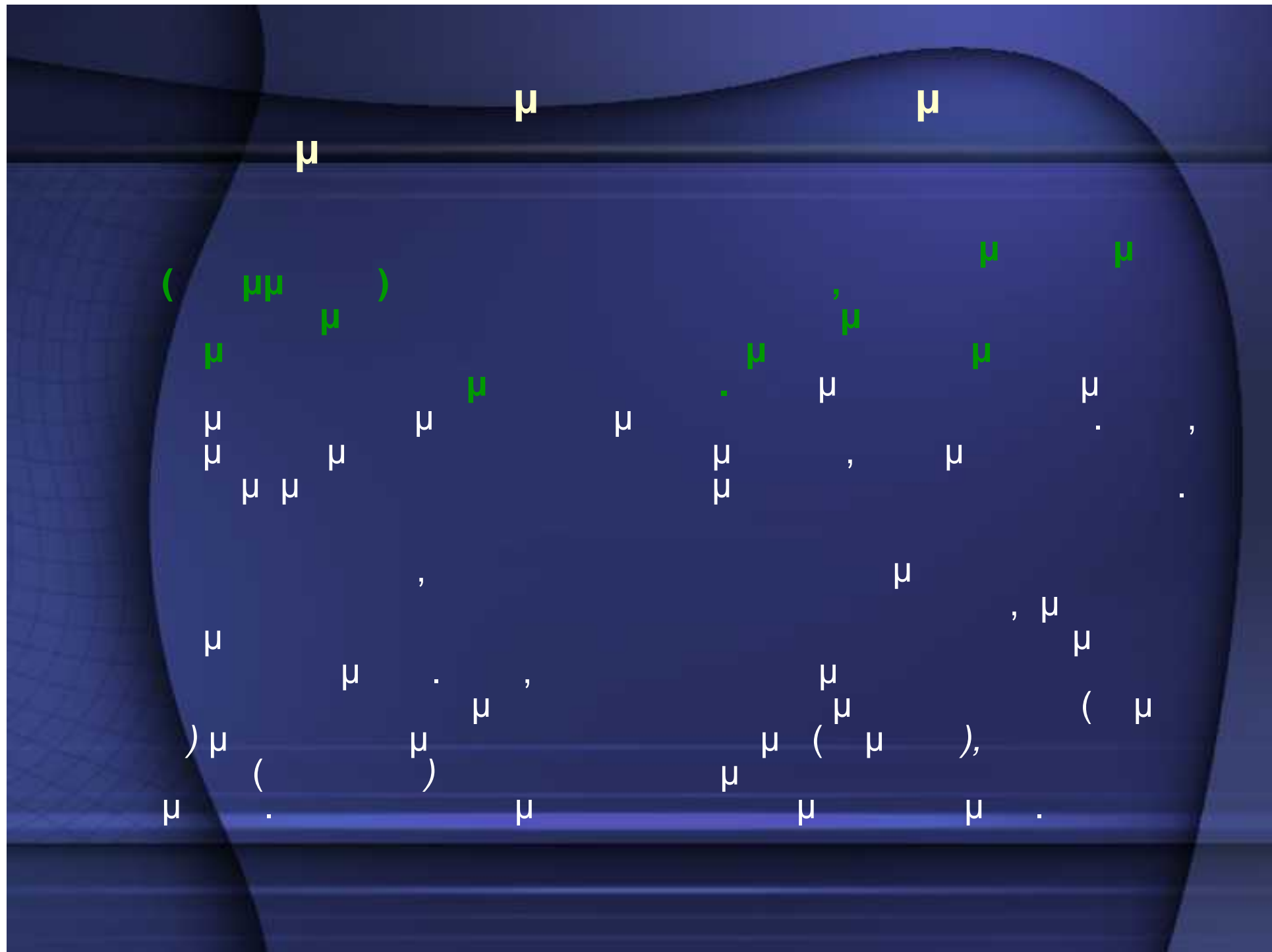
μ
 μ

,

μ

μ

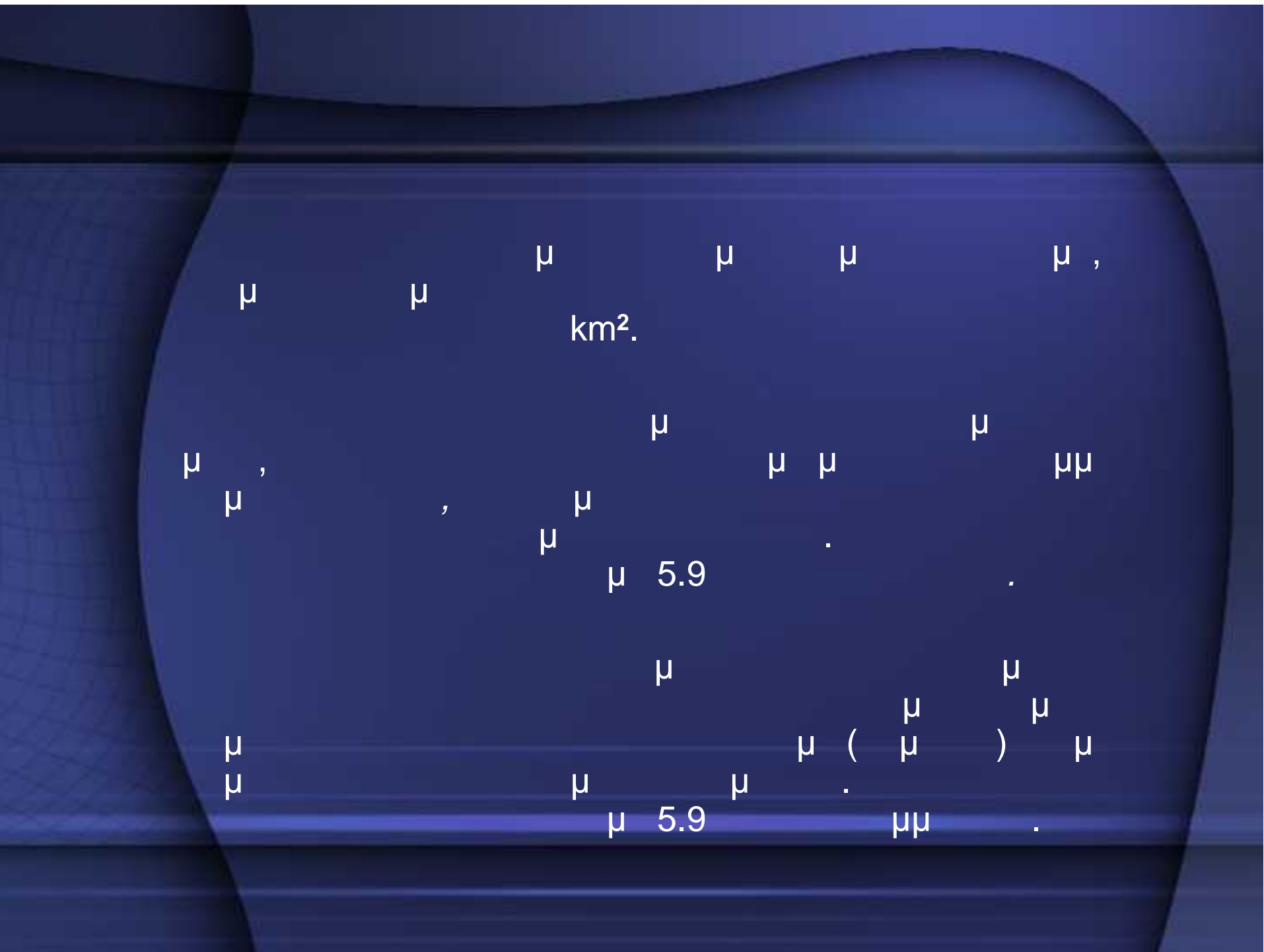
μ ,
 μ





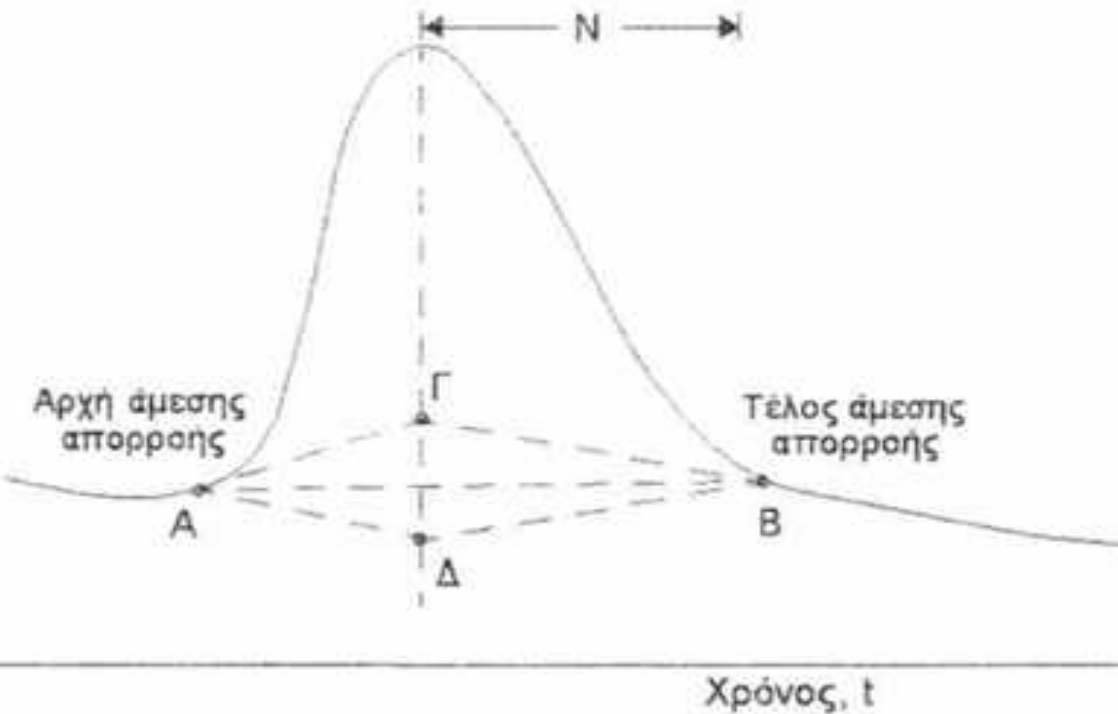
μ μ μ , μ
 μ μ . μ μ
 μ , μ μ
(Linsley et al., 1982).
Linsley et al (1958) μ :

$$N = 0.8 A^{0.2}$$





Απορροή, Q



Χρόνος, t

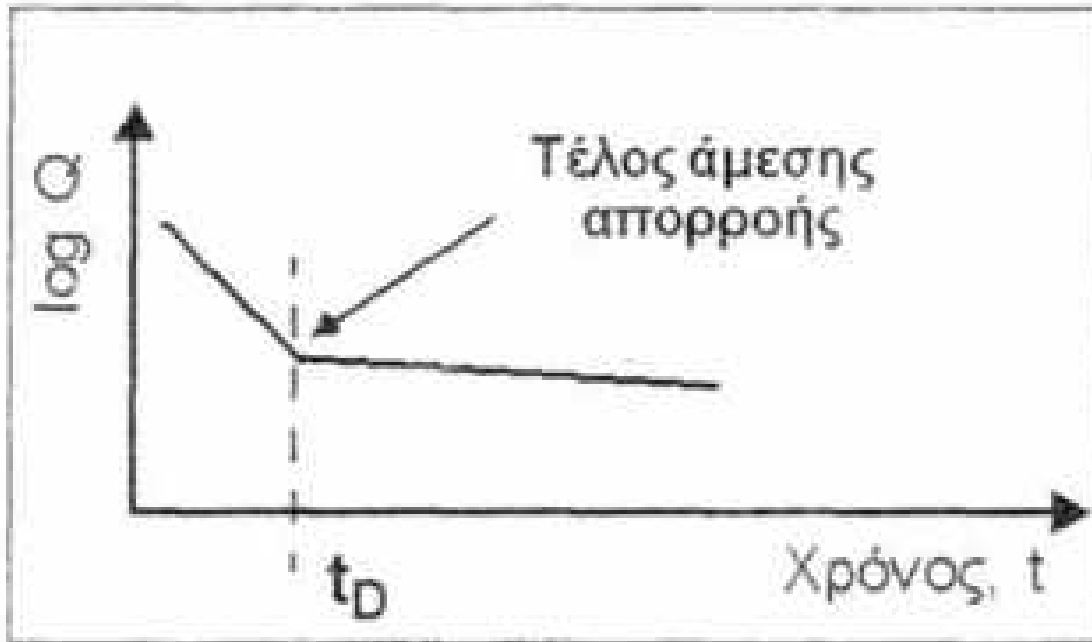
Σχήμα 5.9 Διαχωρισμός υδρογραφήματος σε άμεση και βασική απορροή με τρεις διαφορετικές γραφικές μεθόδους.

Horner Flynt (1936) Barnes (1939)

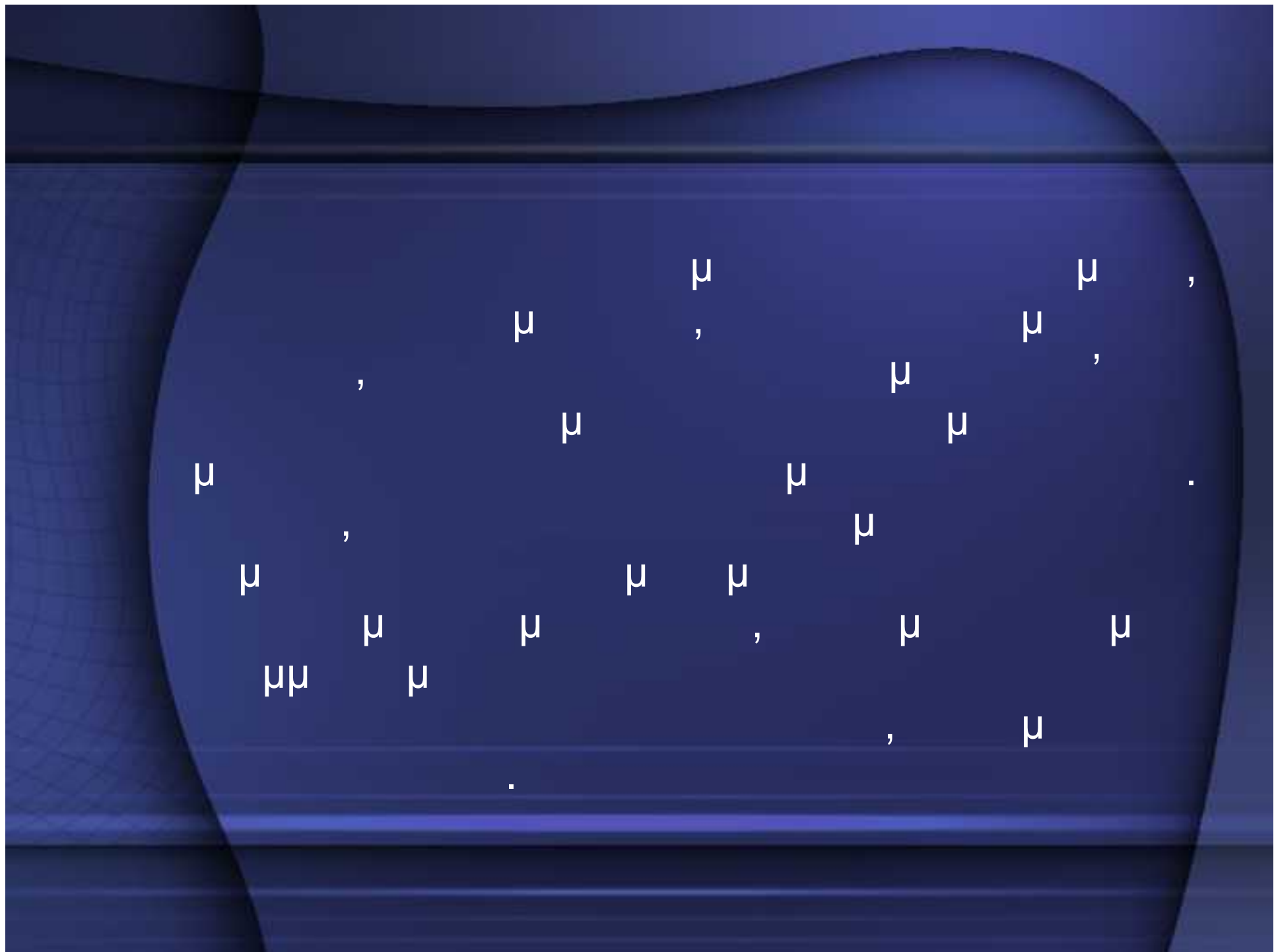
μ_1 μ_2 μ_1

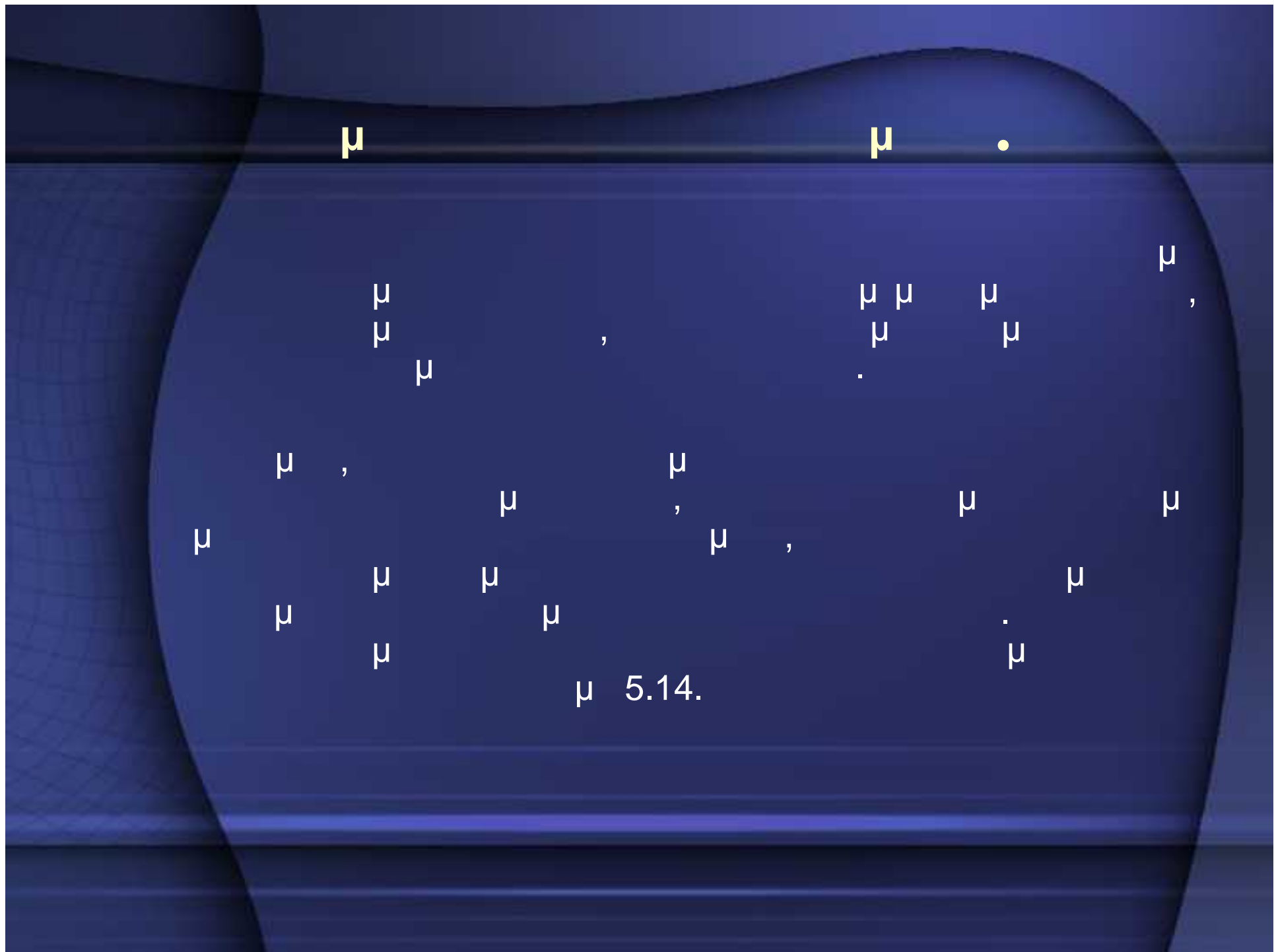
(, 1983):

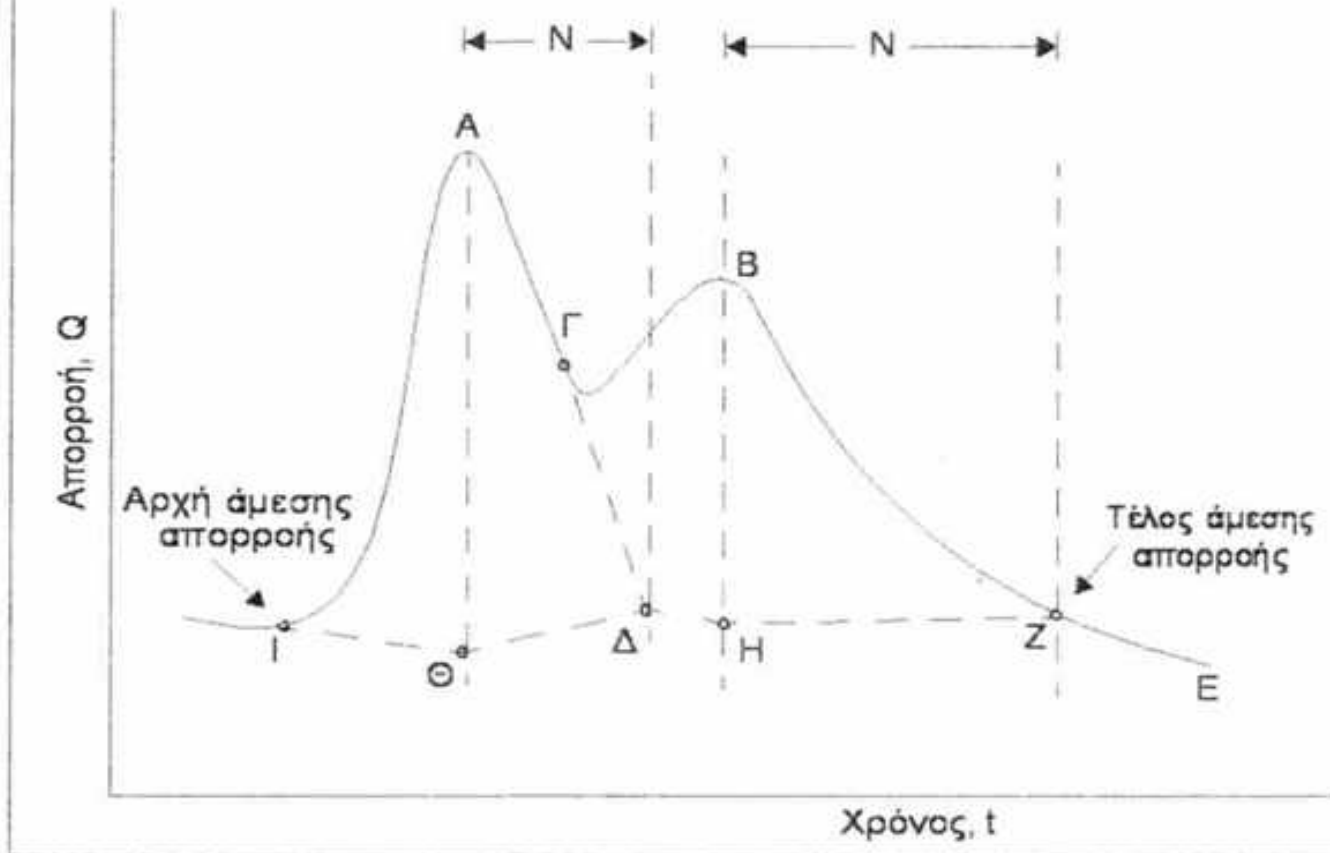
$$Q_2 = Q_1 K^{-\Delta t}$$



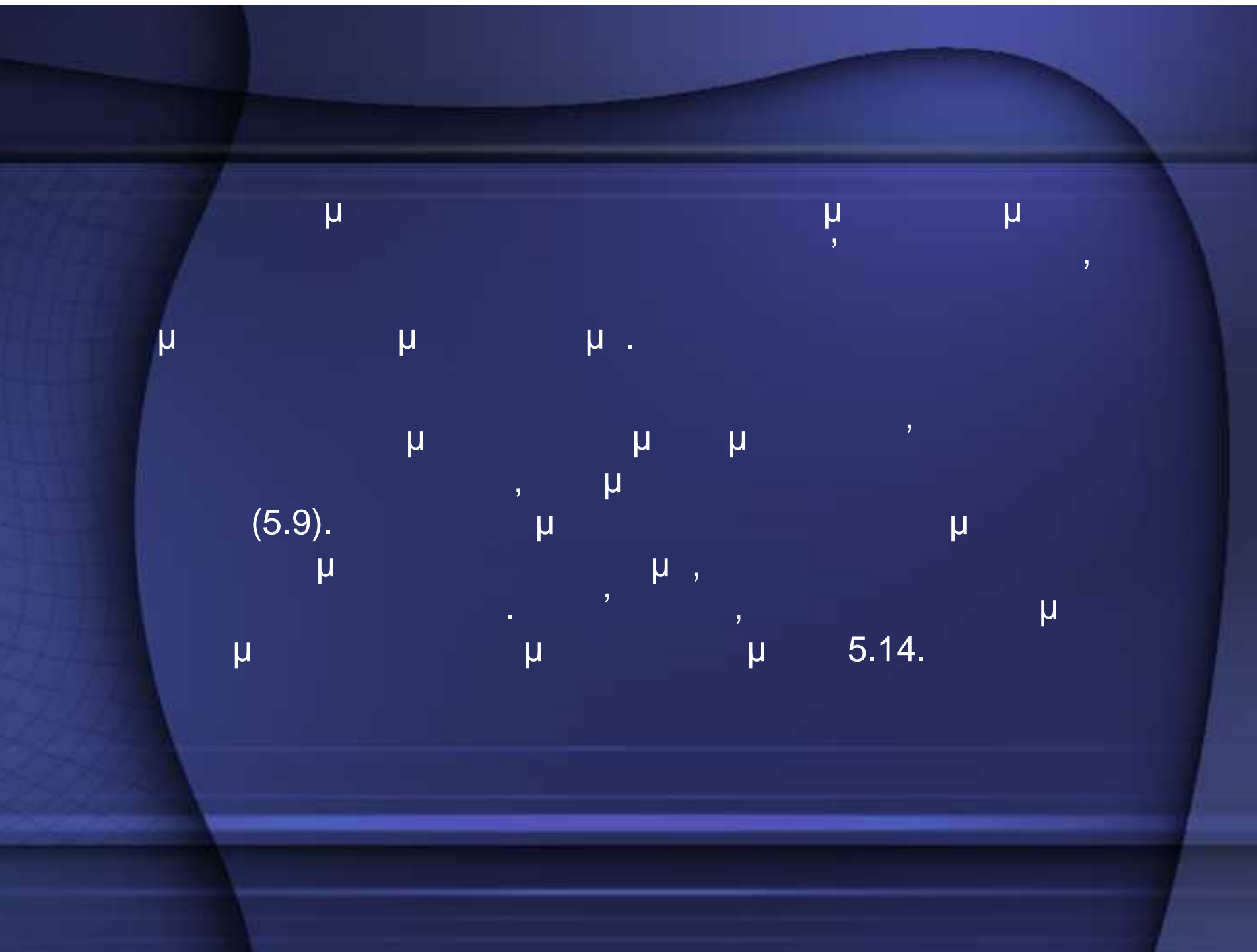
Σχήμα 5.10 Καμπύλη καθόδου υδρογραφήματος, σχεδιασμένη σε
ημιλογαριθμικό χαρτί.







Σχήμα 5.14 Διαχωρισμός σύνθετου υδρογραφήματος σε άμεση και βασική απορροή,



5.3.3

μ

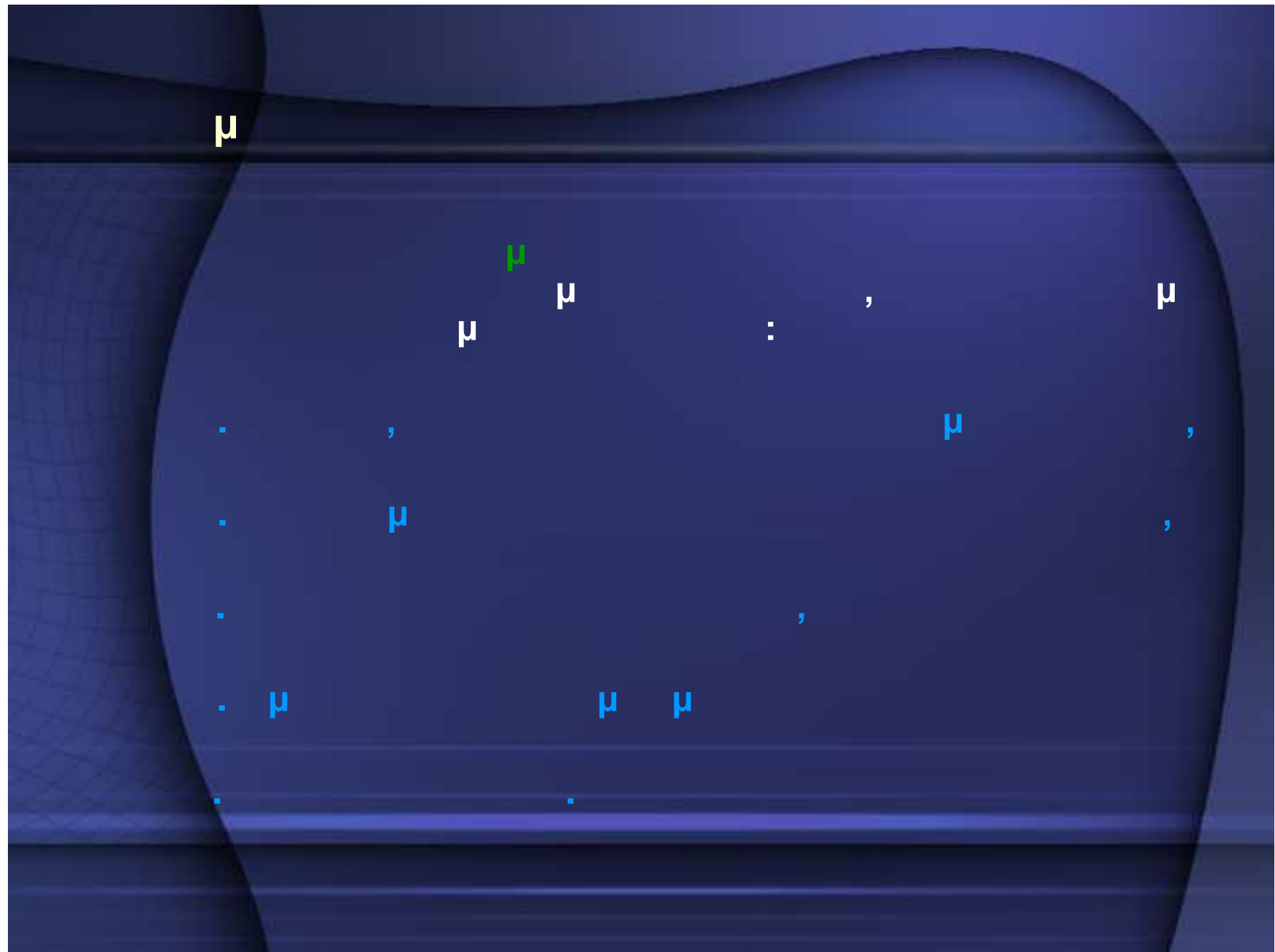
μ , μ , μ , μ ,

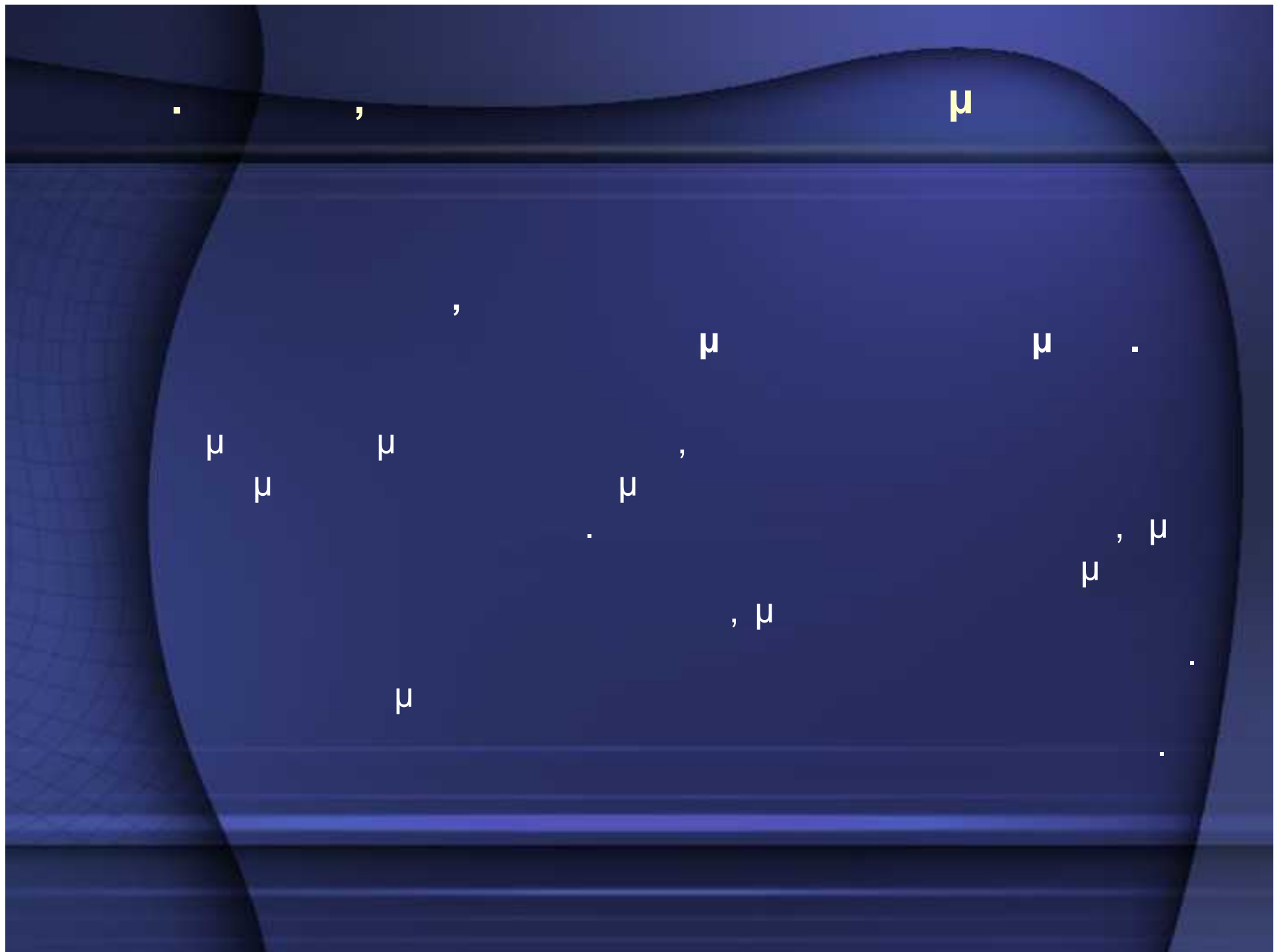
(μ , 1983).

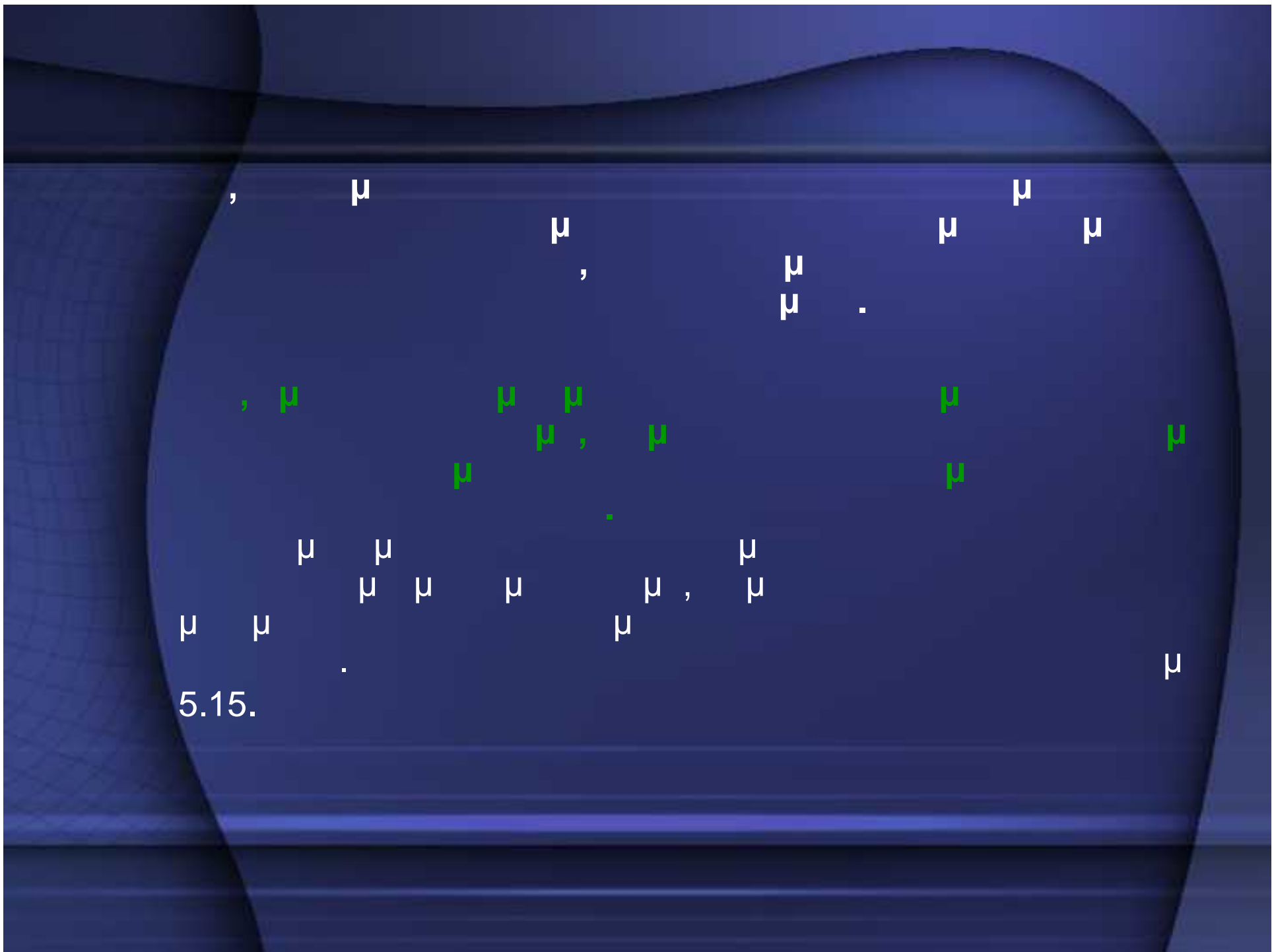
, μ , μ , μ , μ

μ , μ , μ , μ ,

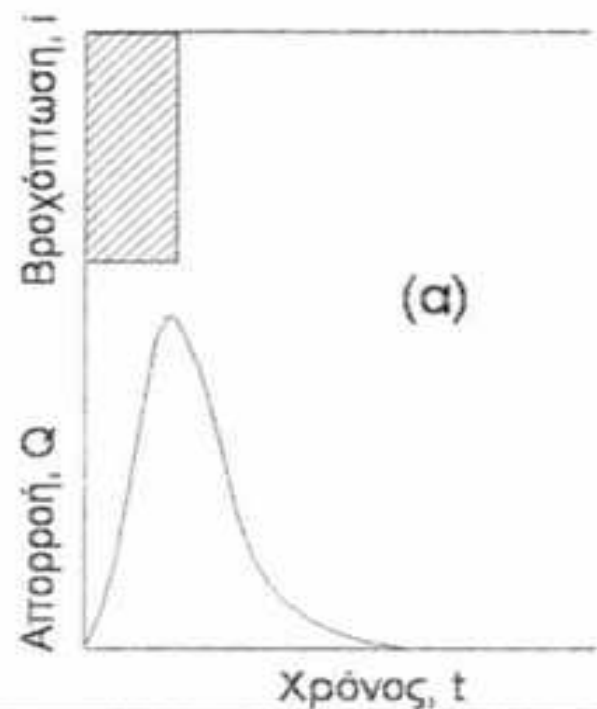
.



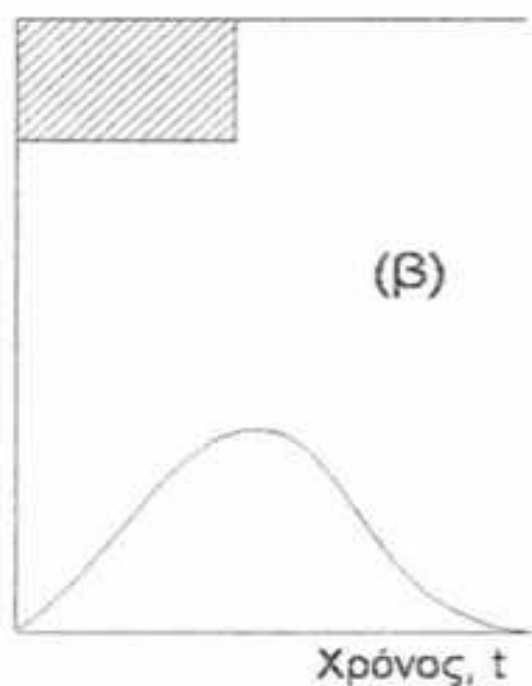




5.15.

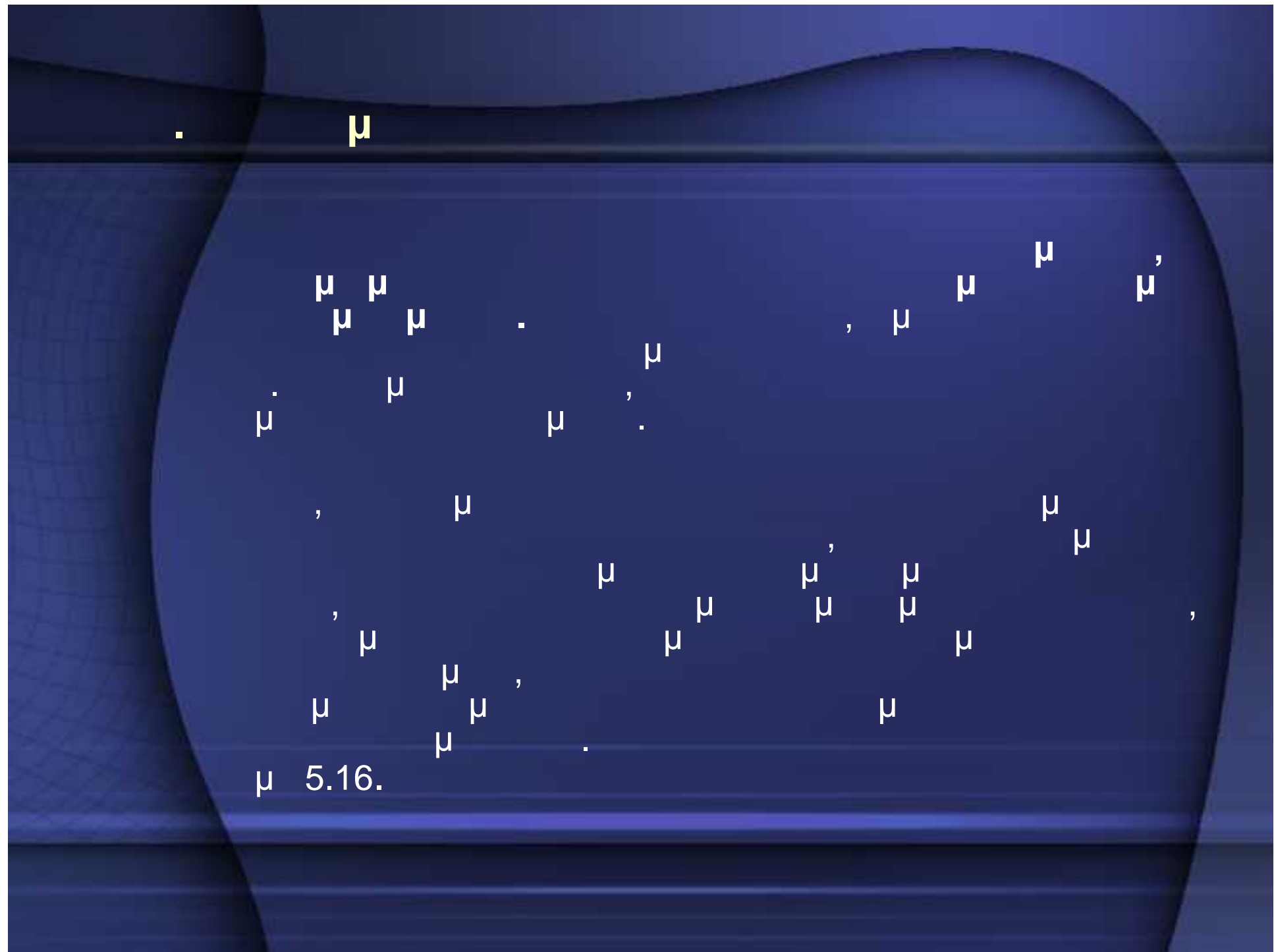


(α)



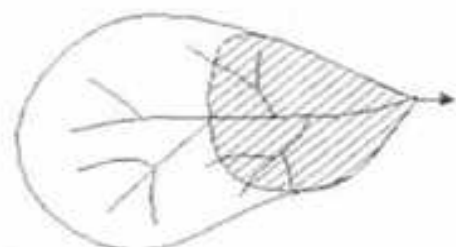
(β)

Σχήμα 5.15 Υδρογραφήματα που προκαλούνται από βροχές ίσου ύψους αλλά διαφορετικής εντάσεως και διάρκειας.

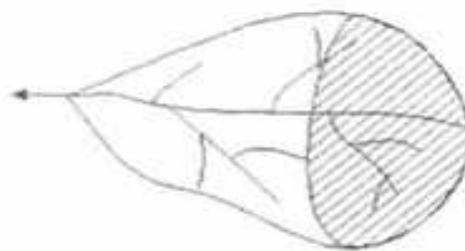


μ 5.16.

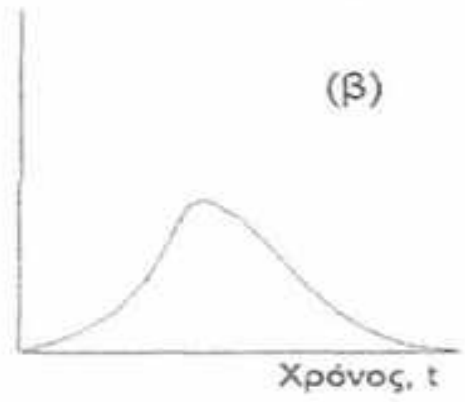
Περιοχή που δέχτηκε το μεγαλύτερο ύψος βροχής



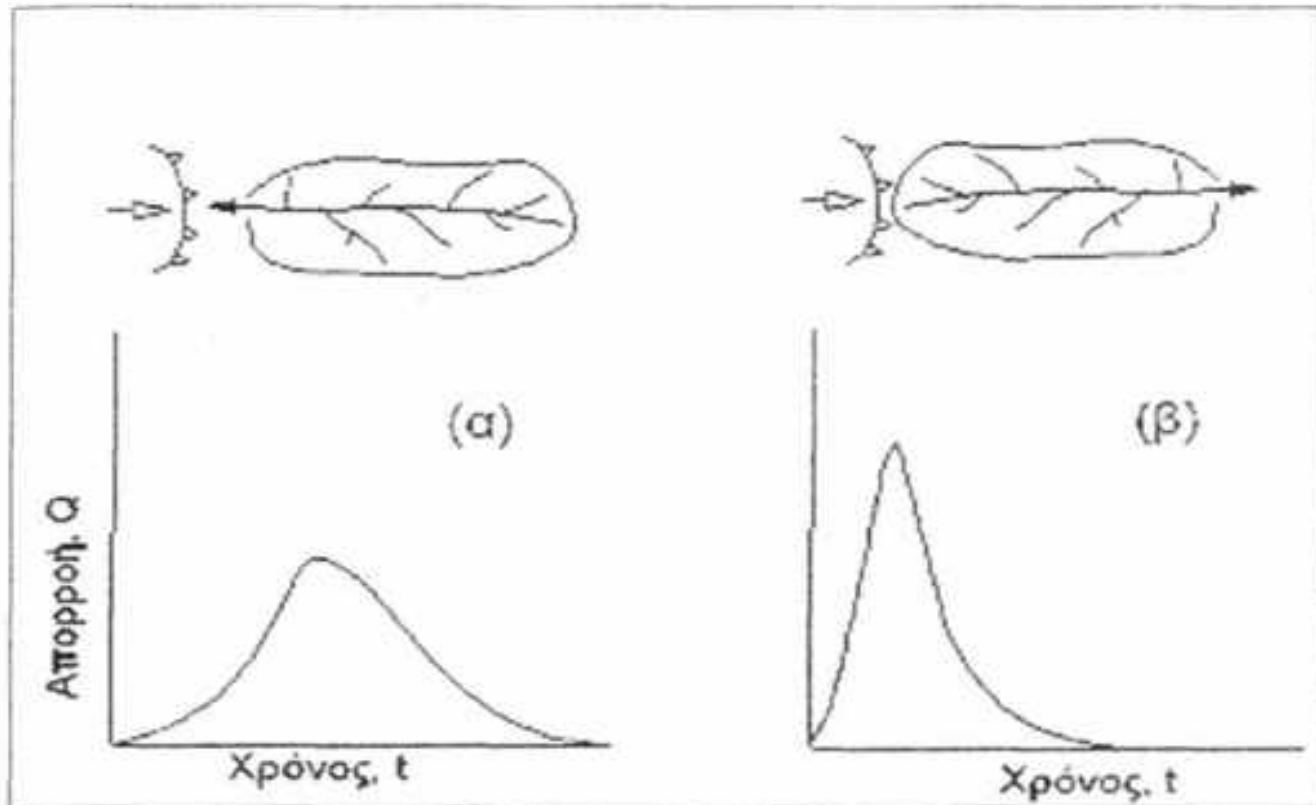
(α)



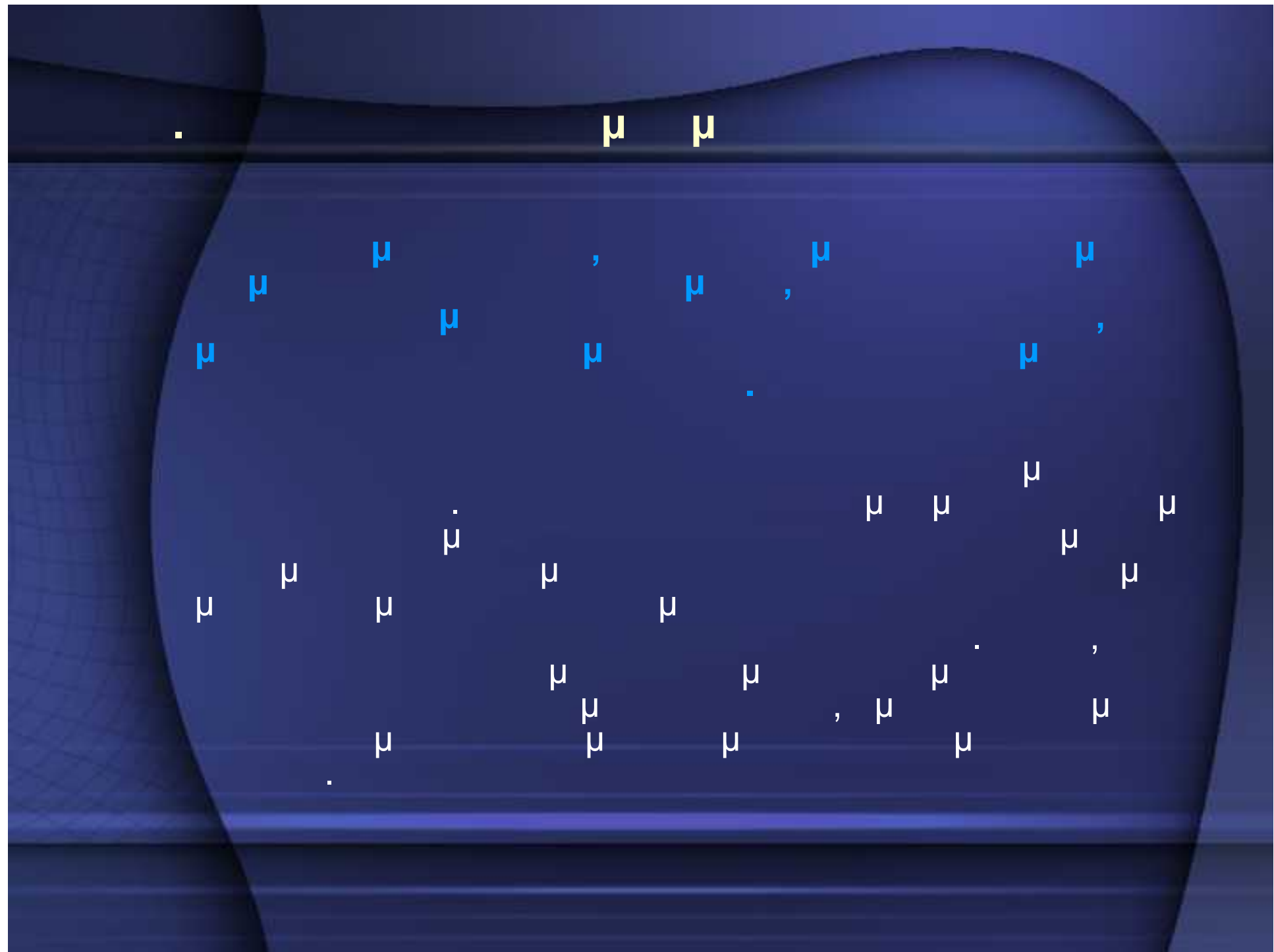
(β)

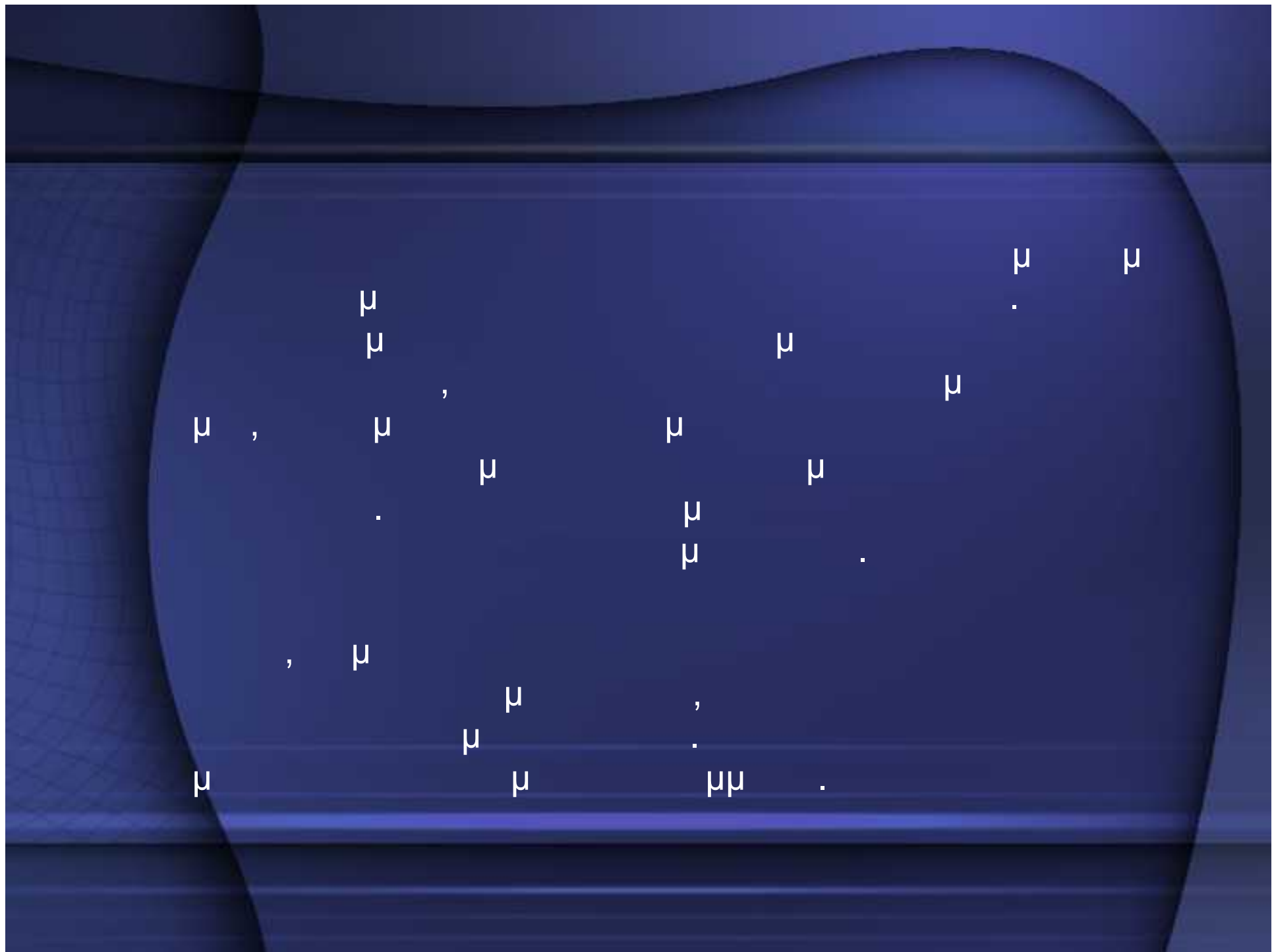


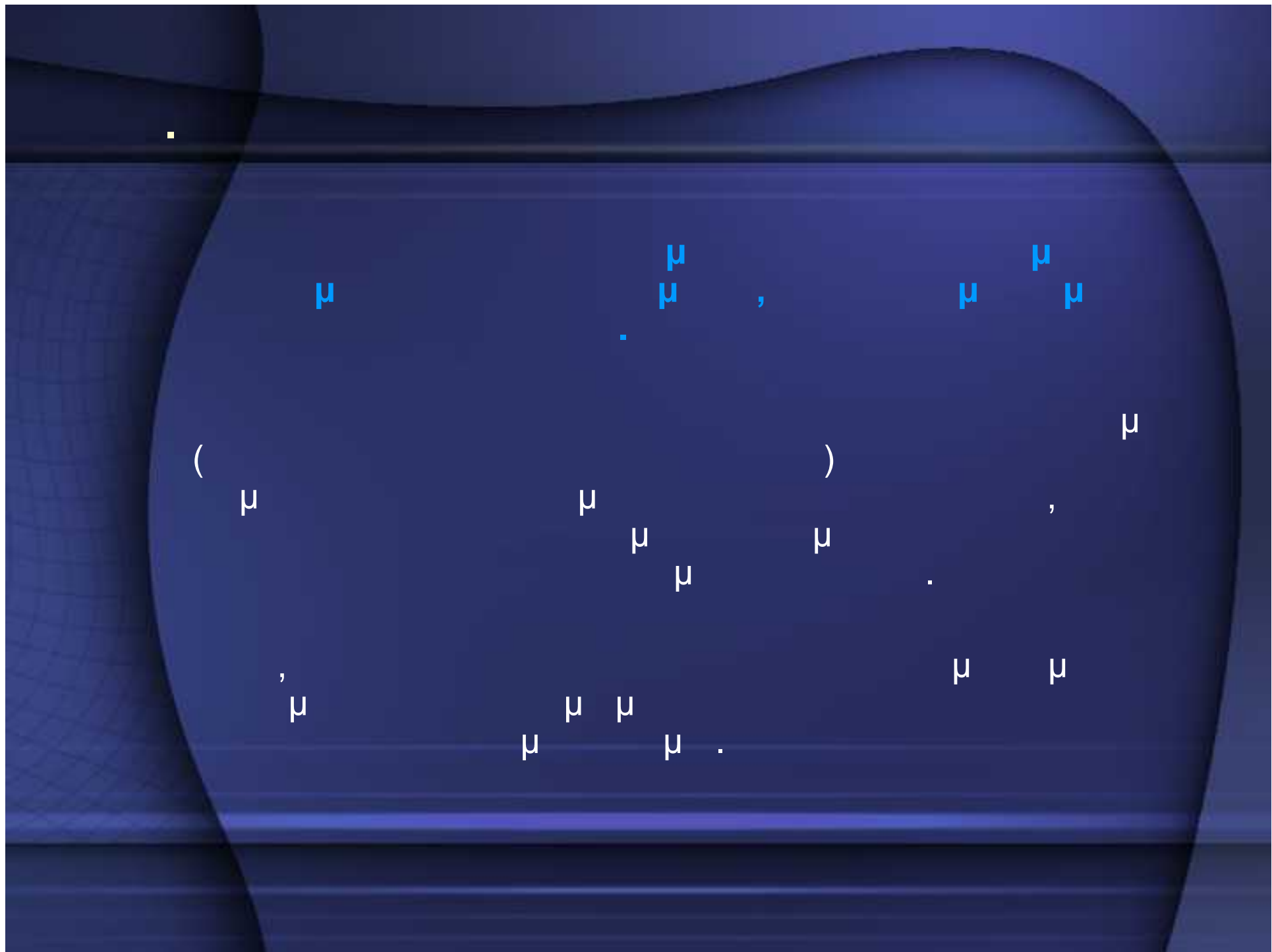
Σχήμα 5.16 Επίδραση της καπανομής της βροχής στο σχήμα του υδρογραφήματος.

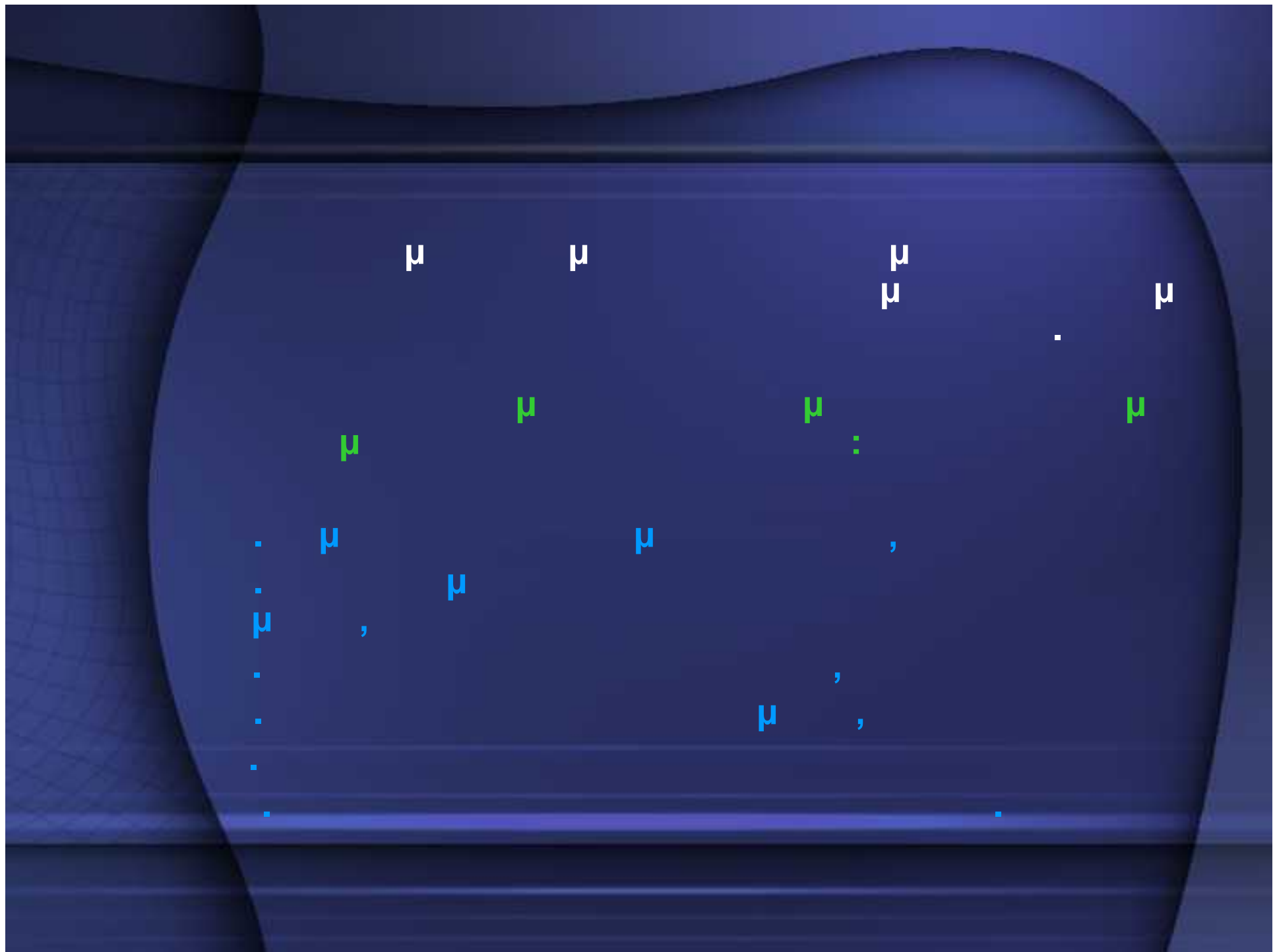


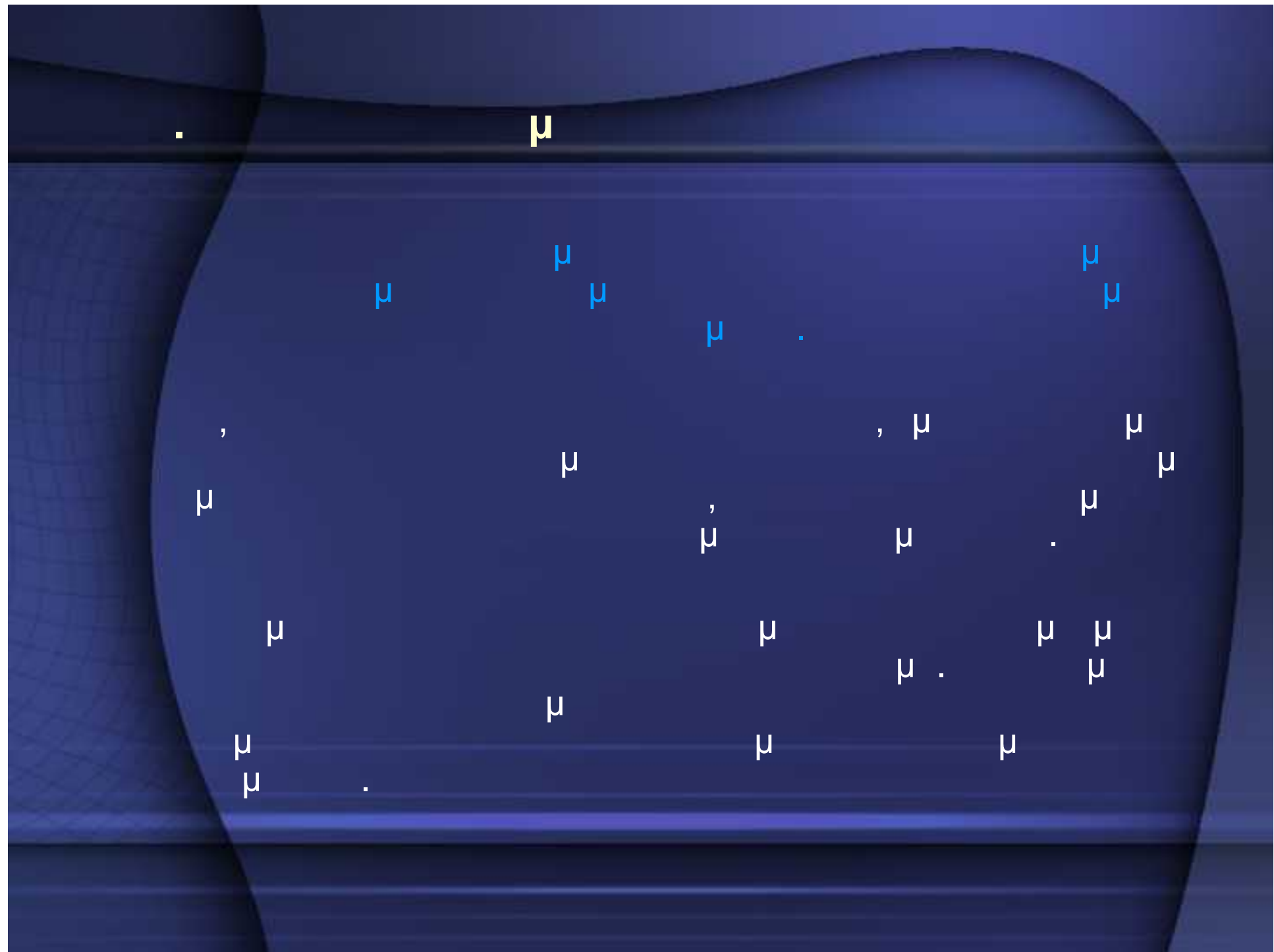
Σχήμα 5.17 Επίδραση της διευθύνσεως της βροχής στο σχήμα του υδρογραφήματος.

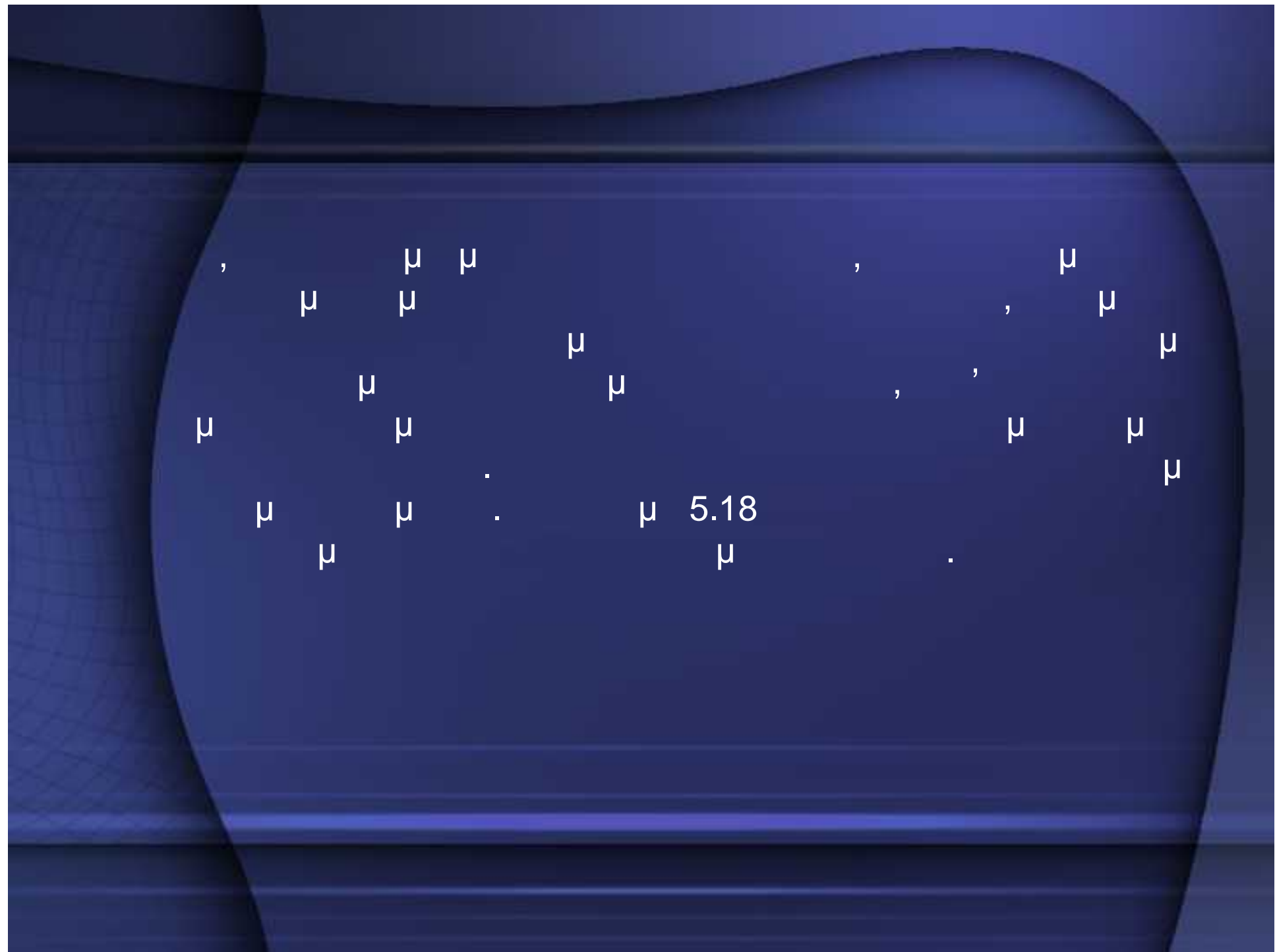


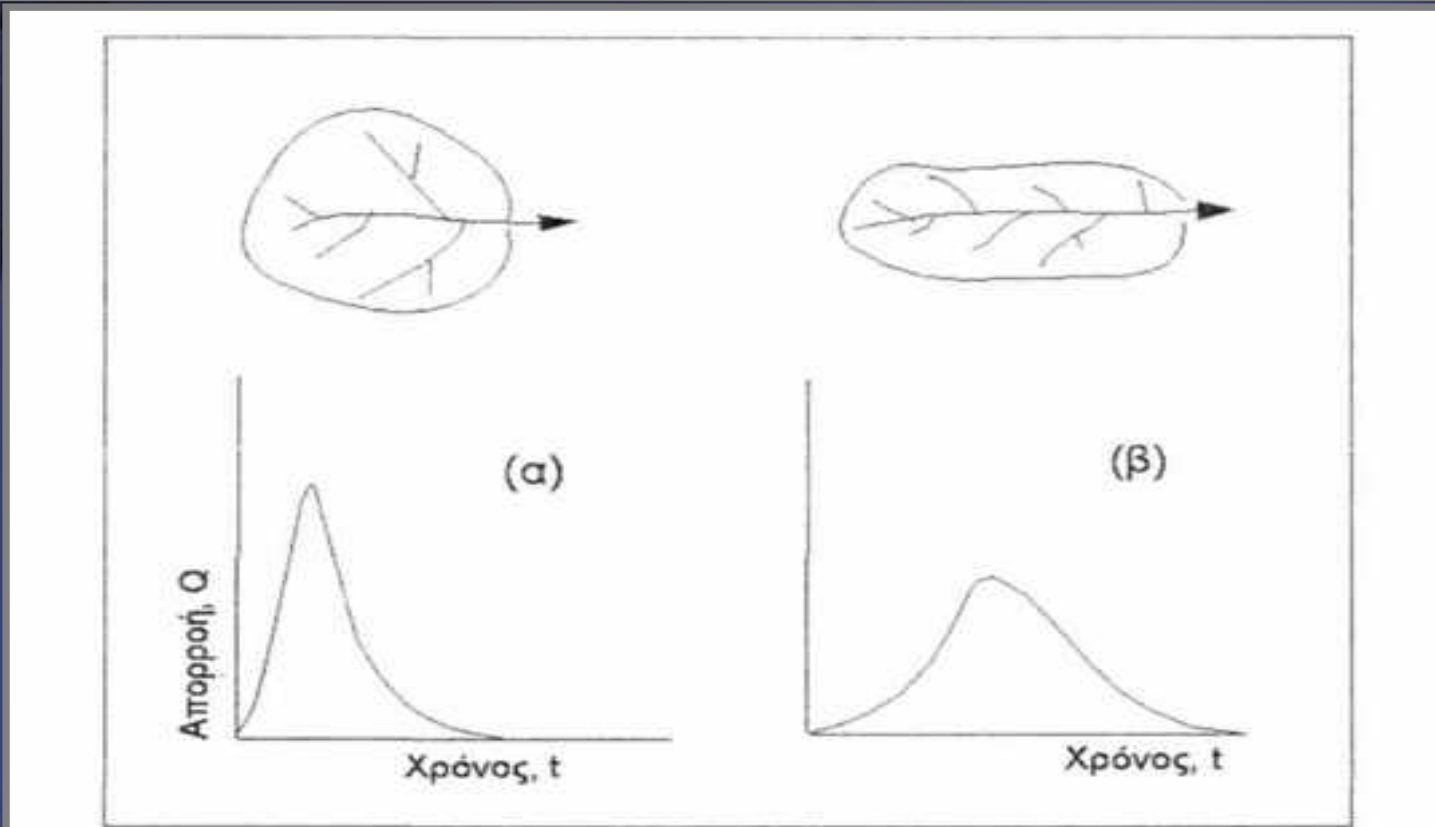




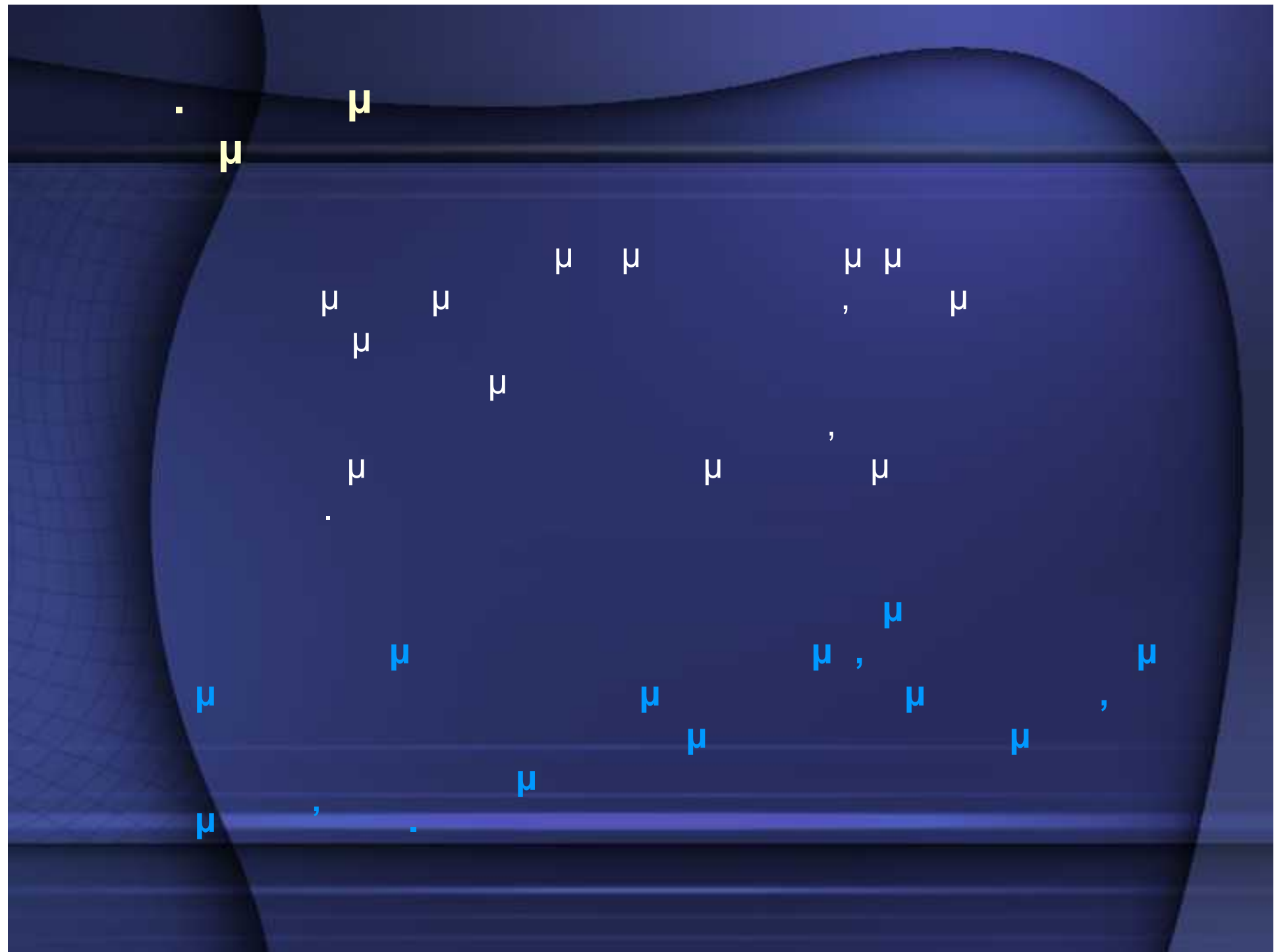








Σχήμα 5.18 Υδρογραφήματα που δίνουν δύο λεκάνες με την ίδια έκταση αλλά διαφορετικό σχήμα



μ , μ
Butler (1957).
1983):

μ , μ
μ (μ , μ

$$q = aD^b S^c$$

• q

μ ,

• D

• a, b, c

Reynolds,

()

μ

μ

μ

.

μ

μ

• ,

μ

μ ,

μ

μ

μ

μ

.

μ

μ μ

μ

μ

$$\mu \quad \mu$$

μ

1

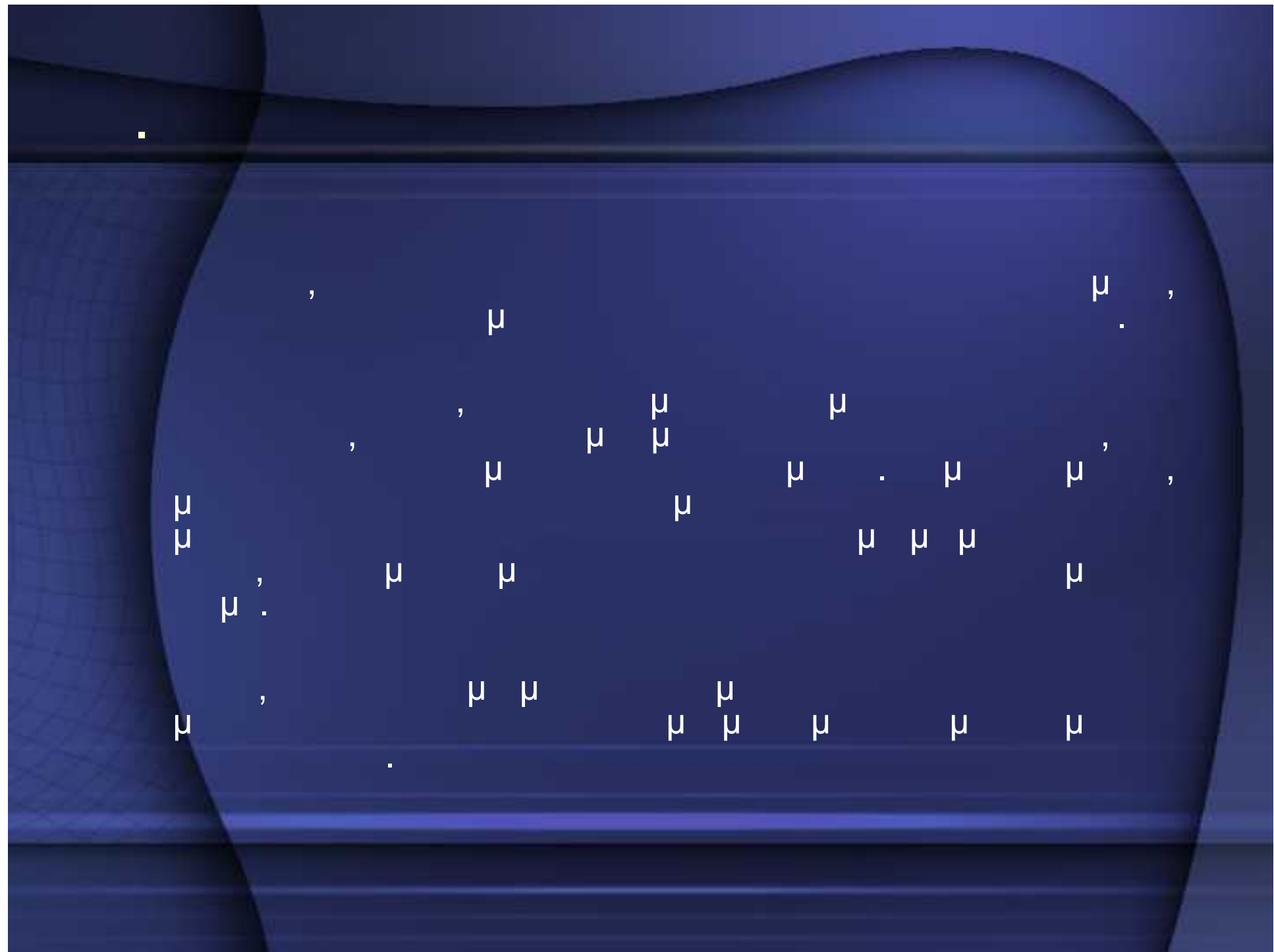
$$V = CR^m S^n$$

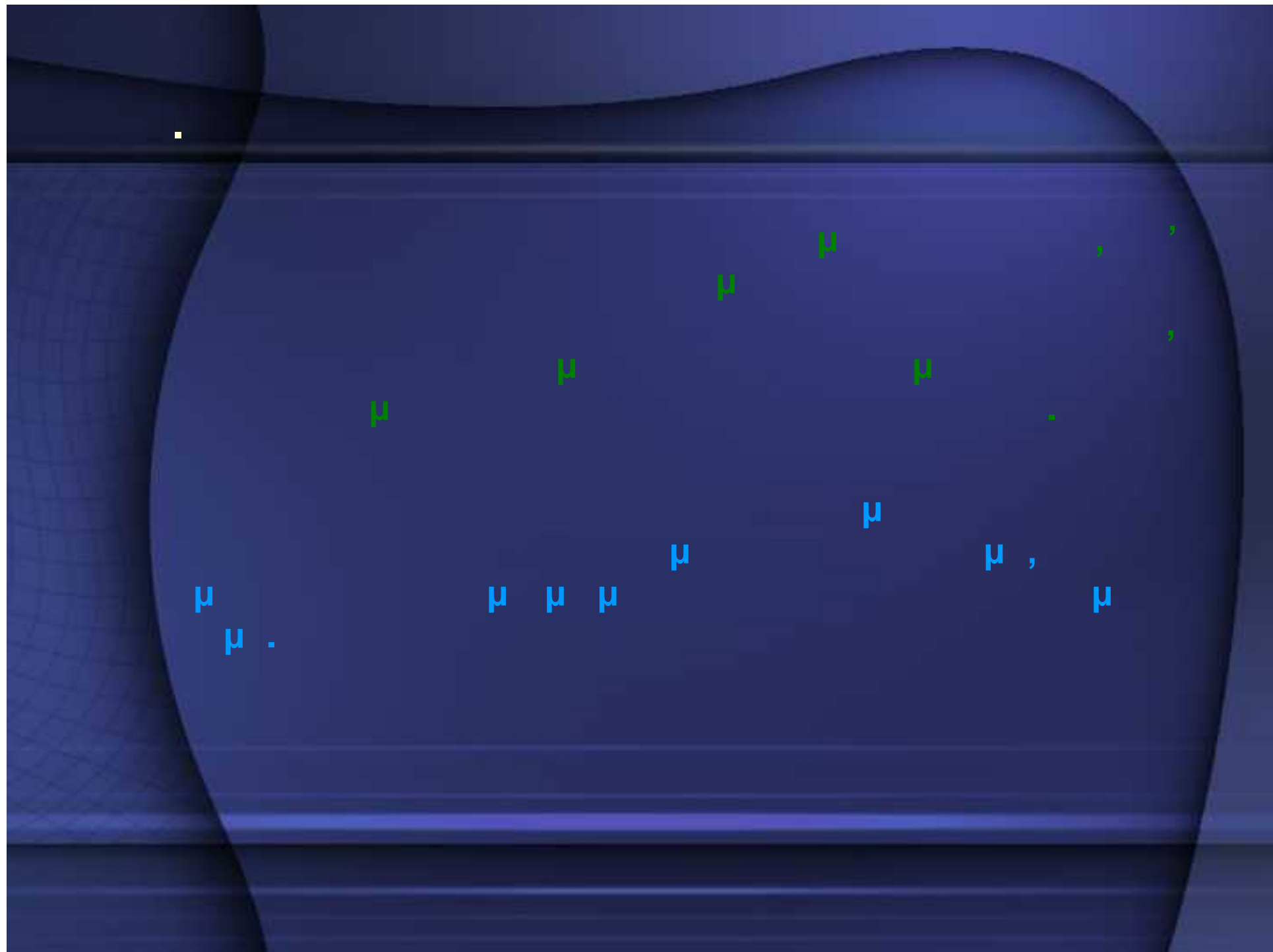
2

$t = \mu L :$

$$t = L \div V$$

μ , μ , μ ,
 μ , μ , μ ,
 μ , μ , μ , μ ,
 $,$, $.$, $.$





μ

μ

(

μ

μ

μ

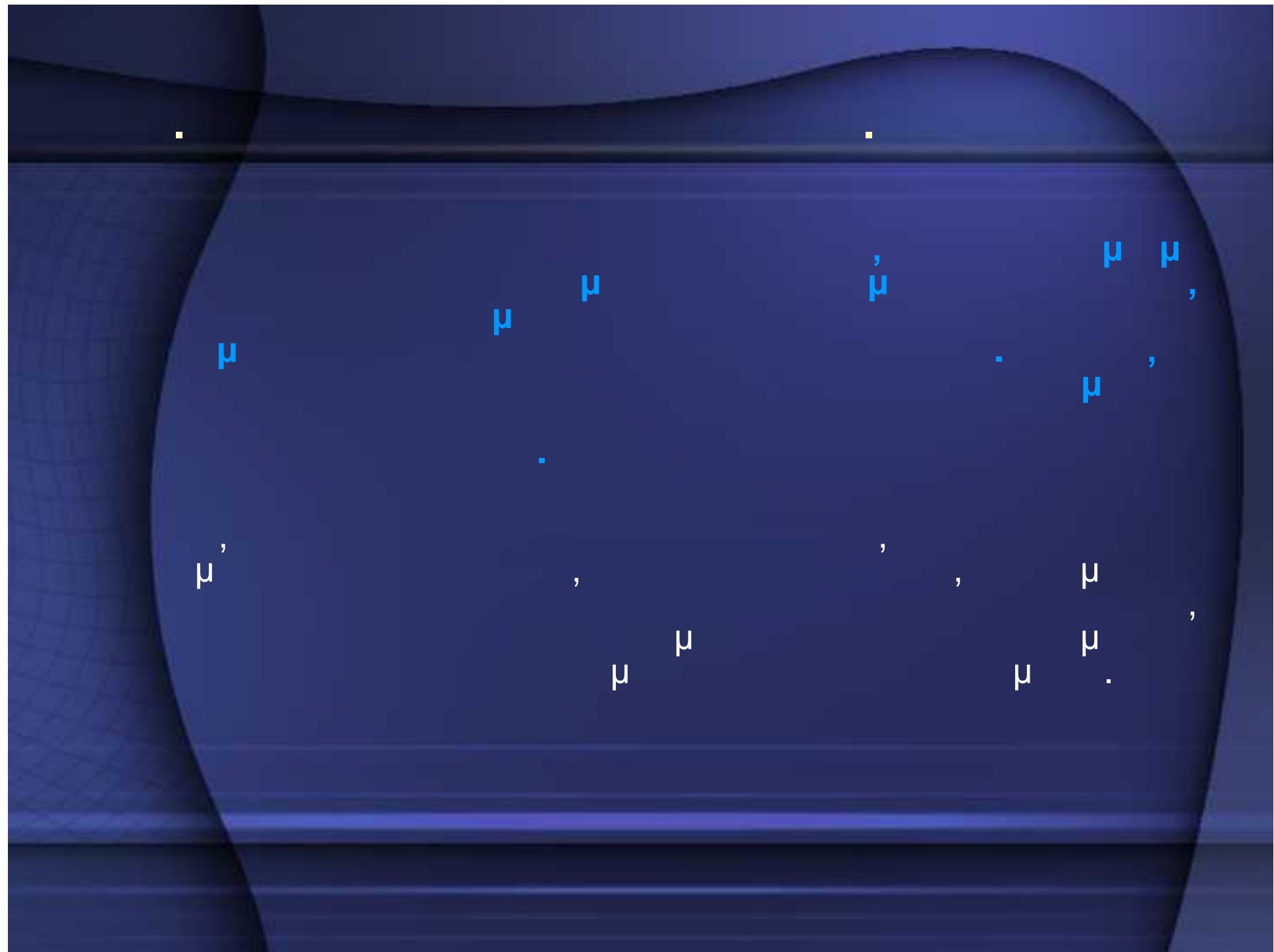
μ

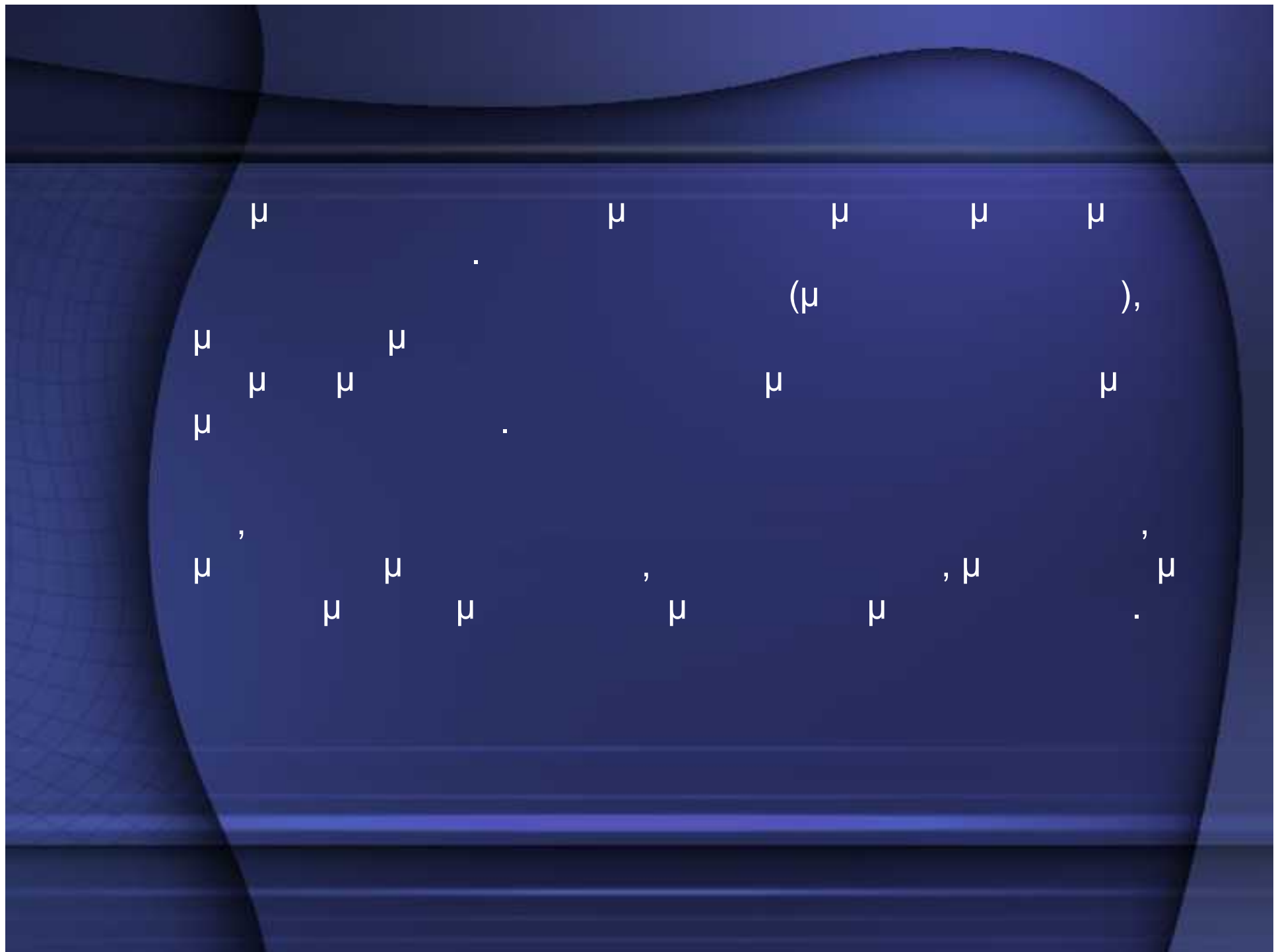
,

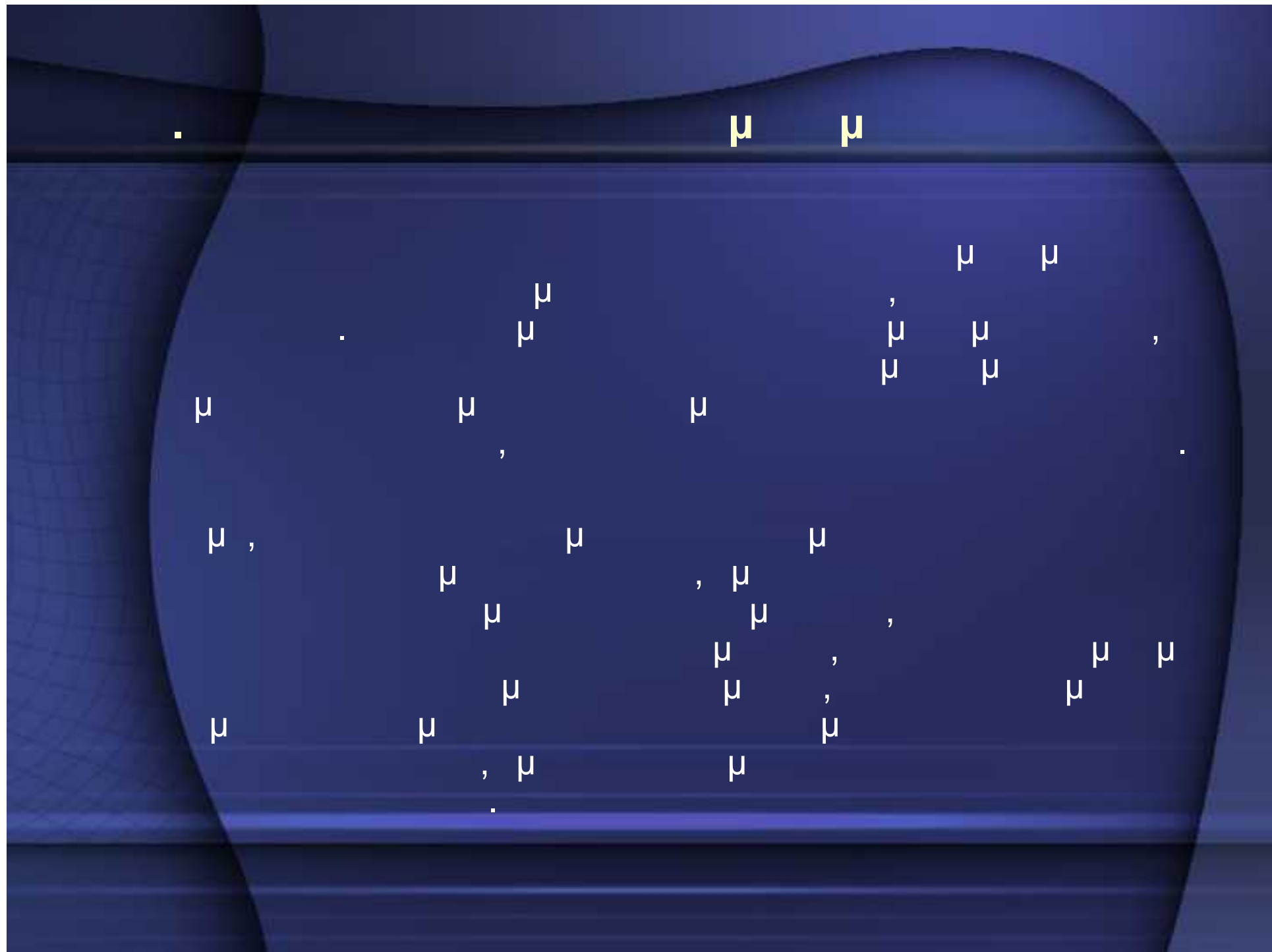
).

:

μ μ .







$\mu \mu \mu$
 $\mu \mu \mu$,
 $\mu \mu \mu$

5.4

$$\begin{aligned} & \mu \quad \mu , \quad \mu \quad , \quad \mu \quad \mu . \\ & \mu \quad \mu , \quad \mu \quad , \quad \mu \quad , \\ & \mu \quad \mu , \quad \mu \quad , \quad \mu \quad , \\ & , \mu) \quad \quad (\dots , \quad , \quad \mu \quad \mu . \end{aligned}$$

5.4.1

μ

μ

$\mu \mu$

μ

$\mu \mu$

μ

μ

μ

,

μ

$\mu \mu$

$\mu \mu$

μ

$\mu \mu$

,

$\mu \mu$

μ

μ

$\mu ,$

μ

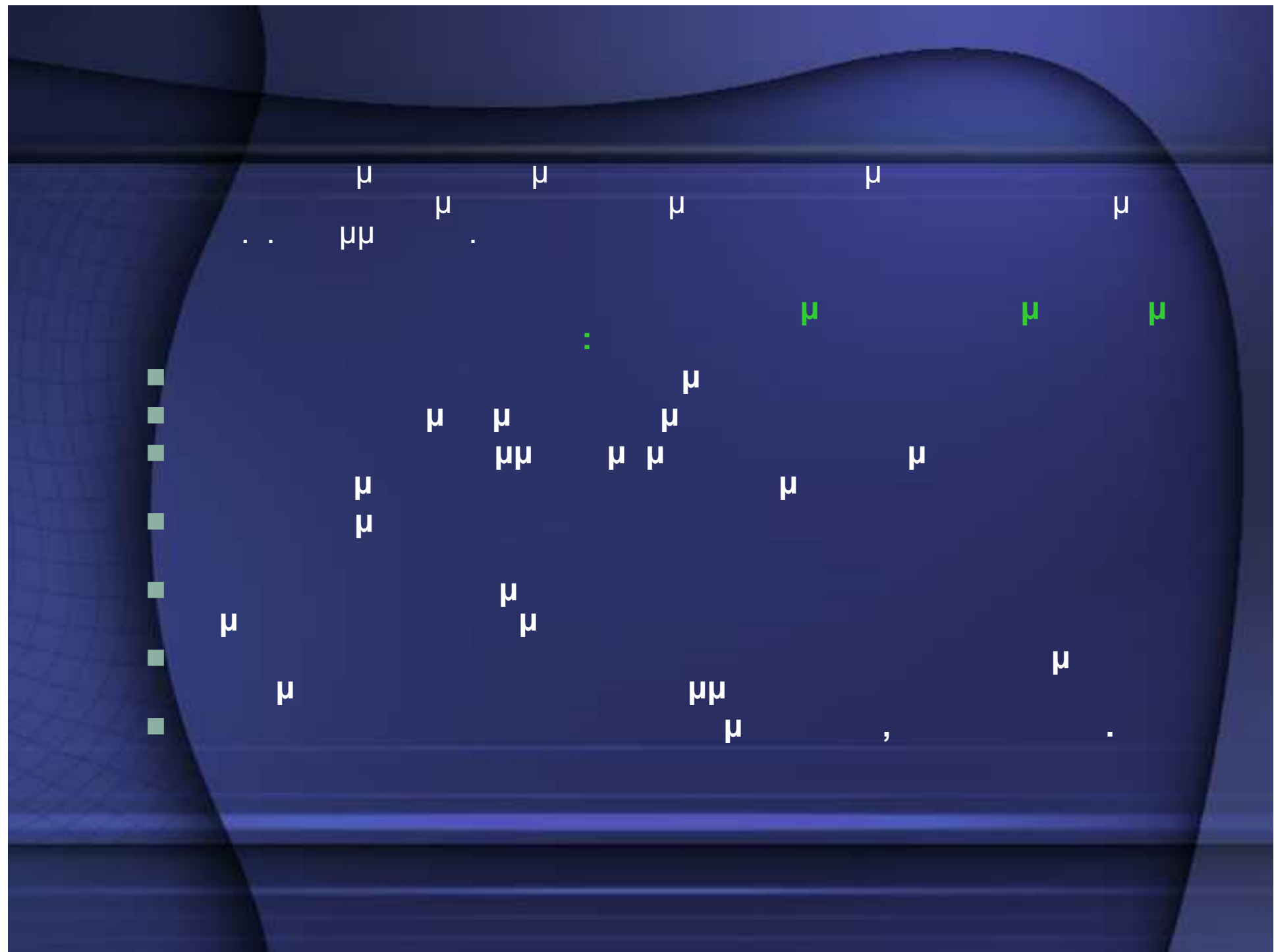
μ

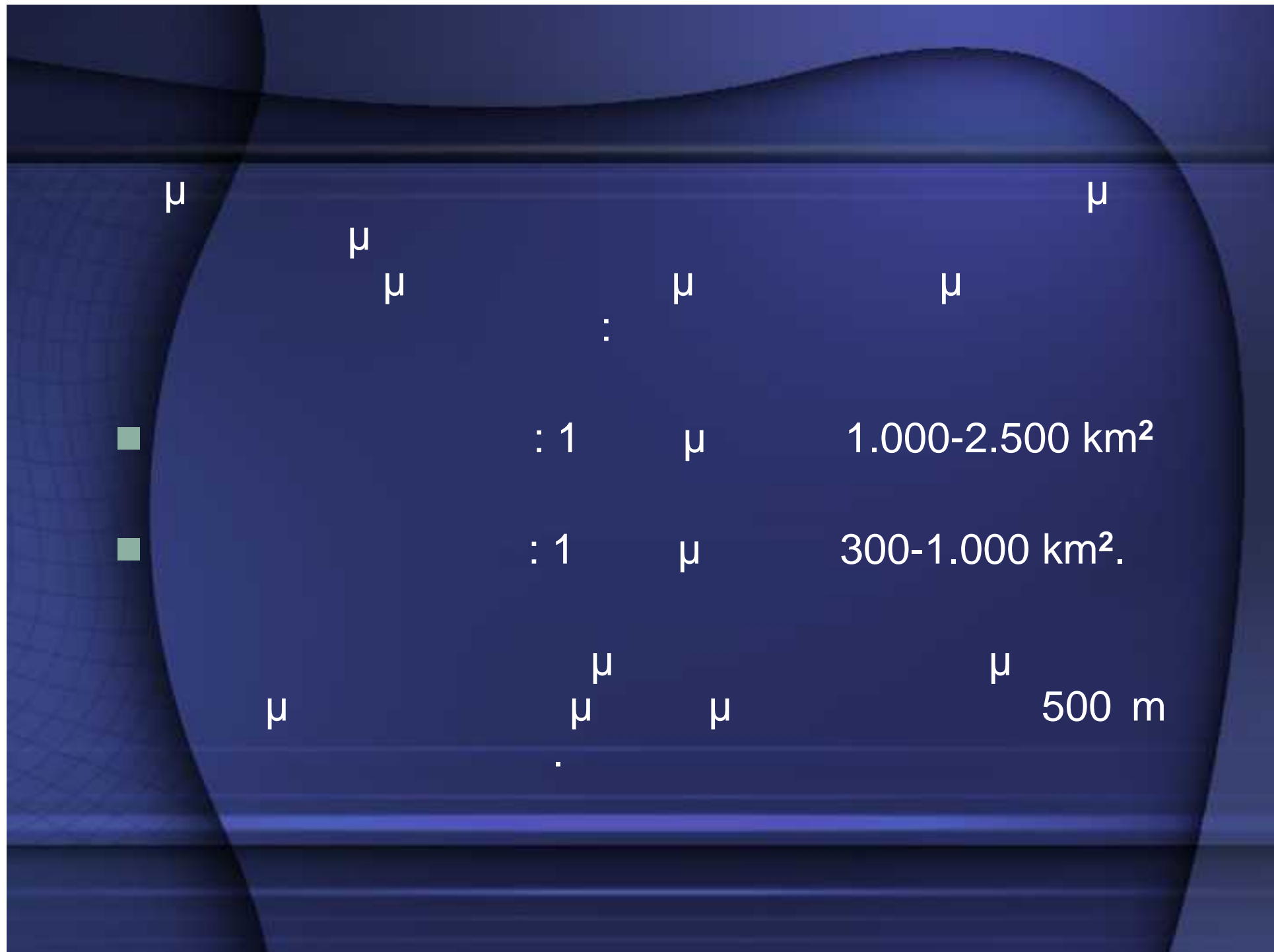
μ

μ

$\mu ,$

$,$





5.4.2

μ

μ
 μ

μ ,
 μ

$\mu \mu$,
 $\mu \mu$

$\mu \mu \mu$
 μ

$\mu \mu$,
 $\mu \mu$

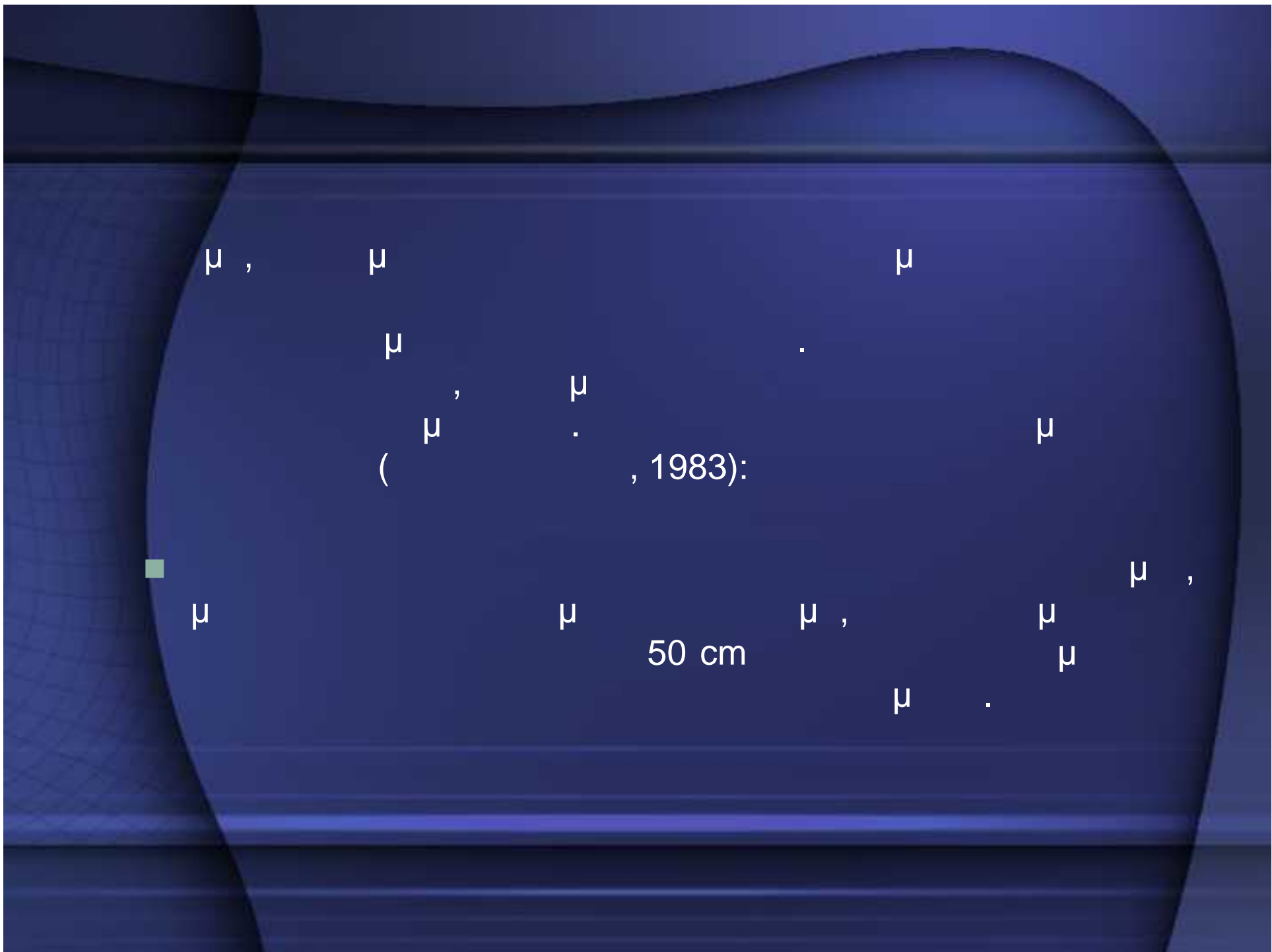
,
 $\mu \mu$
 μ

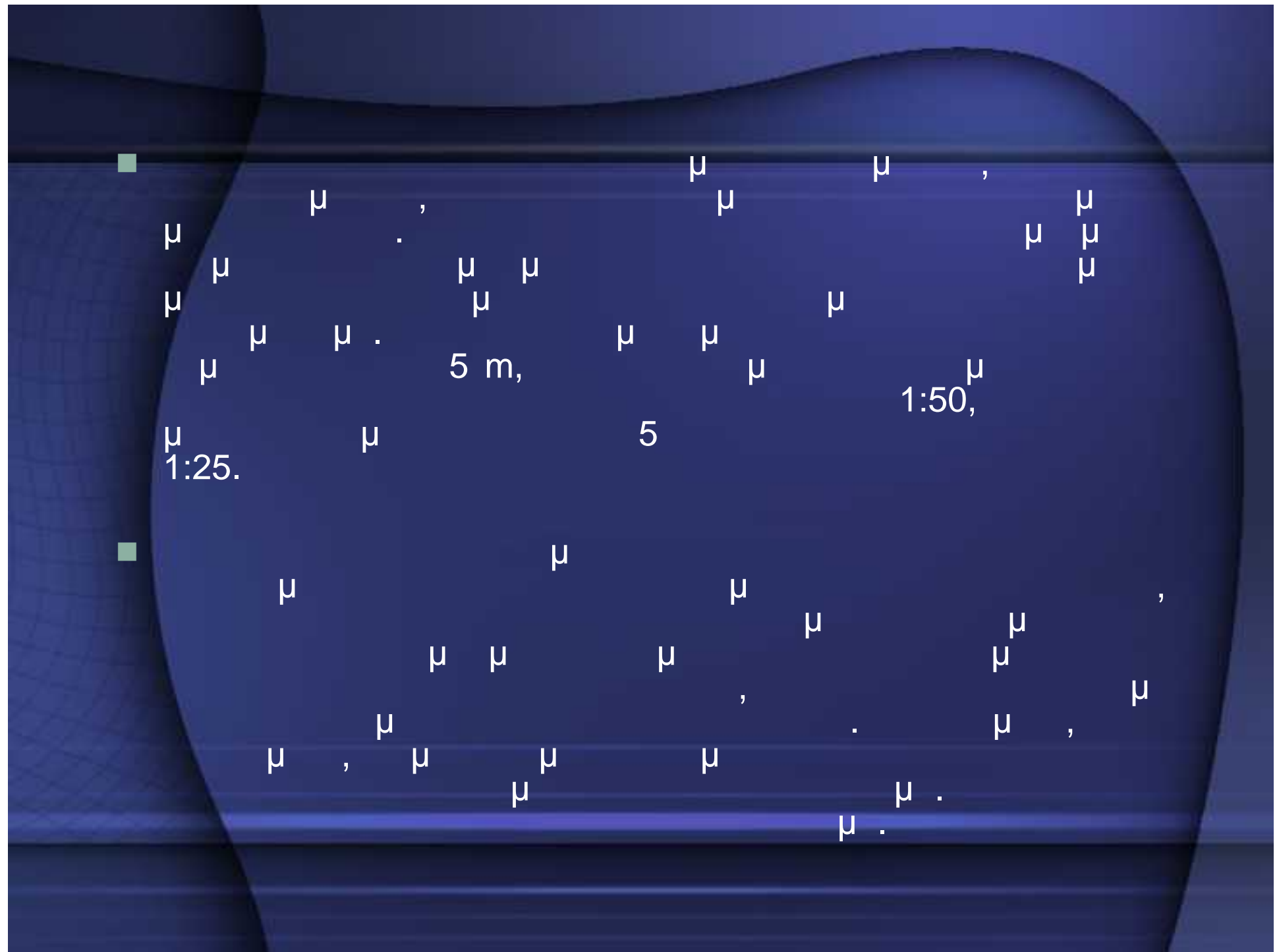
μ
 $\mu (\mu \mu$,
 $\mu \mu)$
 μ

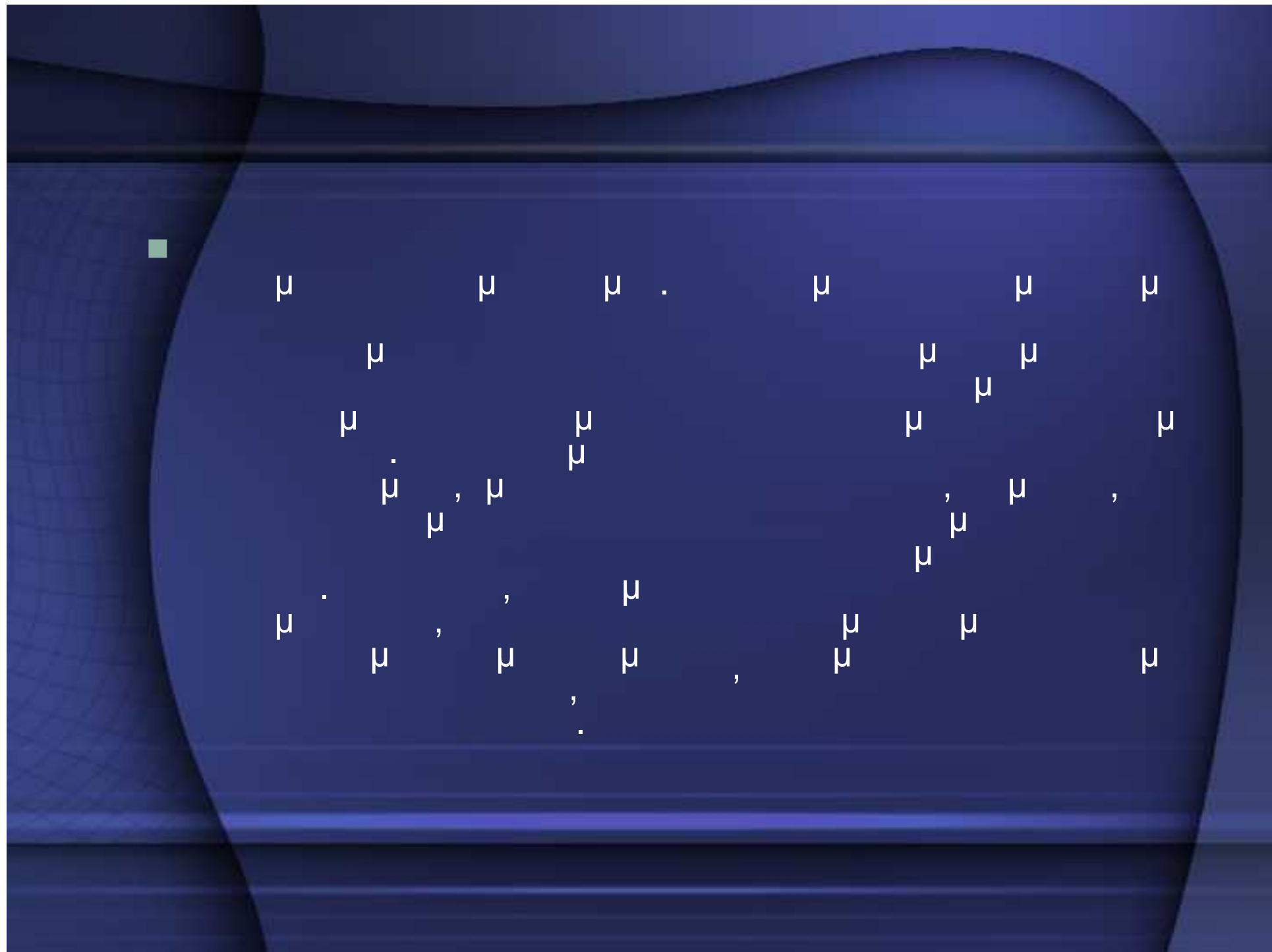
8:00

,
 μ
 $\mu \mu$
 $\mu \mu$
 μ
 μ

$\mu \mu$
 μ

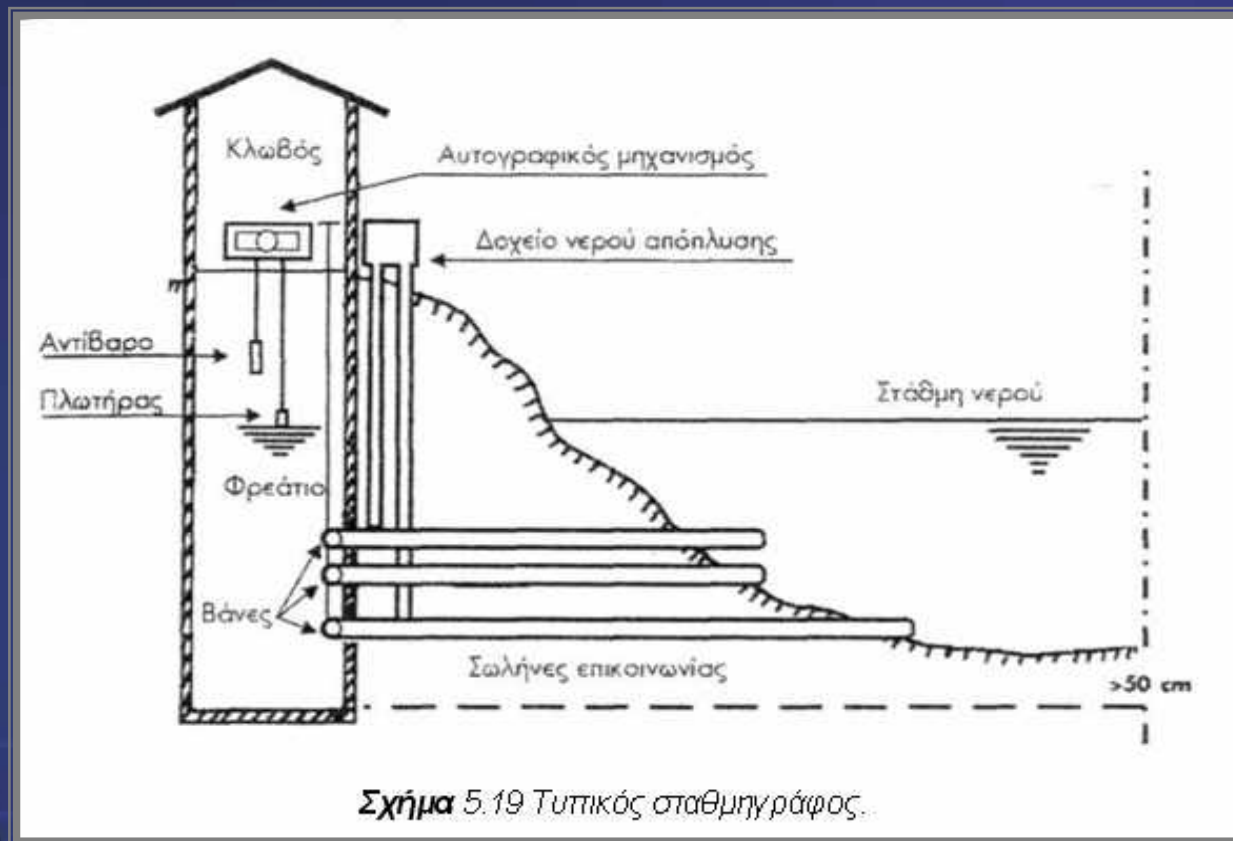






μ

μ 5.19.



5.4.3

μ

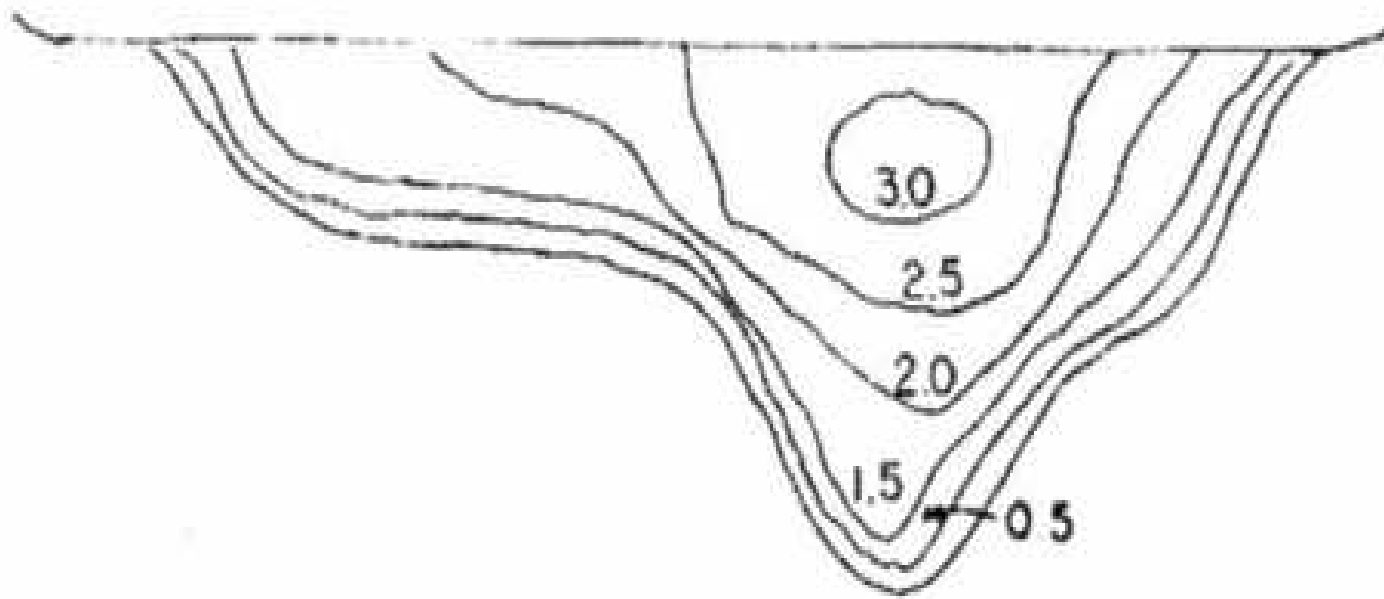
$$\mu \quad \mu \quad \mu \quad \mu \quad \mu , \quad \mu , \quad \mu , \quad \mu \quad \mu , \quad \mu , \quad \mu$$

$$\mu \quad \mu \quad \mu \quad , \quad \mu \quad \mu \quad \mu \quad , \quad \mu \quad \mu \quad \mu \quad .$$

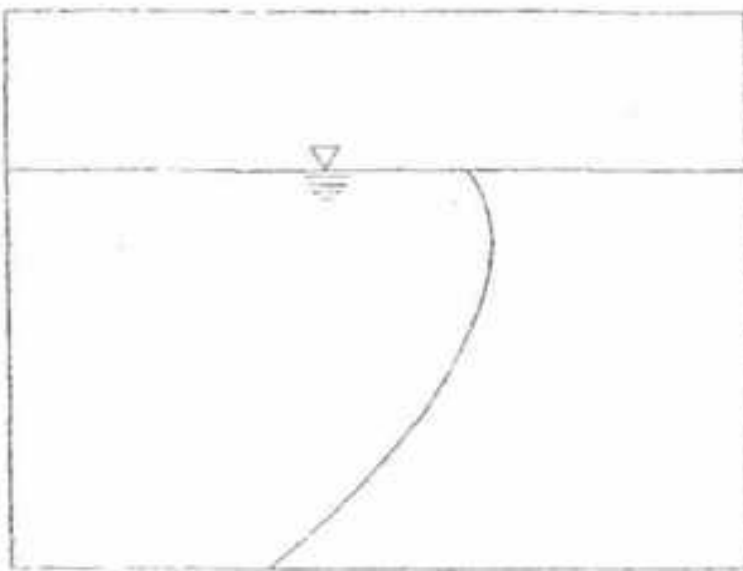
$\mu \quad 5.20.$

μ μ

μ 5.21.



Σχήμα 5.20 Κατανομή ταχύτητας σε ένα ποτόμι.



Ταχύτητα

Σχήμα 5.21 Κατακόρυφο προφίλ της ταχύτητας στο μέγιστο βάθος της εγκάρσιας διατομής.

μ μ μ

μ μ

$$\mu \quad \quad \quad \mu \quad .$$

μ μ ,

$$1 \quad 2\mu \quad ,$$

μ

μ
5

μ 5.22.

μ ,

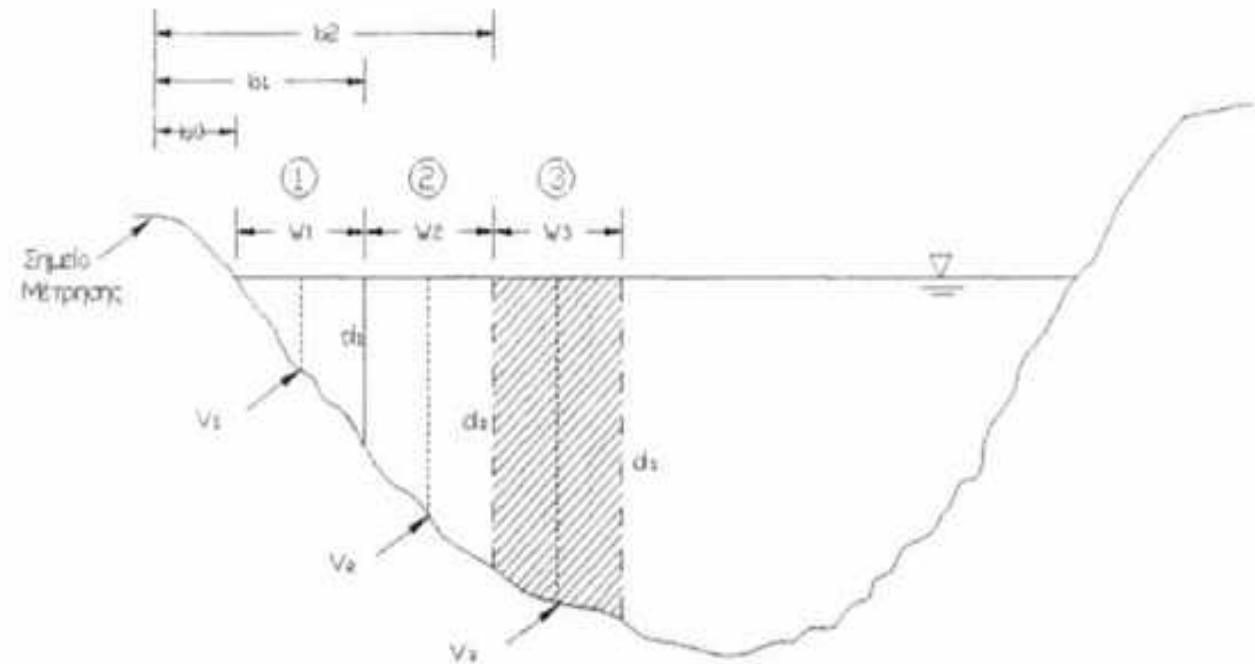
μ

μ μ

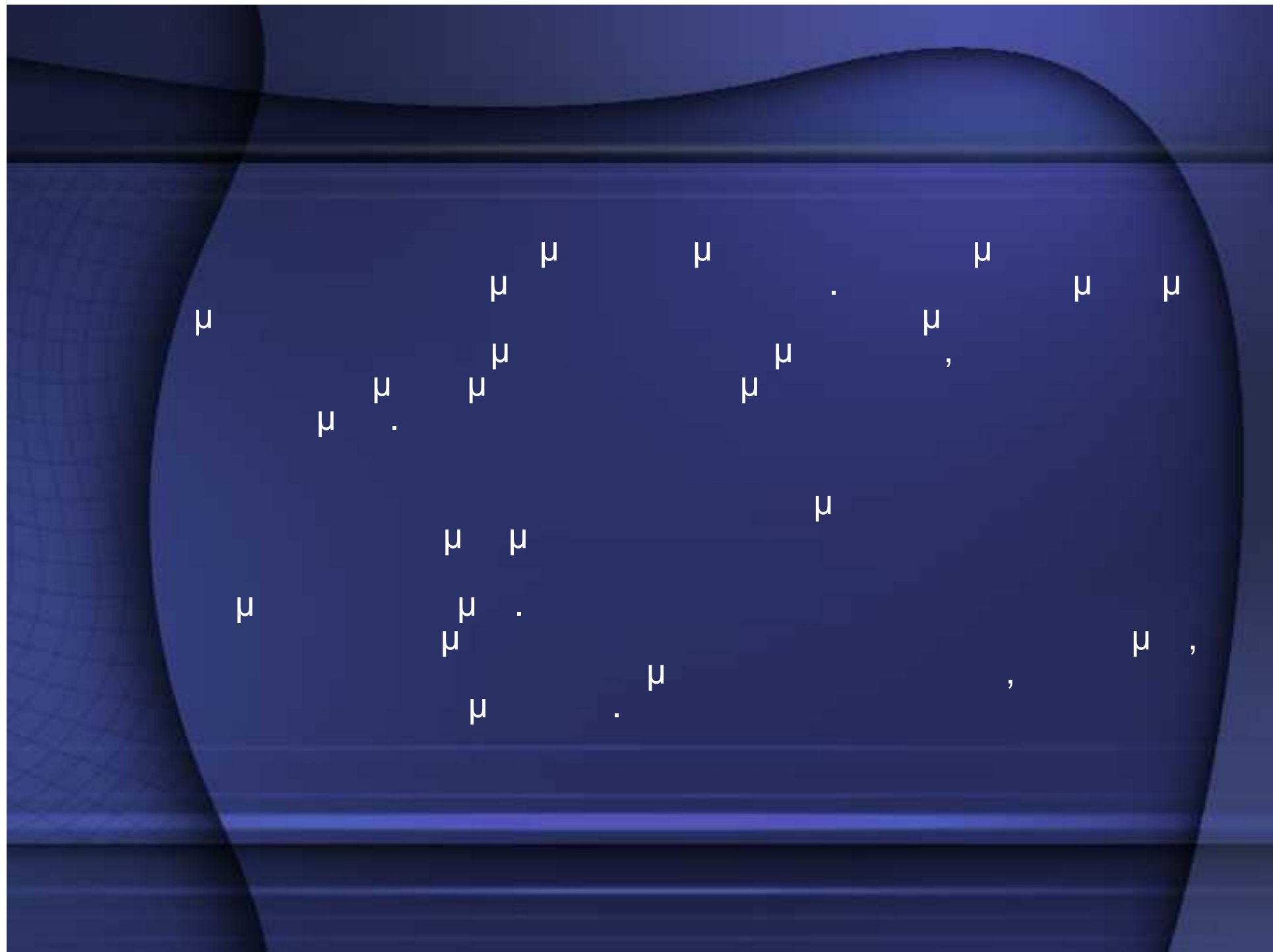
μ

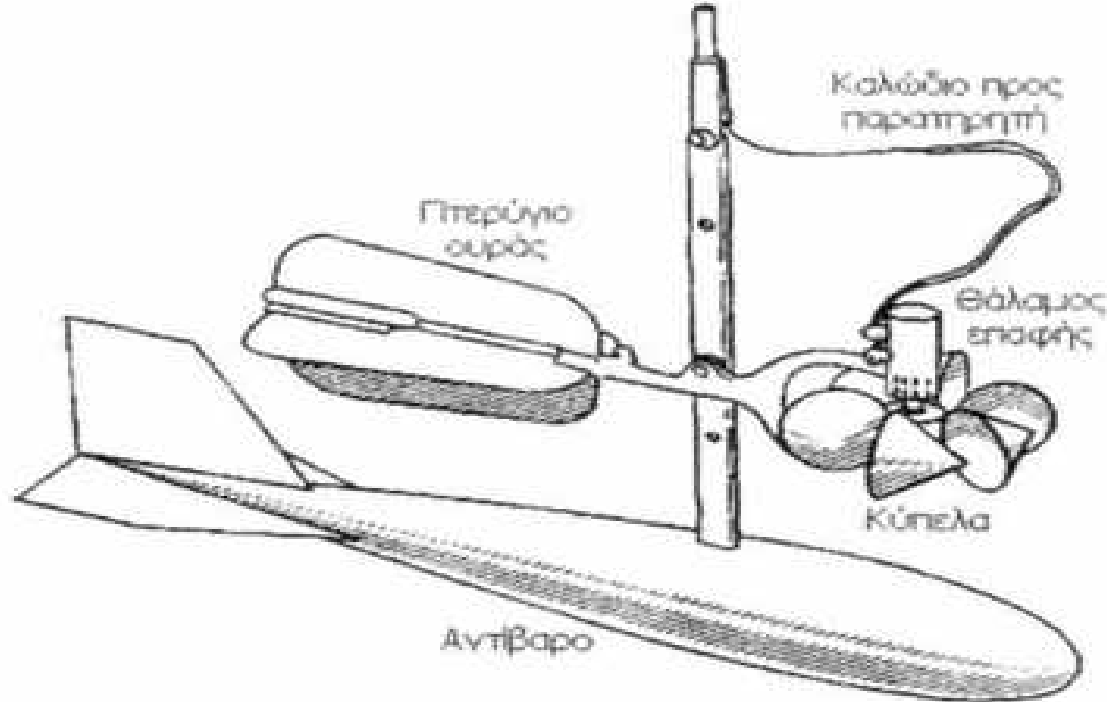
,

10%

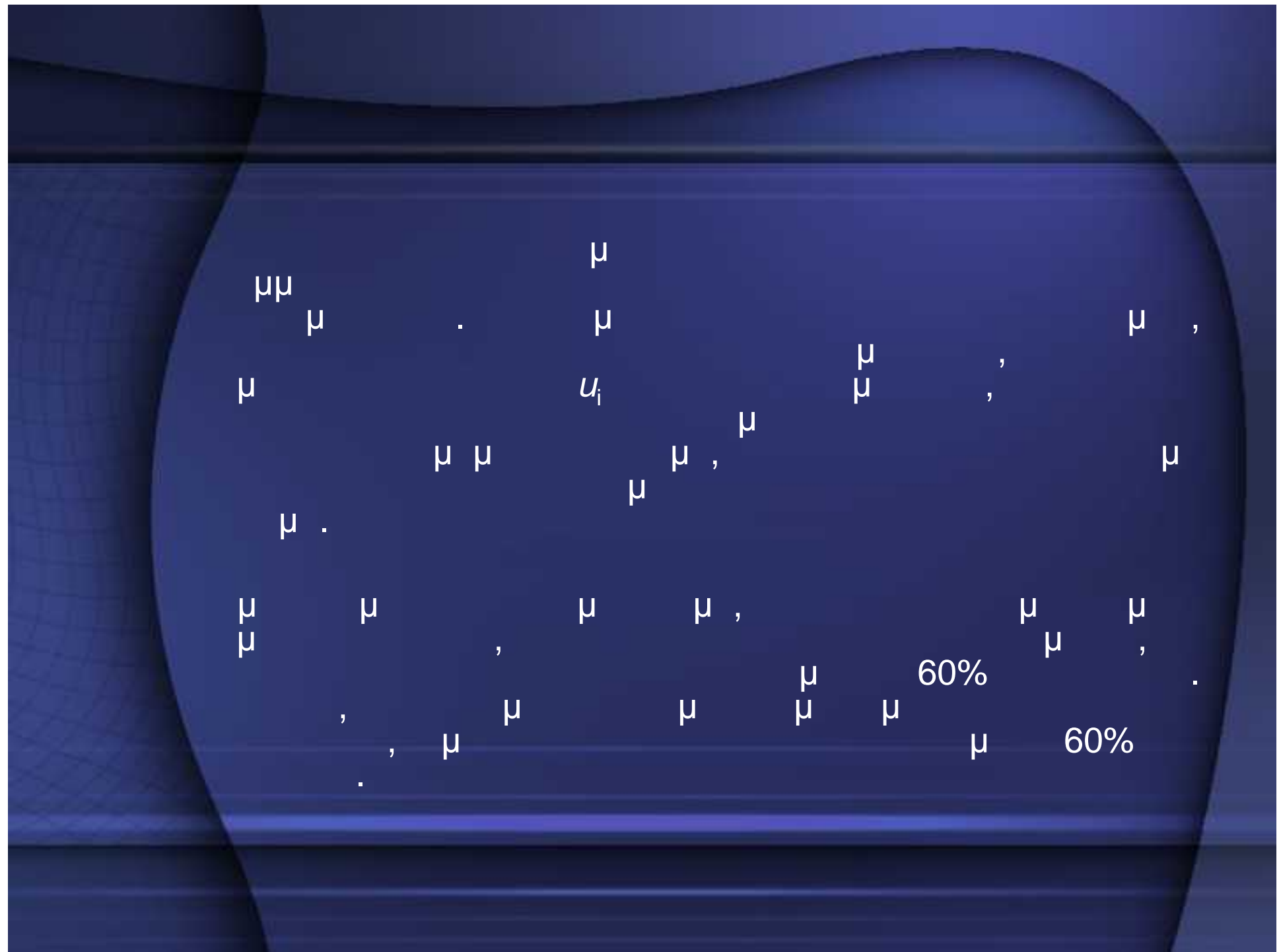


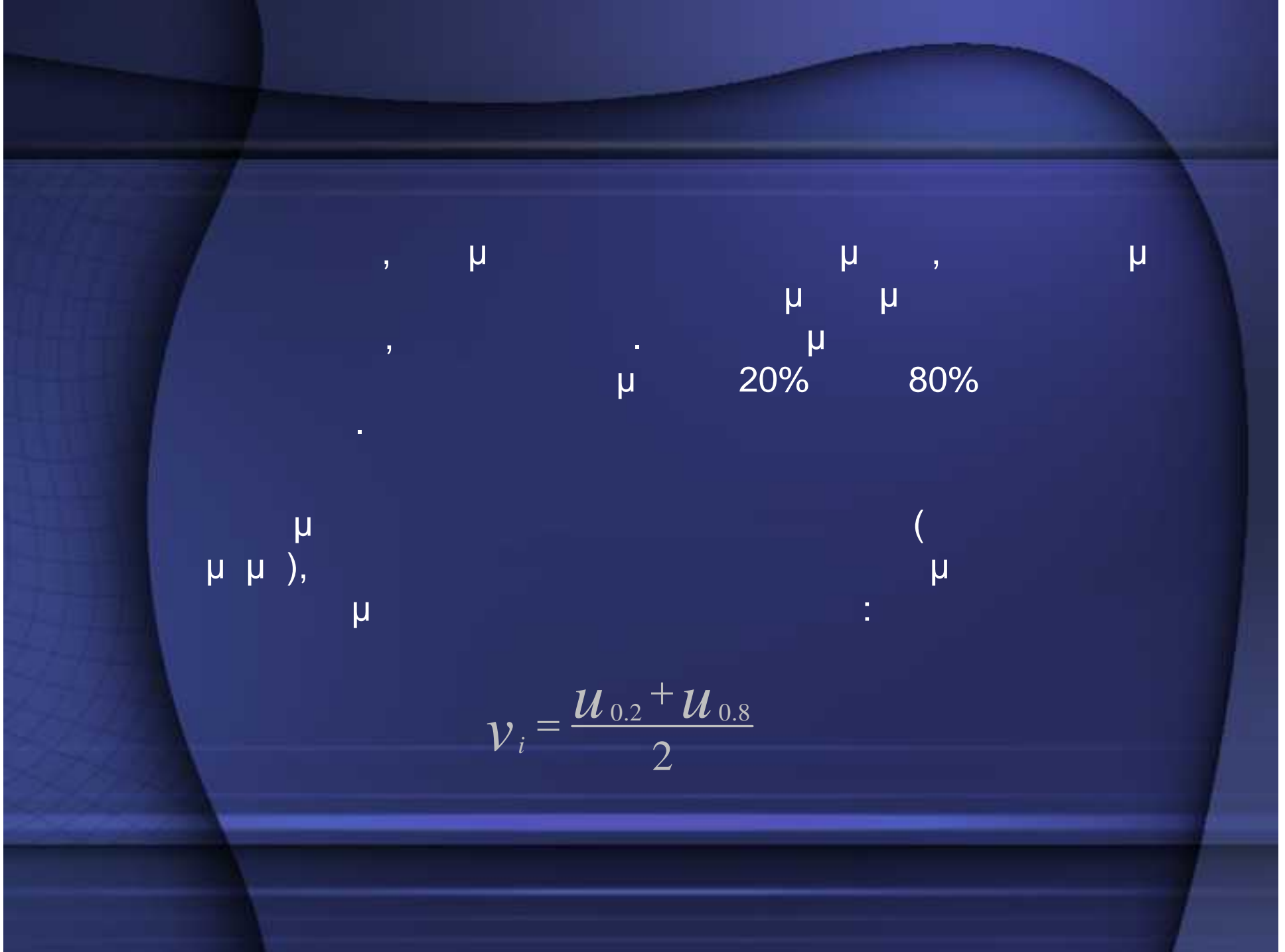
Σχήμα 5.22 Η διατομή ενός υδατορεύματος.





Σχήμα 5.23 Τυπική διάταξη μυλίοκου.





$\bar{v} = \frac{U_{0.6} + U_{0.2} + U_{0.8}}{4}$

Πρός

Την "Υπηρεσίαν Χώροντος Εργανών/ΔΣ, Υ.Δ.Ε.

①

Αθήνας

"Αντικαθιστών": Κατανικτρόνης πληροφόρης απέριο διάστημα

1. ΠΟΤΑΜΟΣ, ΝΕΙΜΑΡROS, ΦΗΡΗΣ ΣΩΦΡΗΣΟΣ
2. Λαζανι... ΣΩΦΡΗΣΟΣ
3. Υλετικόν Ανανεωσανθετικόν ΣΩΦΡΗΣΟΣ
4. ΘΕΣΣ ΜΕΤΡΗΣΕΩΣ Καρύδα Καρύδα
5. Χρονολογία ... 13-10-81
6. "Όρα μετρήσουσε: λέπια 10³ λογ 11⁴"
7. "Εκδηλ. υποδομήματρον: κατά την έναρξην 1,23 κατά την λήξην 1,23"
8. Τύπος και σφριδιός μικλίσκου ΣΙΑΡ 600319
9. Τρόπος μετρήσουσε ... Με ζυγόσταγο
Περανηγής συναλλαγής!
10. Χρησιμοποιηθέντων προσωπικών Περανηγής συναλλαγής!
11. Πλάτος διατομής οβετος, τρεχ. μέτρα ... 22,80
12. Μήκος του βάθους οβετος μ. ... 0,54
13. ΥΓΡΑ ΔΙΑΤΟΜΗ, πάτρ. μετρ. ... 11,088
14. ΜΕΣΗ ΤΑΧΥΤΗΣ, μέτρα/δευτ. ... 0,94
15. ΖΑΡΟΧΗ, κυρικά μέτρα/δευτ. ... 10,487
16. "Αριθμός Βιβλίου μετρήσουσε... 13 Σελίς 15η 16

"Ο Εθνικός

"Ο Εκπρόσωπος την μετρήσαν


ΚΑΡΑΚΑΜΔΟΣ ΛΑΖΑΡΟΣ

Αρχείου

1. "Αριθμ. Μετρήσουσε είς την ός δικα θέσην...
2. Στοιχεία φανέλλου...

2952/12-74/6.000

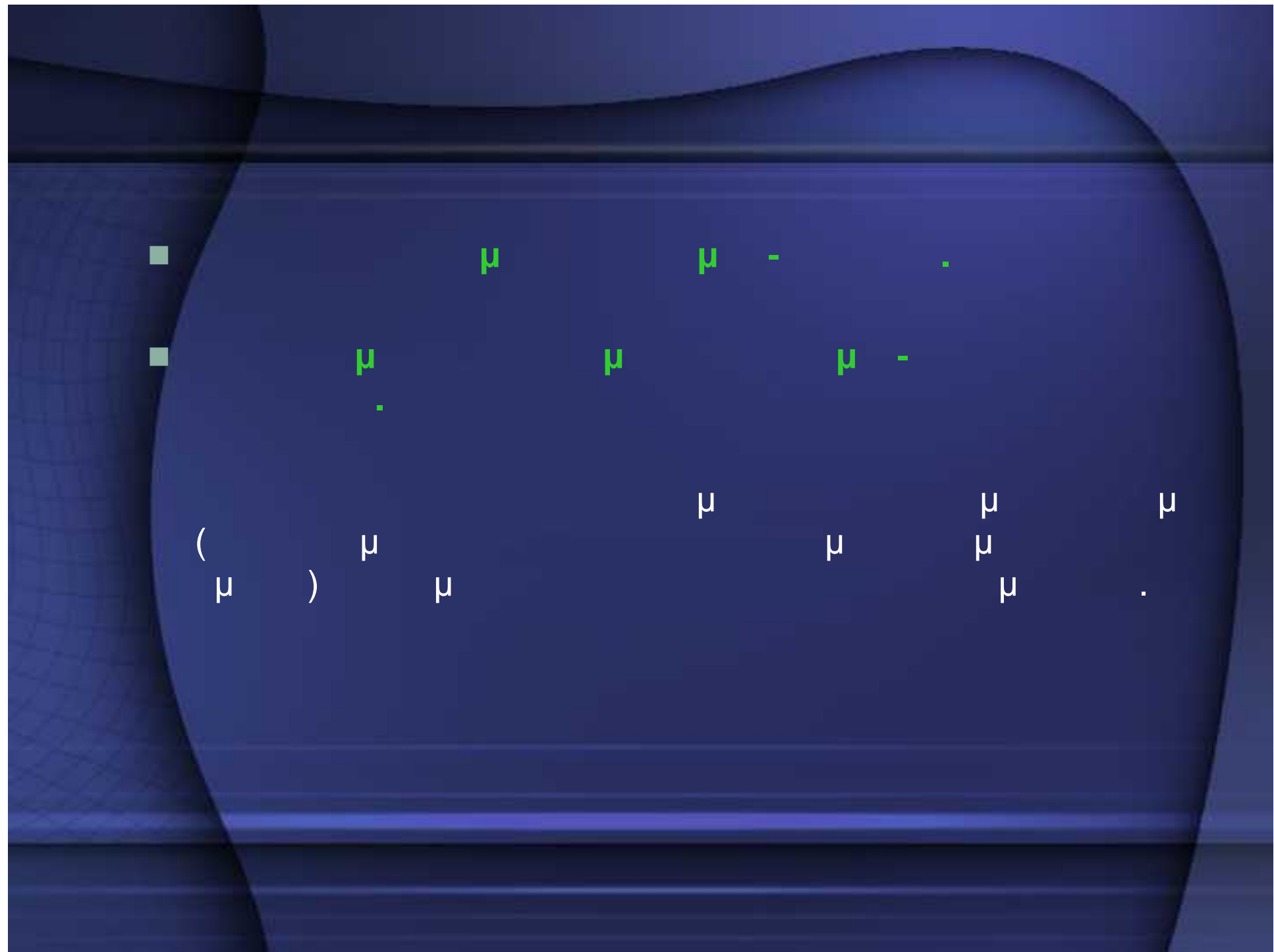
Σχήμα 5.24 Δελτίο παραπορήσεων υδρομέτρησης.

5.5

μ μ , , μ (. . . μ
 μ μ). μ ,
 μ μ .

μ) : μ μ (. . . ,
 μ)

■ μ μ μ μ -
■ μ μ μ μ (. . . , μ μ).



5.5.1

μ

μ -

μ 5.24)

μ -

(μ ,

μ

μ

μ

μ .

μ μ
 μ μ

μ

μ

μ

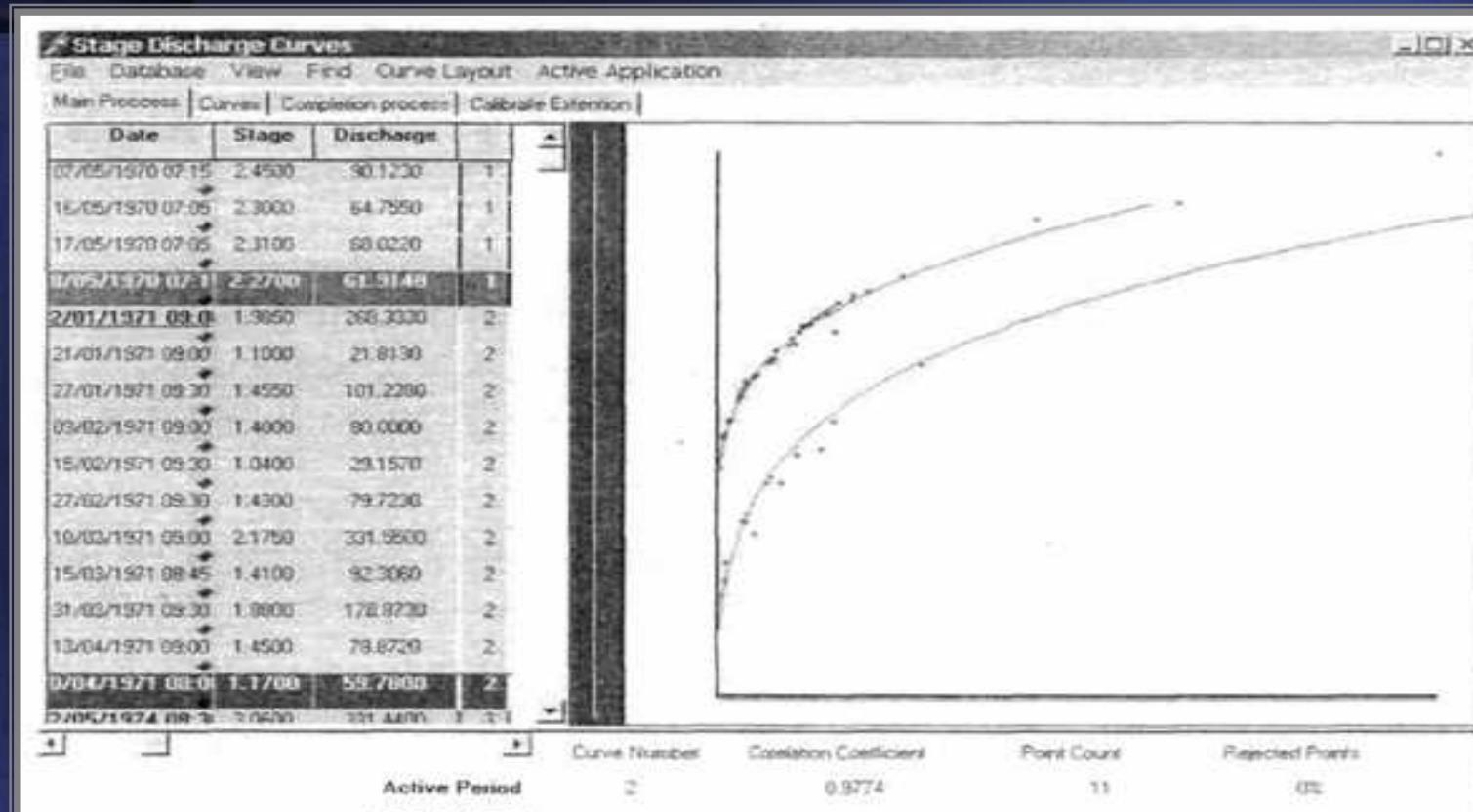
μ

μ (μ ,

μ μ

).
.

μ μ ,
 μ μ



Σχήμα 5.25 Απεικόνιση των καρπυλών στάθμης παροχής σε κανονικό διάγραμμα (Πηγή: ΕΤΥΜΠ).

$$Q = k(h-a)^b$$

\vdots

$$\begin{matrix} & \mu & \mu & \mu & \mu \\ & \mu & \mu & \mu & \mu \\ & : & & & \\ & Q & , & k & b & a \\ & \mu & \mu & \mu & \mu & \mu \\ & \mu & . & \mu & - & : \\ & \mu & & \mu & & \end{matrix}$$

➤

$$\mu \quad \mu : \quad$$

$$Q = A_0 + A_1 H + A_2 H^2$$

➤

$$\mu \quad \mu : \quad$$

$$\ln(Q) = A_0 + A_1 \ln(H) + A_2 \ln(H^2)$$

$$: \quad Q = \quad ,$$

$$= \quad \mu$$

$$0, \quad 1, \quad 2 \quad \mu \quad .$$

5.5.2

μ -

Mapping:  

$$\partial_{\alpha} \rightarrow J - A B^{\frac{2}{3}}$$

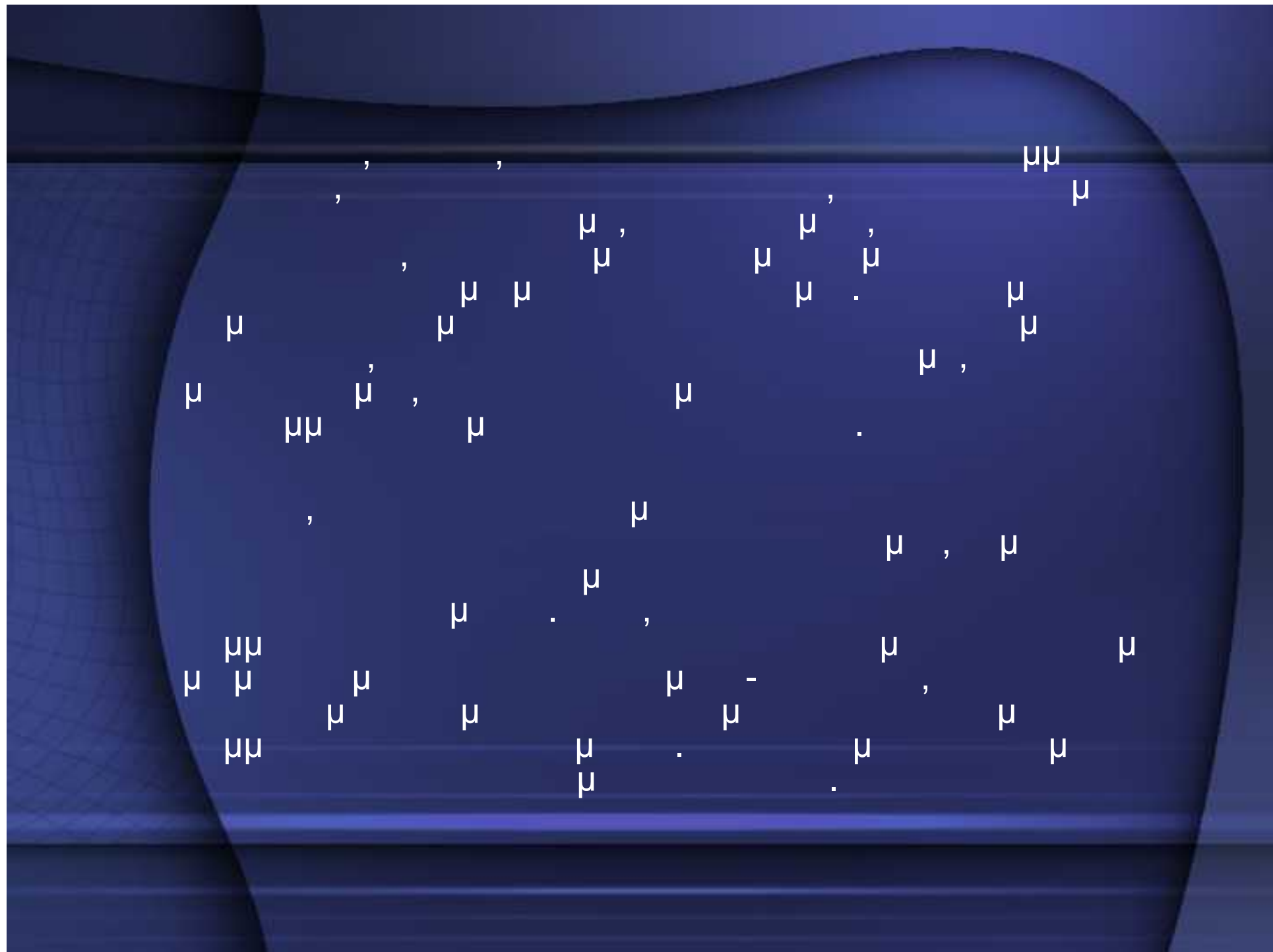
$$Q = \frac{1}{n} \sum_{i=1}^n Q_i$$

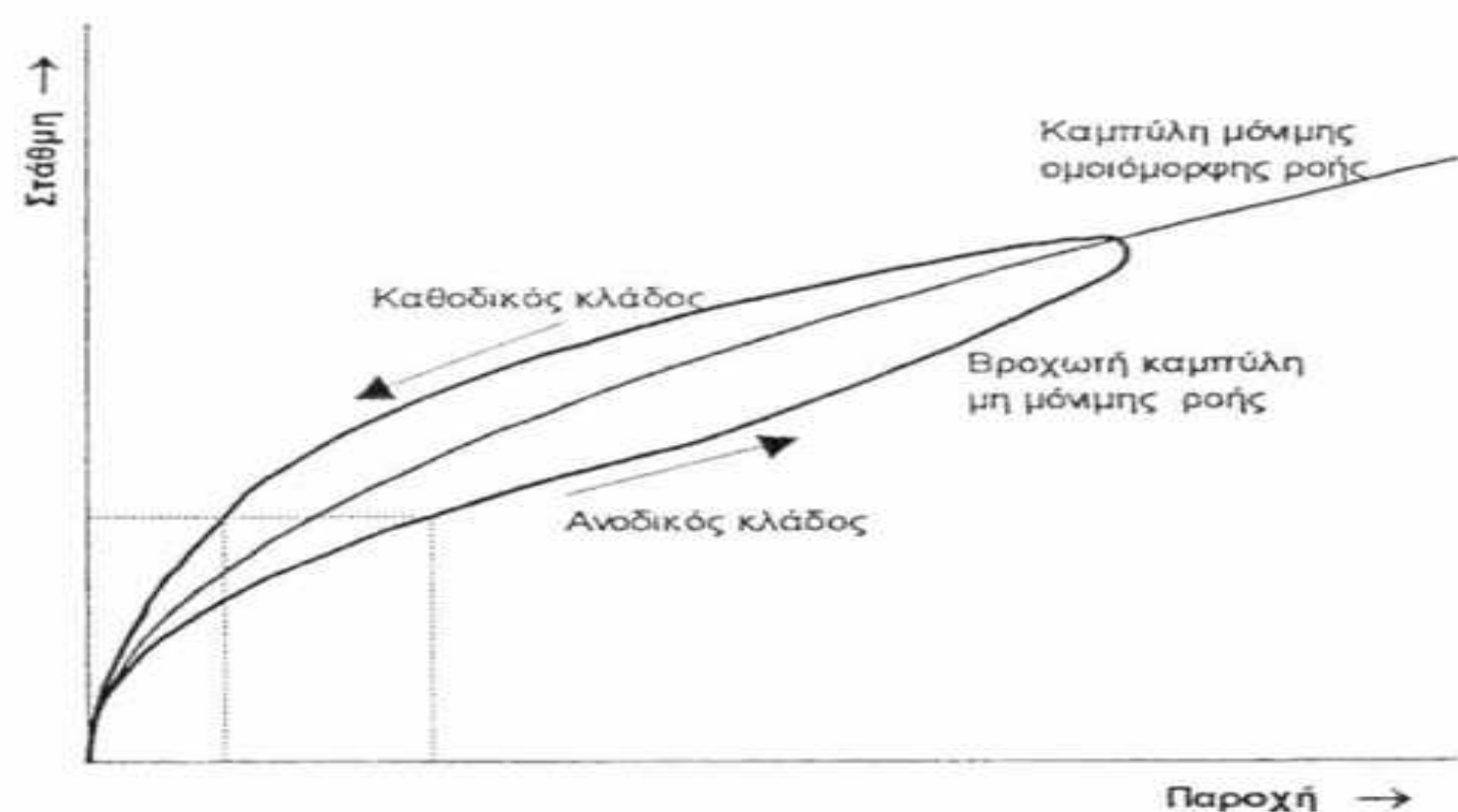
Digitized by srujanika@gmail.com

Q $C \mu$.
 μ μ
 $(Q, AR^{0.5})$ μ $\mu\mu$ μ
 μ $CJ^{0.5}$.

 μ μ μ μ -
 μ μ μ μ
 $\mu\mu$. μ μ μ
 μ
 $DQ/DH > 0.$

5.5.3





Σχήμα 5.26 Καμπύλη στάθμης παροχής σε συνθήκες μη μόνιμης ροής.

5.5.4

μ μ

μ

μ

μ

μ

μ

μ μ

1

μ

μ

μ

μ . μ

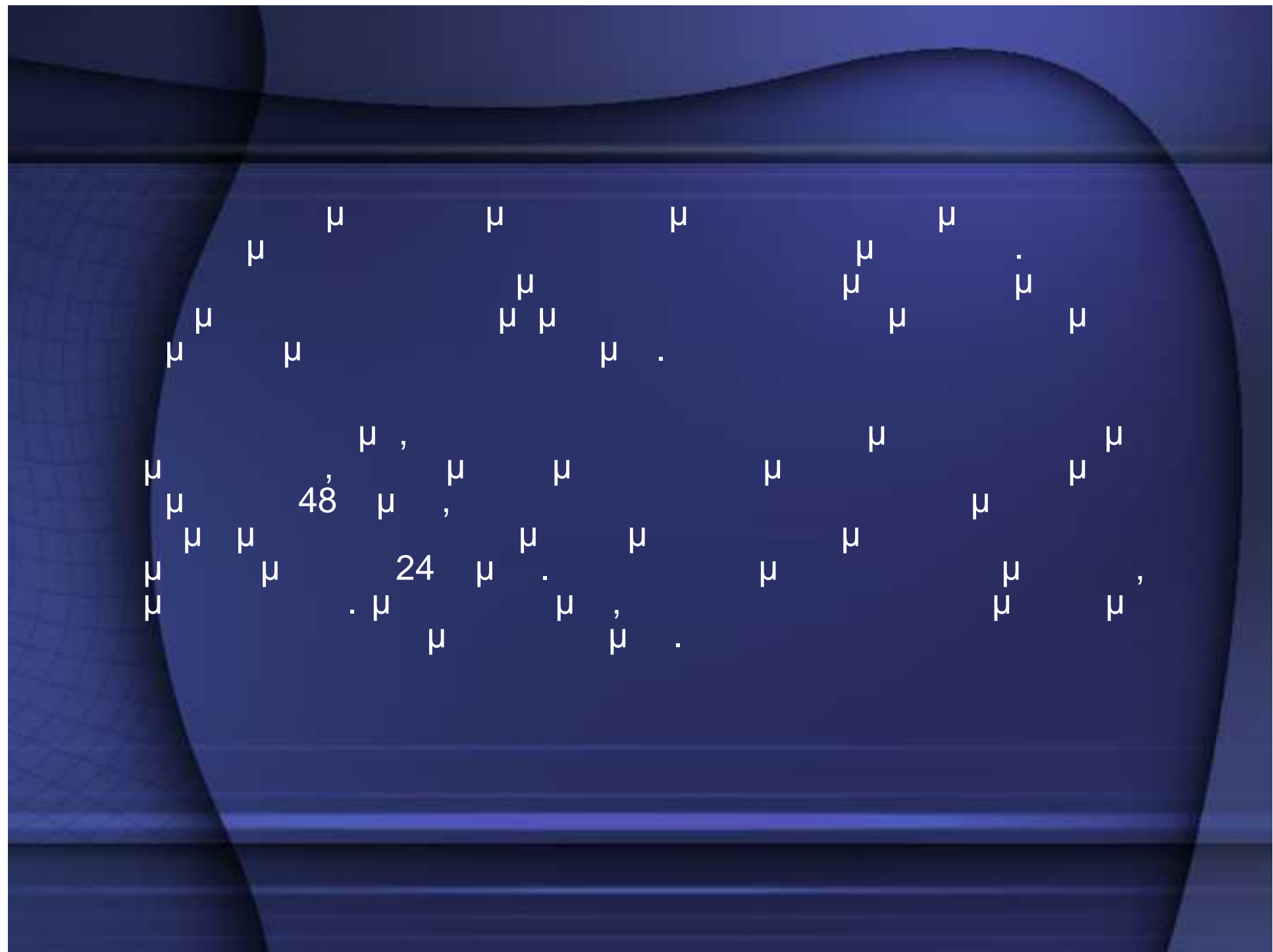
μ

μ

μ μ

μ

μ μ μ



5.5.5

μ

μ

$\mu \mu$

/

μ

$\mu \mu$

$\mu - \mu$

,

$\mu (\mu ,$

$, \mu \mu \mu$

/

$\mu \mu$

$\mu -$

$\mu (\mu ,$

$, \mu \mu \mu$

$\mu -$

μt

$h^\mu(t)$

$\mu \mu$

μ

$\mu \mu -$

t

μ

t

$\mu \mu$

$\mu \mu h^\mu(t)$

.

$Q(t),$

,

$\mu \mu \mu$

$Q(t),$

$\mu - \mu$

$\mu (h^\mu, Q^\mu)$

$\mu .$

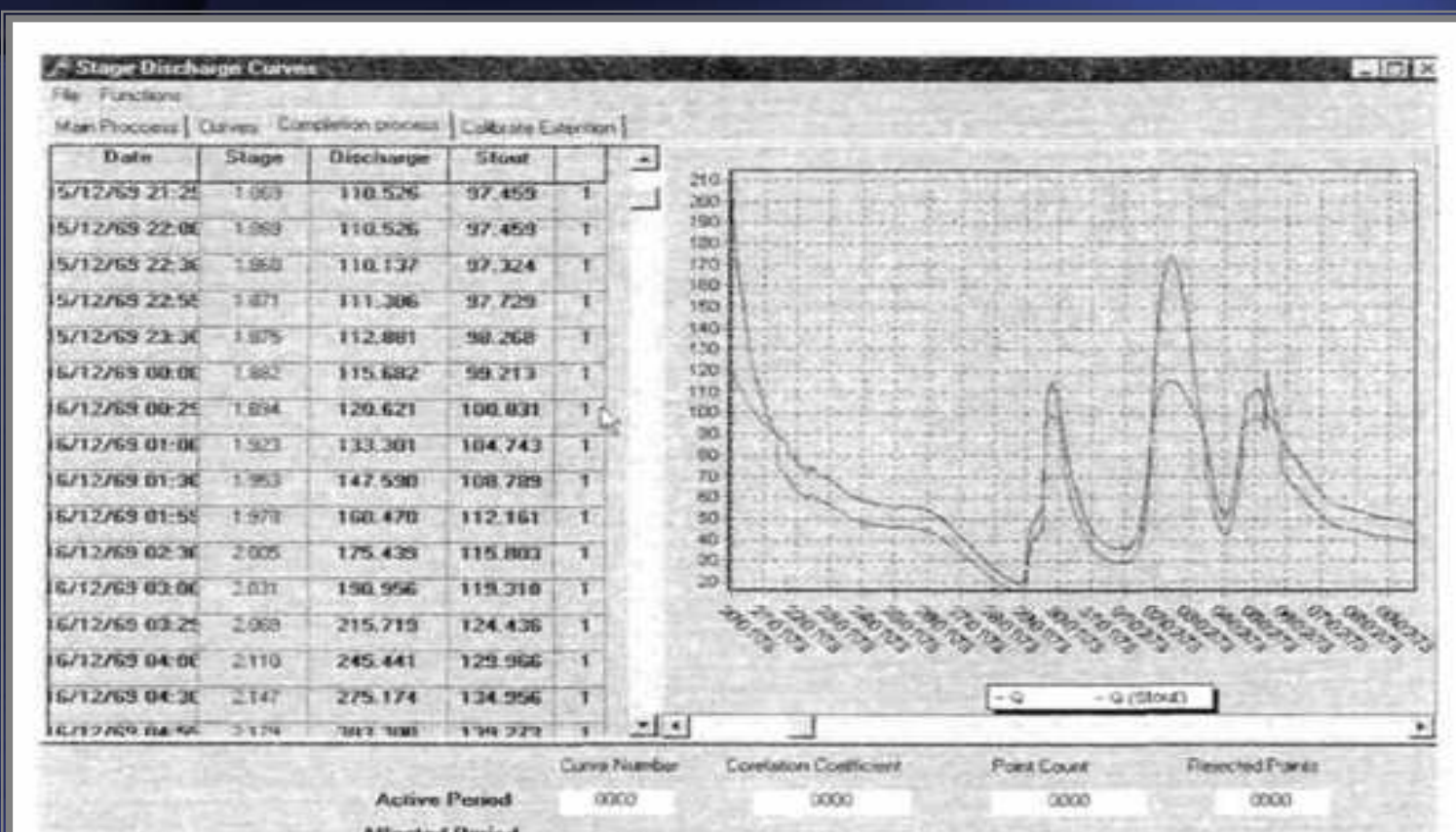
Stout

$\mu = 5.27$

μ

$\mu \quad \mu \quad \mu$
 $\mu \quad ($
Stout).

$\mu \quad \mu \quad \mu \quad \mu$
 $\mu \quad) \quad \mu \quad , \quad \mu \quad (\quad . \quad . \quad .$
 $\mu \quad \mu \quad , \quad \mu \quad , \quad \mu \quad , \quad \mu \quad , \quad \mu \quad ,$
 $\mu \quad .$

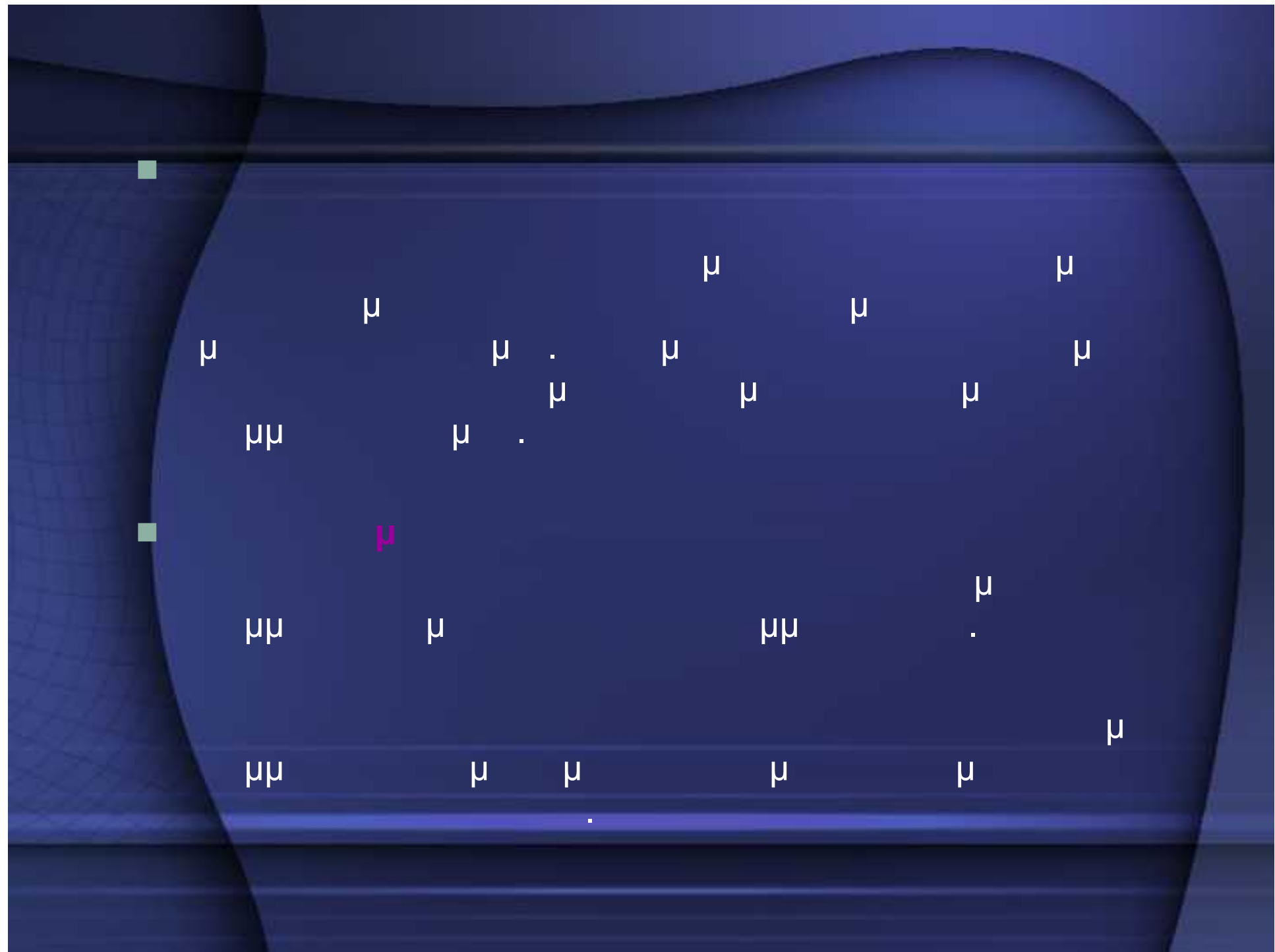


Σχήμα 5.27 Εκτίμηση της χρονοσειράς παροχών με βήμα μισής ώρας χωρίς και με διόρθωση της στάθμης (Πηγή: ΕΤΥΜΠ).

5.6

$\mu\mu$ -
 μ .
 μ ,
 μ ,
 μ .
 $\mu\mu$ -
 μ ,
 $\mu\mu$.

μ (μ , 1983):
■ μ μ μ μ μ . μ



5.6.1

$\mu\mu$

μ

μ

μ

μ

μ

μ

($<35 \text{ km}^2$)

μ

,

μ

μ

μ

μ

μ

μ

μ

μ

:

$$Q_p = 0.278 CIA$$

Q_p
 C

μ
 μ

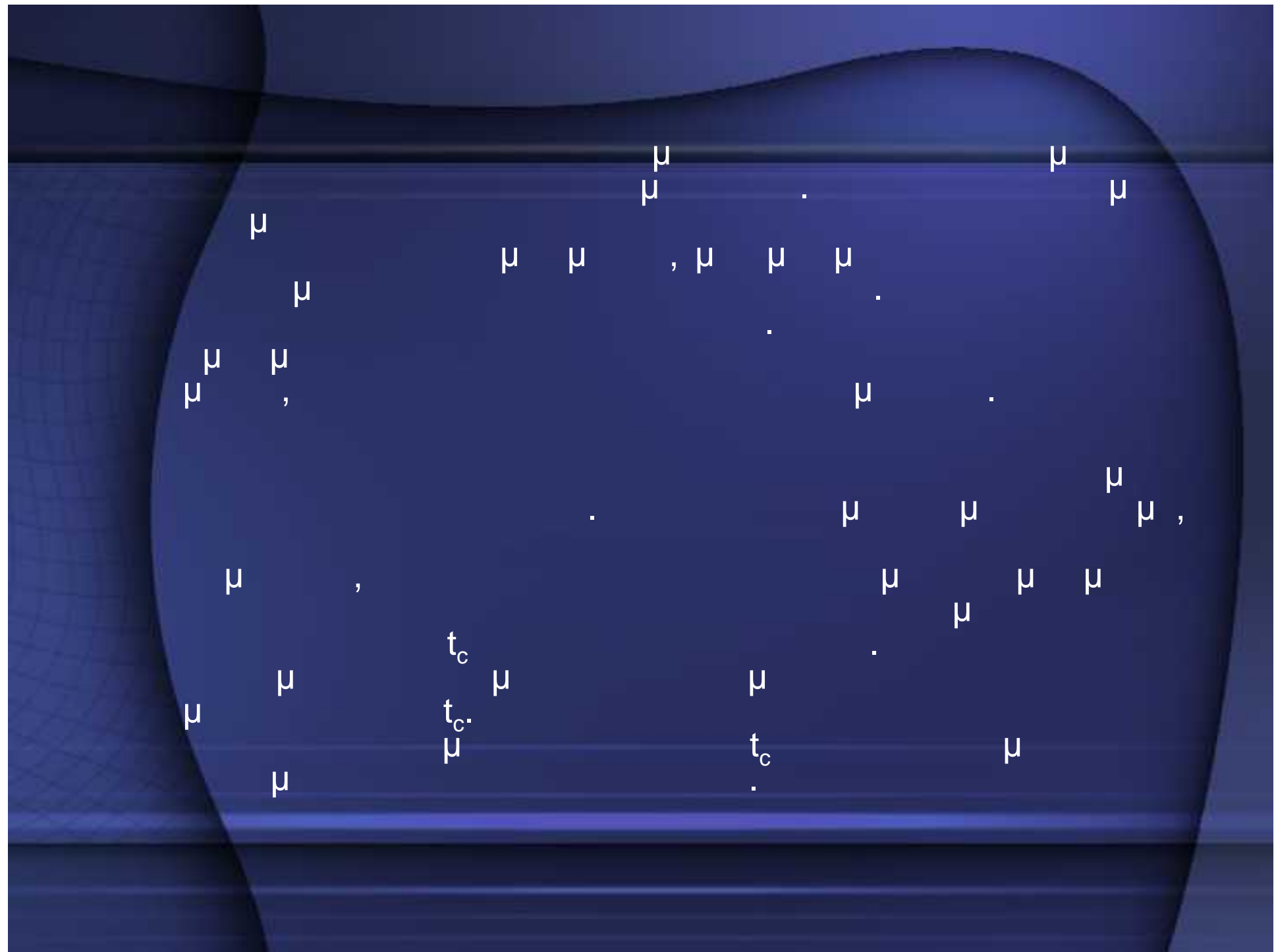
m^3/sec ,

μ

|

mm/hr

$\text{km}^2.$



μ μ μ μ μ μ $\mu \quad \mu$

,

:

$$q_p = Q_p / A = Ci$$

 C

$$q_p/i.$$

 μ

 C

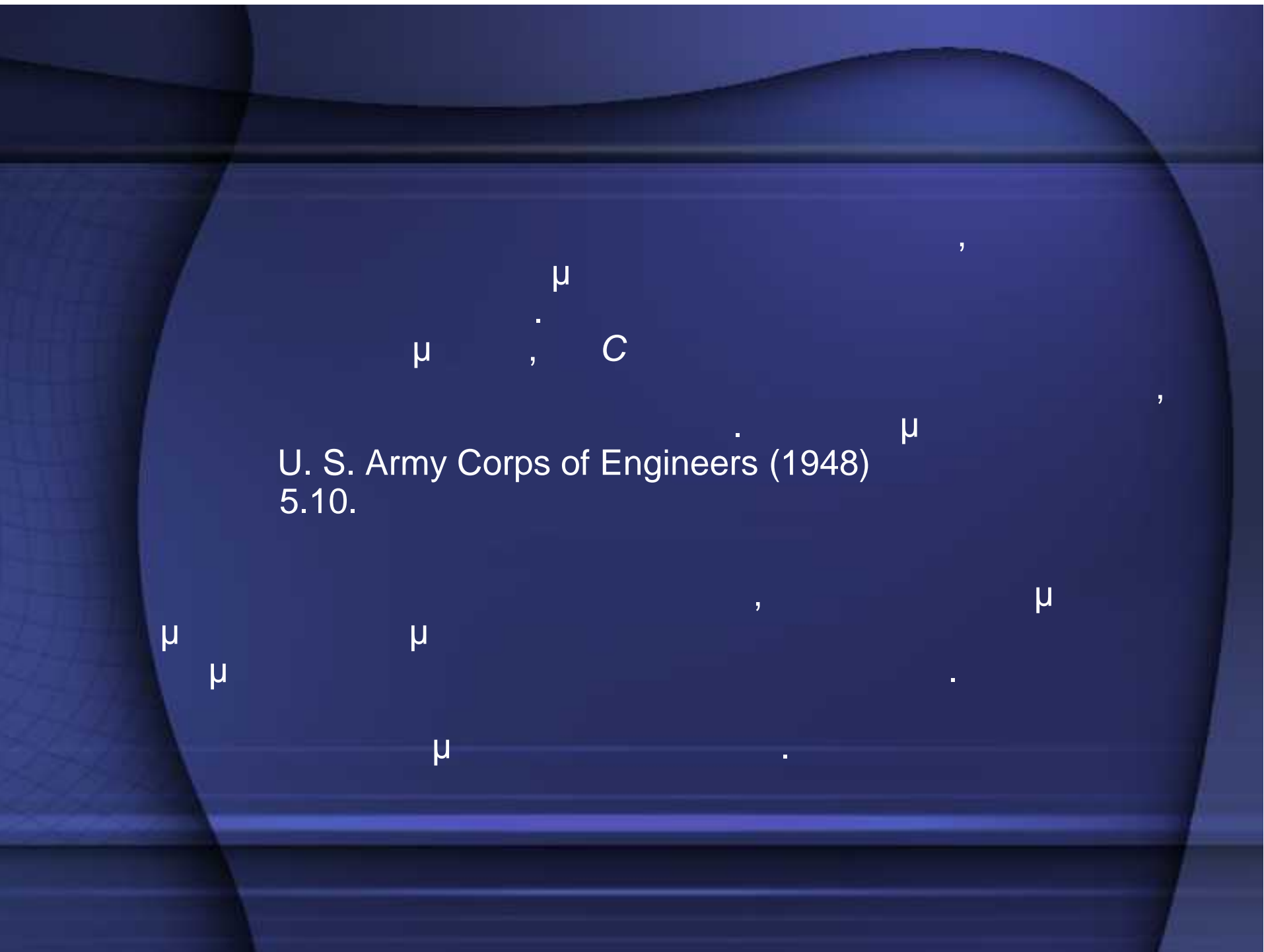
(1)

(2)

(3)

(4)

 μ



Πίνακας 5.10 Ενδεικτικές τιμές του συντελεστή C (για βροχές περιόδου επαναφοράς 5 -10 ετών).

Τύπος λεκάνης απορροής	Συντελεστής απορροής C
Διαπεριτά εδάφη (αμμώδη)	0.10-0.20*
Εδάφη μέσης διαπεριτότητας	0.30 - 0.40*
Εδάφη μικρής διαπεριτότητας	0.40 - 0.50*
Αστικές περιοχές	0.70 - 0.90*
Βιομηχανικές περιοχές	0.50 - 0.90*
Άλση	0.10-0.25
Οδοστρώματα (ασφαλτικά, σκυρόδεμα)	0.70 - 0.95
Στέγες σπιτιών	0.75-0.95

* Οι μικρότερες τιμές αφορούν δασώδεις περιοχές, οι μεγαλύτερες τιμές αγροτικές περιοχές

Kirpich (1940), Giandotti Soil
Conservation Service (SCS).

Kirpich :

$$t_c = 0.1947 L^{0.77} S^{-0.385}$$

$$\frac{t_c}{\text{min}, \text{ } L} = \frac{\mu_m \mu_S \mu_{\text{Soil}}}{\mu_m \mu_L}$$

Giandotti :

$$t_c = \frac{4\sqrt{A} + 1.5L}{0.8\sqrt{\Delta H}}$$

: = μ $\text{km}^2,$
L = μ
= μ
 μ

SCS :

$$t_c = \frac{L^{1.15}}{7700H^{0.38}}$$

$$\begin{aligned} t_c &= \frac{\mu}{\mu + \mu + \mu} \text{ ft}, \\ L &= \mu \quad \mu \quad \mu \\ H &= \mu \quad \mu \quad \mu \end{aligned}$$

5.6.2

μ

μ

μ

μ

μ

,

μ

$\mu\mu$

,

μ

μ

μ

μ

μ

μ

,

$\mu \mu$

μ

μ

μ

μ

μ

μ

(, 1983):

$$Q_m = CA^n$$

$$Q_m = \frac{CA}{(a+bA)^m} dA$$

Q_m

μ ,
 $C, a, b, d, n, m,$

μ

μ

U.S. Soil Conservation Service (1957)

μ

,

r

,

t_p

μ

:

$$Q_p = 0.210 A P_r t_p^{-1}$$

Q_p

m^3/sec

km^2, r

mm

t_p

, Kinnison (1945)

, μ , μ , μ ,
 μ , μ , h ,

μ μ
 L_m

μ . μ :

$$Q_p = \frac{(0.000107 h^{2.4} + 2.122) A^{0.9}}{a^{0.04} L_m^{0.7}}$$

$$\frac{Q_p}{a} \text{ m}^3/\text{sec} \cdot \frac{\text{km}^2}{L_m} \cdot \frac{\text{km}}{h} = Q_p$$

0

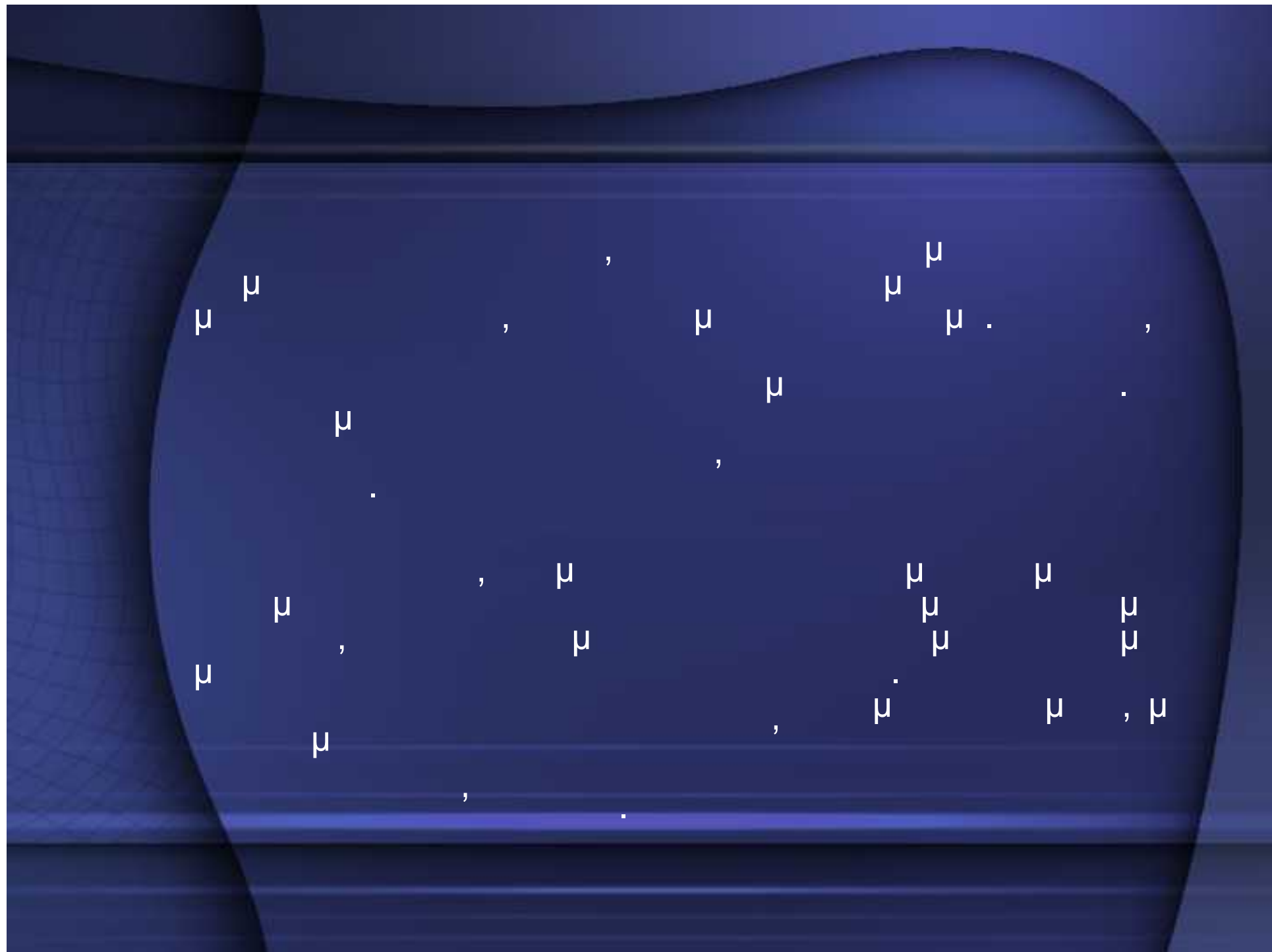
5.7

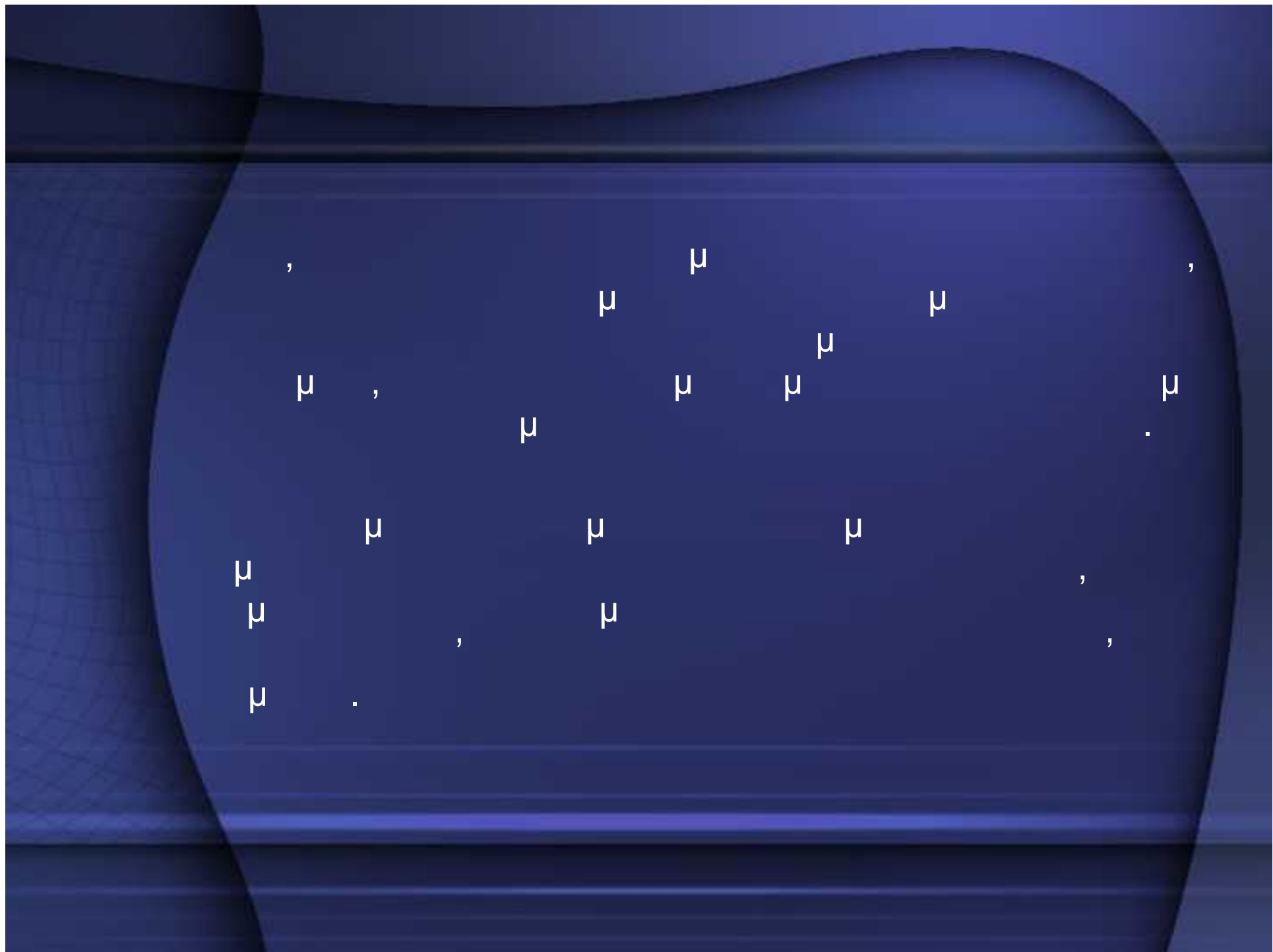
5.7.1

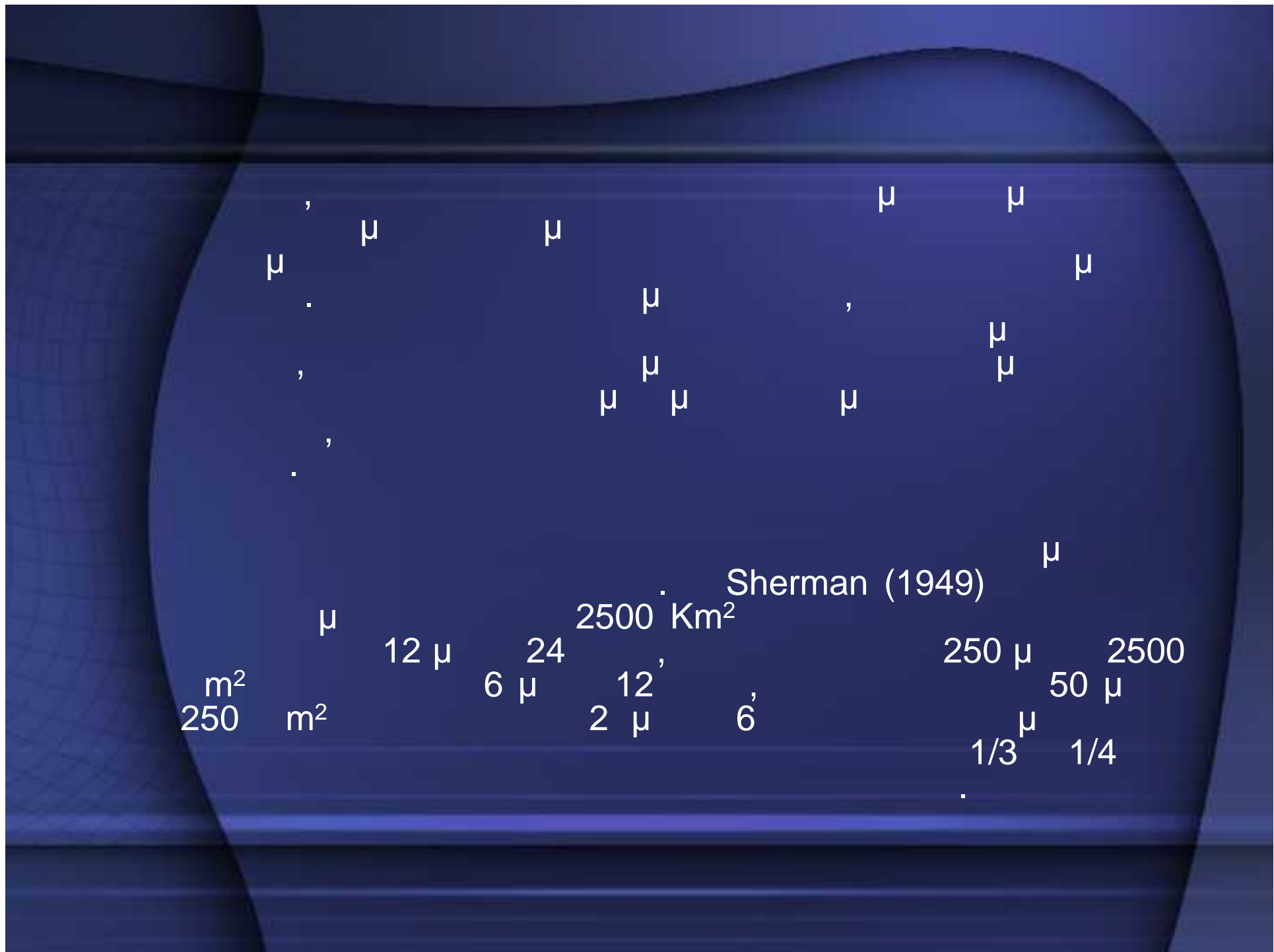
μ :
■ μ μ ,
 μ ,
■ μ μ ,
 μ ,
■ μ .



(Wilson, 1990).







Linsley et al.(1949)

μ μ
1/4

μ μ ,
U.S. Army Corps of Engineers (1948),
 μ μ μ 250 m^2 ,
 μ

,
, μ ,
 μ μ .
 , μ μ ,
 μ μ ,
 , μ 6 ,
 6 .
 μ μ

μ 5.28.

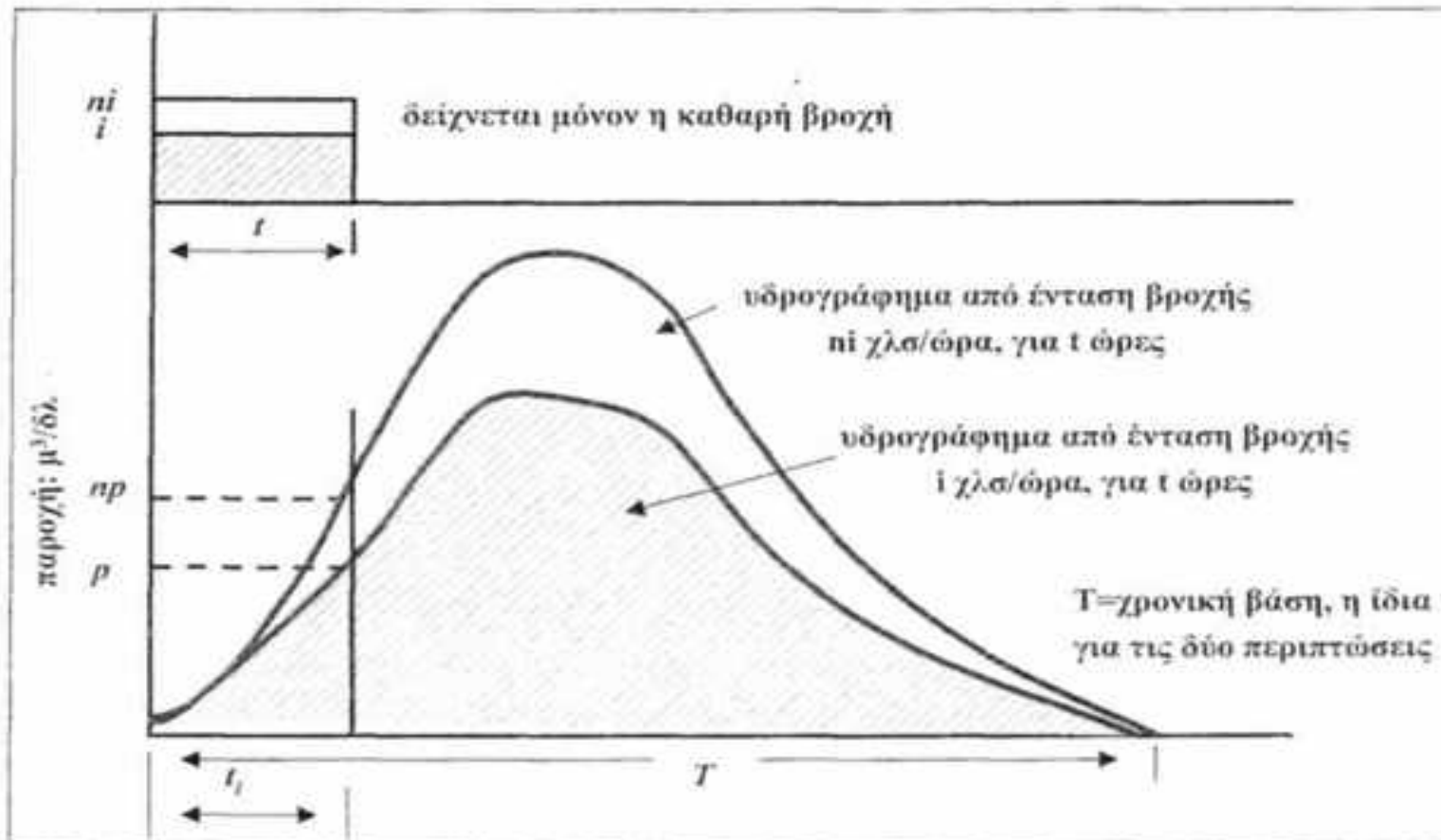
μ

μμ

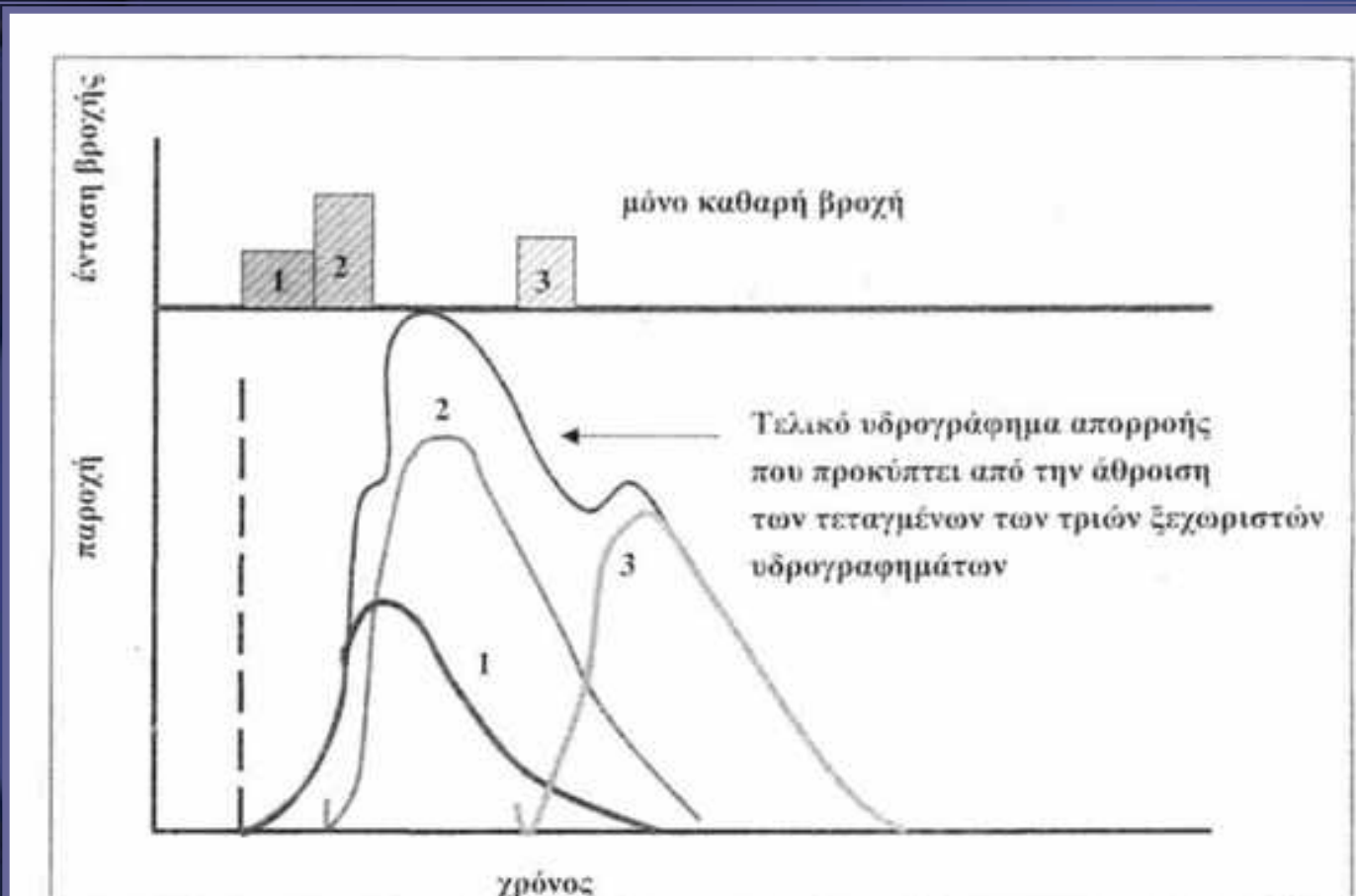
(

).

(μ , 1990).



Σχήμα 5.28 Η αρχή της αναλογίας του μοναδιαίου υδρογραφήματος.



Σχήμα 5.29 Η αρχή της επαλληλίας όπως εφαρμόζεται στο μοναδιαίο υδρογράφημα.

5.7.2

$\mu \mu \mu$

$\mu \mu$

μ

μ

μ

μ

$\mu,$

μ

, $\mu \mu$

4-5

μ

μ

μ

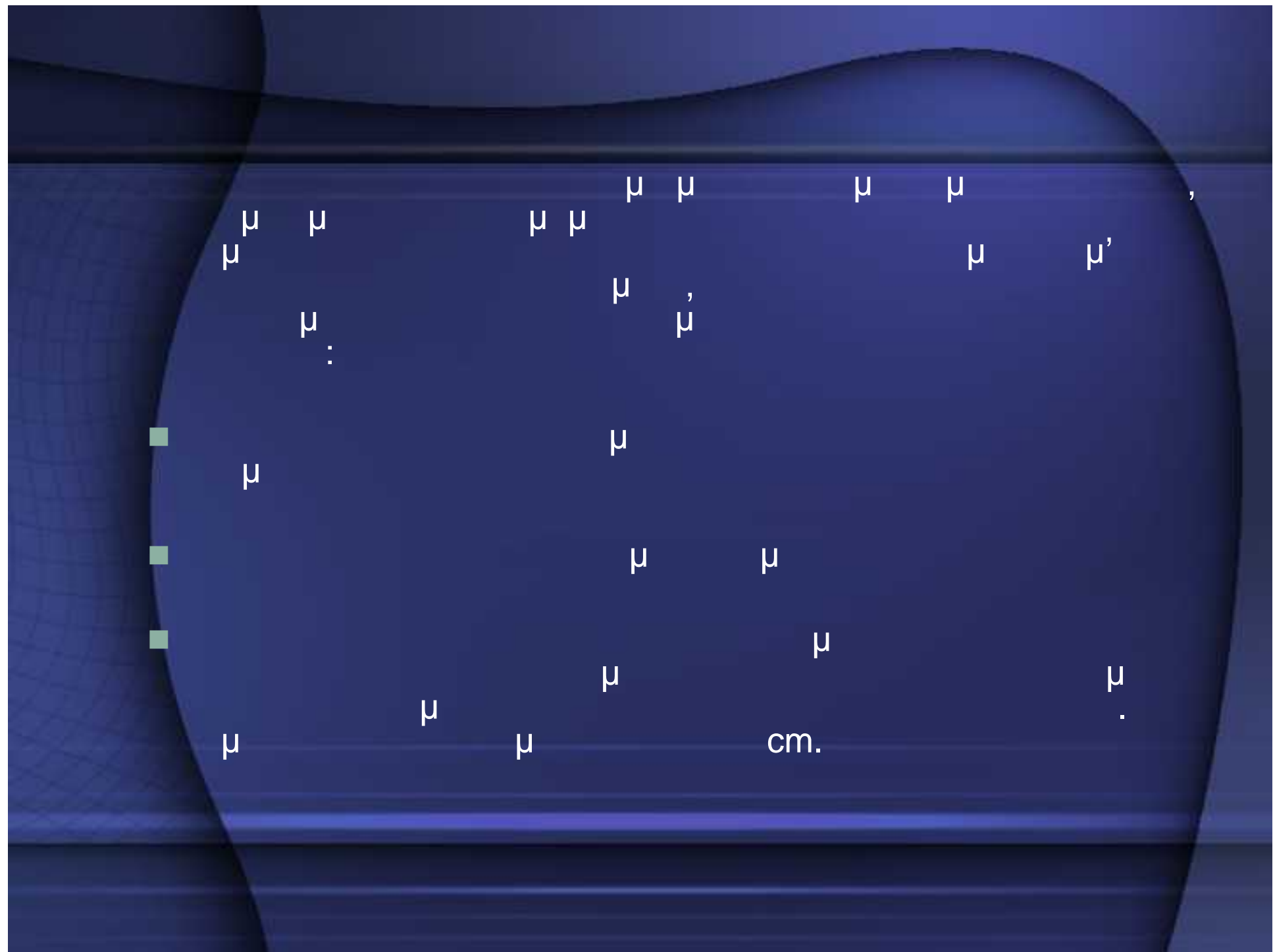
μ

μ

$,$

μ

μ





5.7.3

μ
 μ

μ
 μ

μ

$\mu\mu$

,

μ
 μ

, μ

μ ,
 μ

μ

$\mu\mu\mu$

(Jones, 1997).

μ 5.30,

μ

μ

,

μ

μ , μ

μ

μ

μ

μ

5.30,

.

:

$$i_1 h_1 = Q_1$$

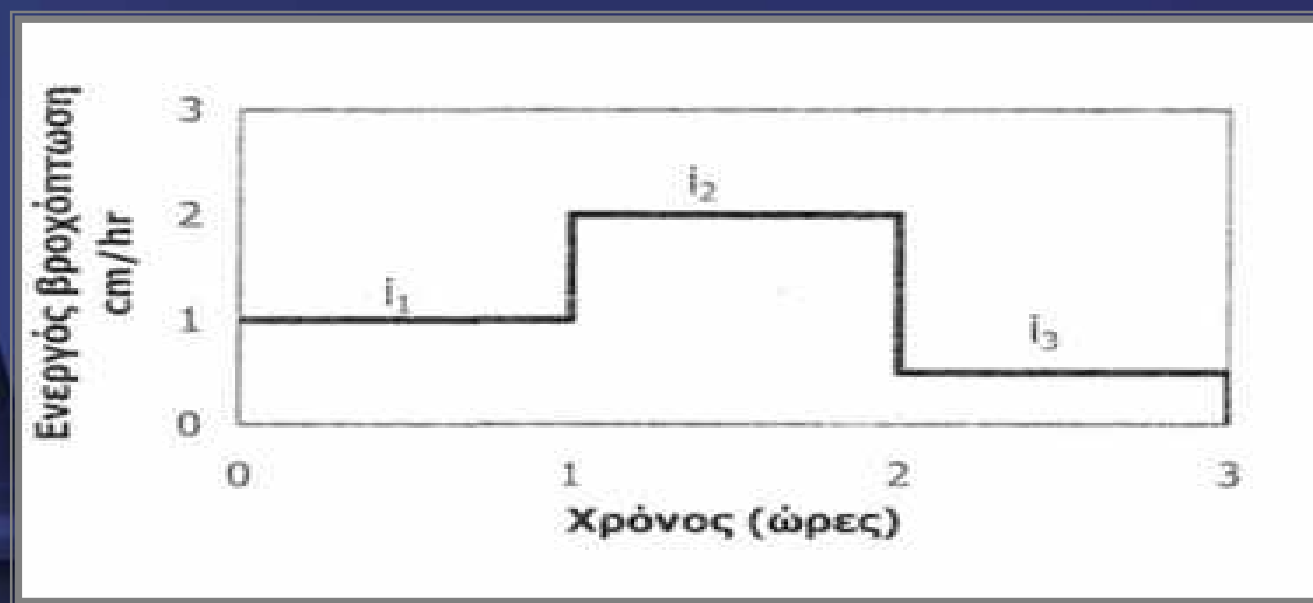
$$i_2 h_1 + i_1 h_2 = Q_2$$

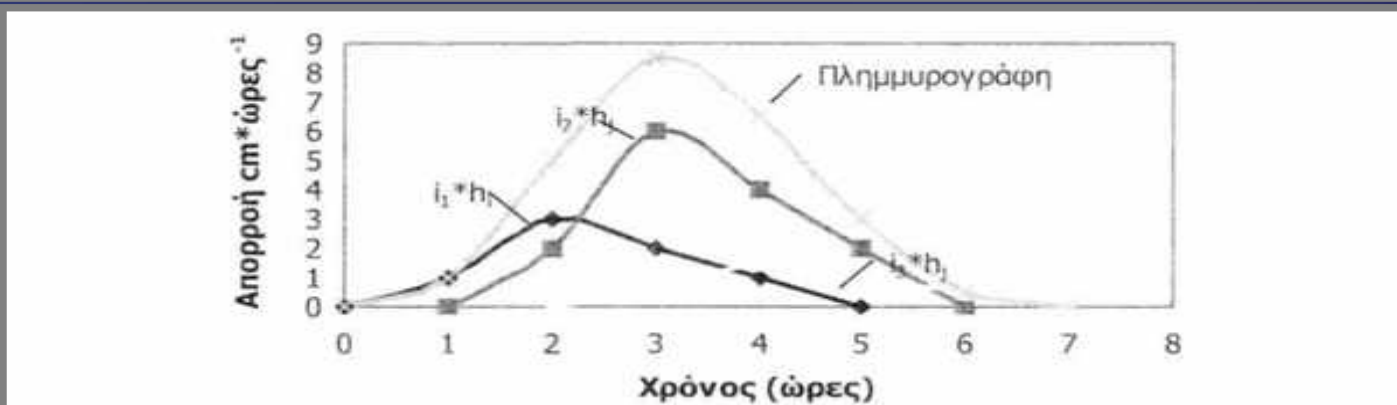
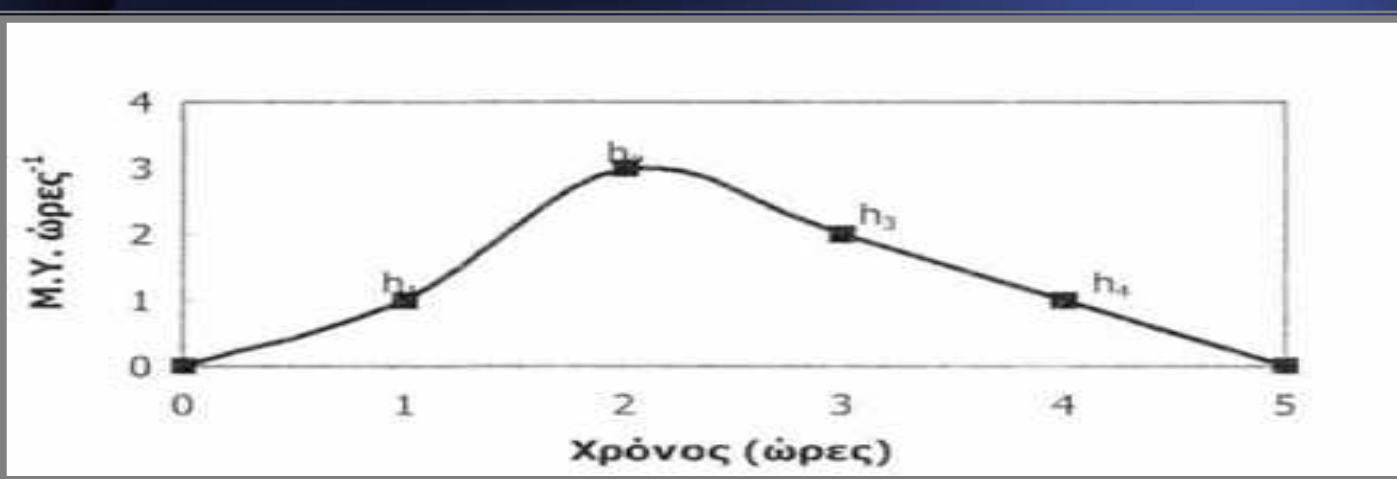
$$i_3 h_1 + i_2 h_2 + i_1 h_3 = Q_3$$

$$i_3 h_2 + i_2 h_3 + i_1 h_4 = Q_4$$

$$i_3 h_3 + i_2 h_4 + 0 = Q_5$$

$$i_3 h_4 + 0 + 0 = Q_6$$





Σχήμα 5.30 Υδρογρόφημα από σύνθετη καταιγίδα, όπως αποκτάται με τη βοήθεια του M. Y. (α) Ενεργός βροχόπτωση, (β) μοναδιαίο υδρογρόφημα και (γ) πλημμυρογράφημα.

μ μ μ μ
 μ . μ μ μ
 μ μ (Bras, 1990):

$$I \cdot H = Q$$

$$I = \begin{bmatrix} i_1 & 0 & 0 & 0 \\ i_2 & i_1 & 0 & 0 \\ i_3 & i_2 & i_1 & 0 \\ 0 & i_3 & i_2 & i_1 \\ 0 & 0 & i_3 & i_2 \\ 0 & 0 & 0 & i_3 \end{bmatrix} H = \begin{bmatrix} h_1 \\ h_2 \\ h_3 \\ h_4 \end{bmatrix} \text{ kai } Q = \begin{bmatrix} Q_1 \\ Q_2 \\ Q_3 \\ Q_4 \\ Q_5 \end{bmatrix}$$

$$\begin{aligned}
 & \mu \qquad \qquad \qquad \mu \qquad \qquad \qquad \mu \qquad \qquad \qquad k \\
 \mu \mu & \qquad \qquad \mu \qquad \qquad \qquad \vdots \qquad \qquad \qquad \\
 & k = n + j - 1 \\
 & n \qquad \qquad \mu \qquad \qquad \mu \qquad \qquad \qquad \dots, \qquad j \\
 & \vdots \qquad \qquad \mu \qquad \qquad \qquad \vdots \qquad \qquad \qquad \\
 & \mu \qquad \qquad \qquad \mu \qquad \qquad \qquad \vdots \\
 & \mu \qquad \qquad \qquad \mu \qquad \qquad \qquad \vdots \\
 Q_i &= \sum_{j=1}^i i_j h_{i-j+1}
 \end{aligned}$$

(convolution integral).

5.7.4

μ S.

μ

μ

μ

μ , μ

μ ,

.

μ

6
12

μ

6

μ

μ

cm

6
12

μ

6

μ

μ

,

2,

cm

12

μ

cm

μ

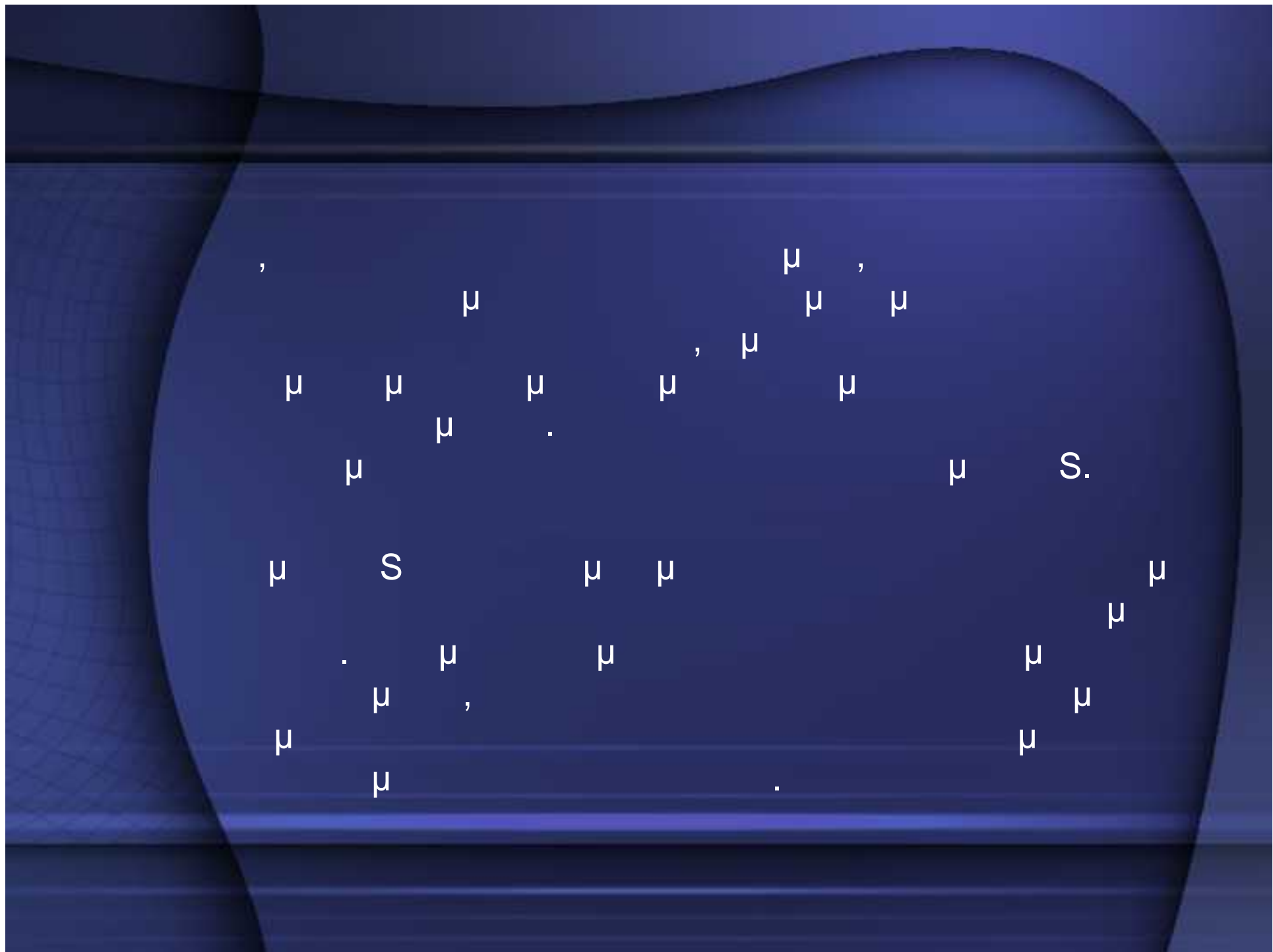
μ

μ

.

μ

.



μ 5.31.

,

μ D-

,

μ

S

D

D-

μ

μ S

μ

, μ

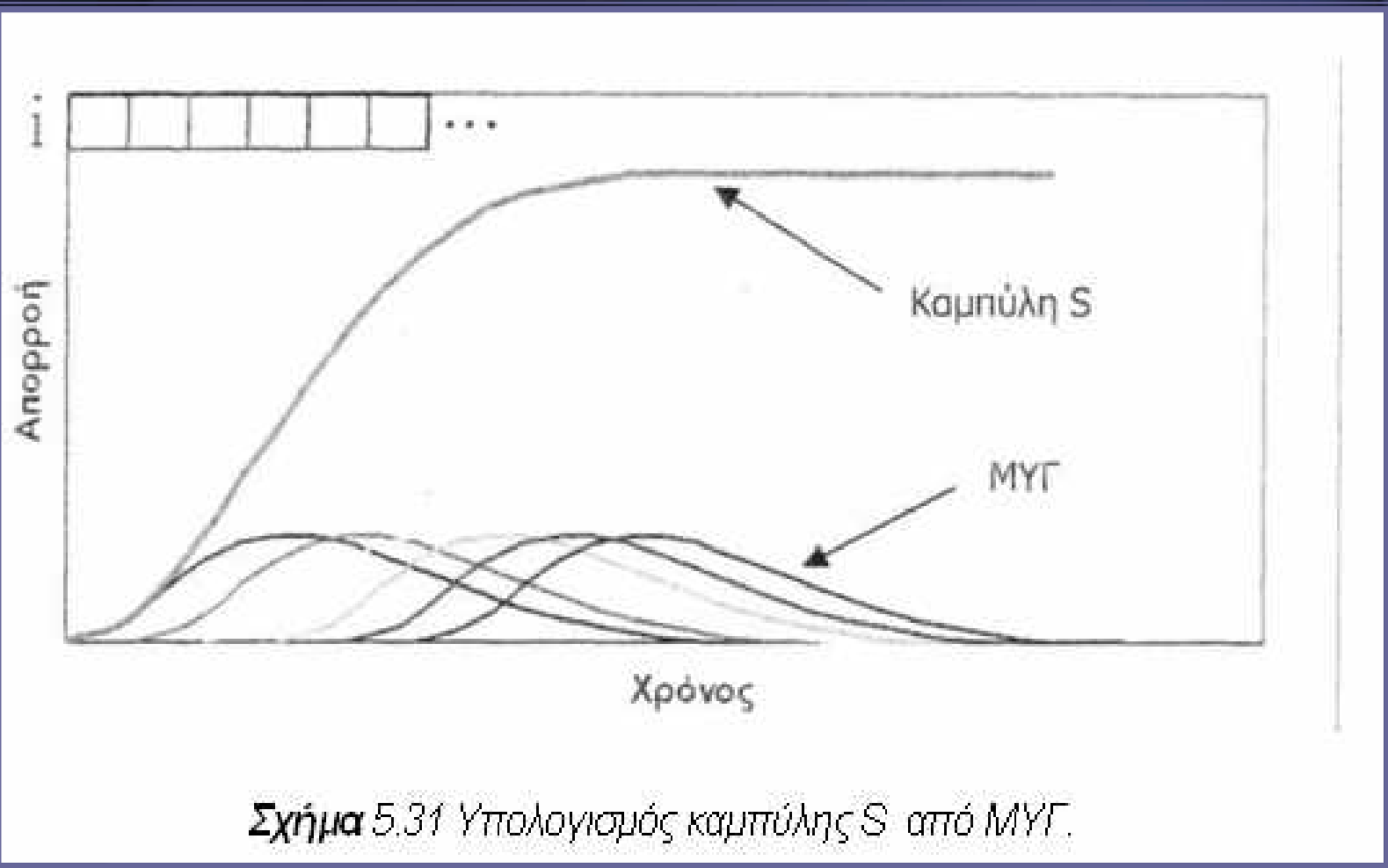
μ

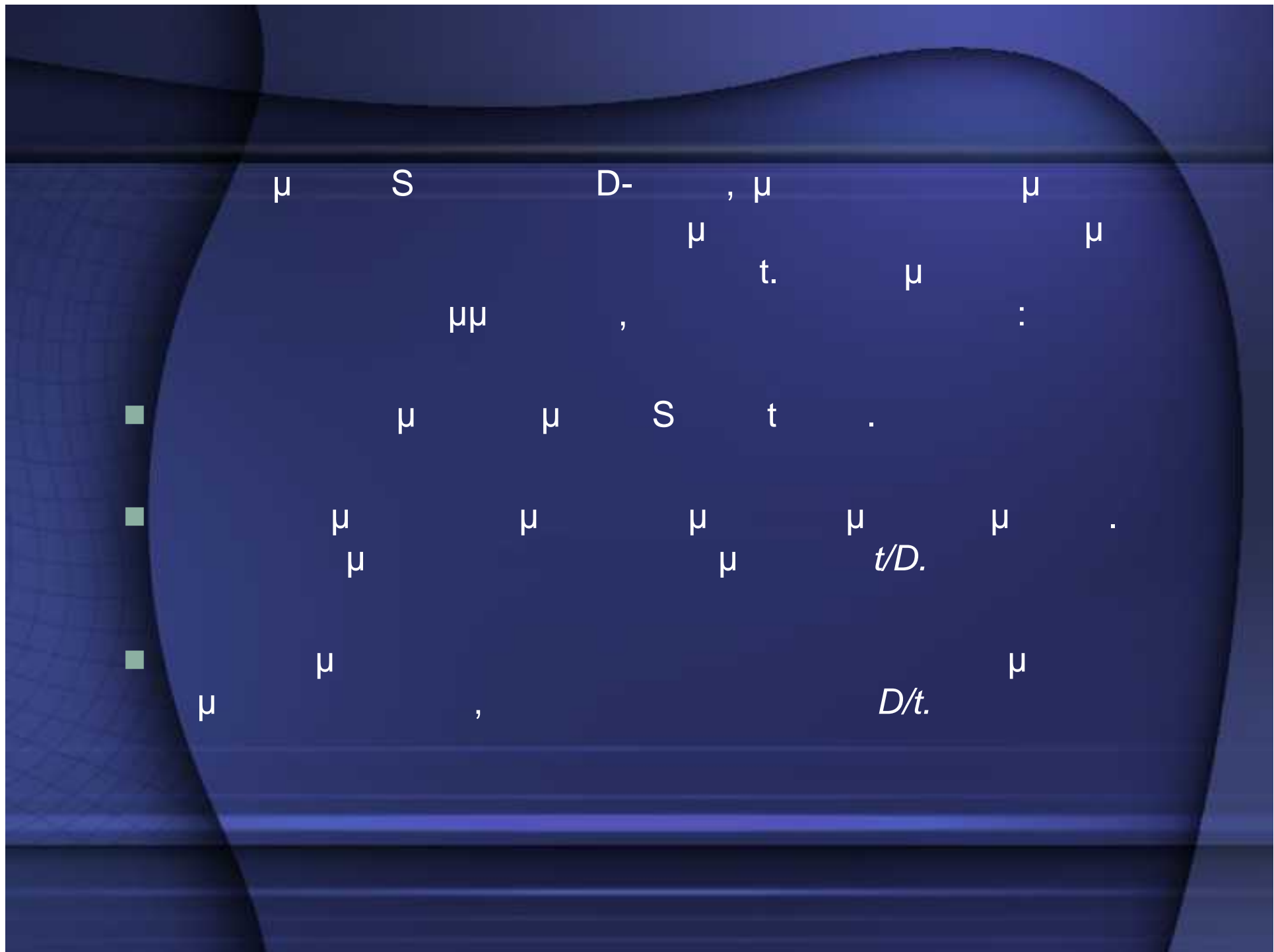
μ

D-

μ μ

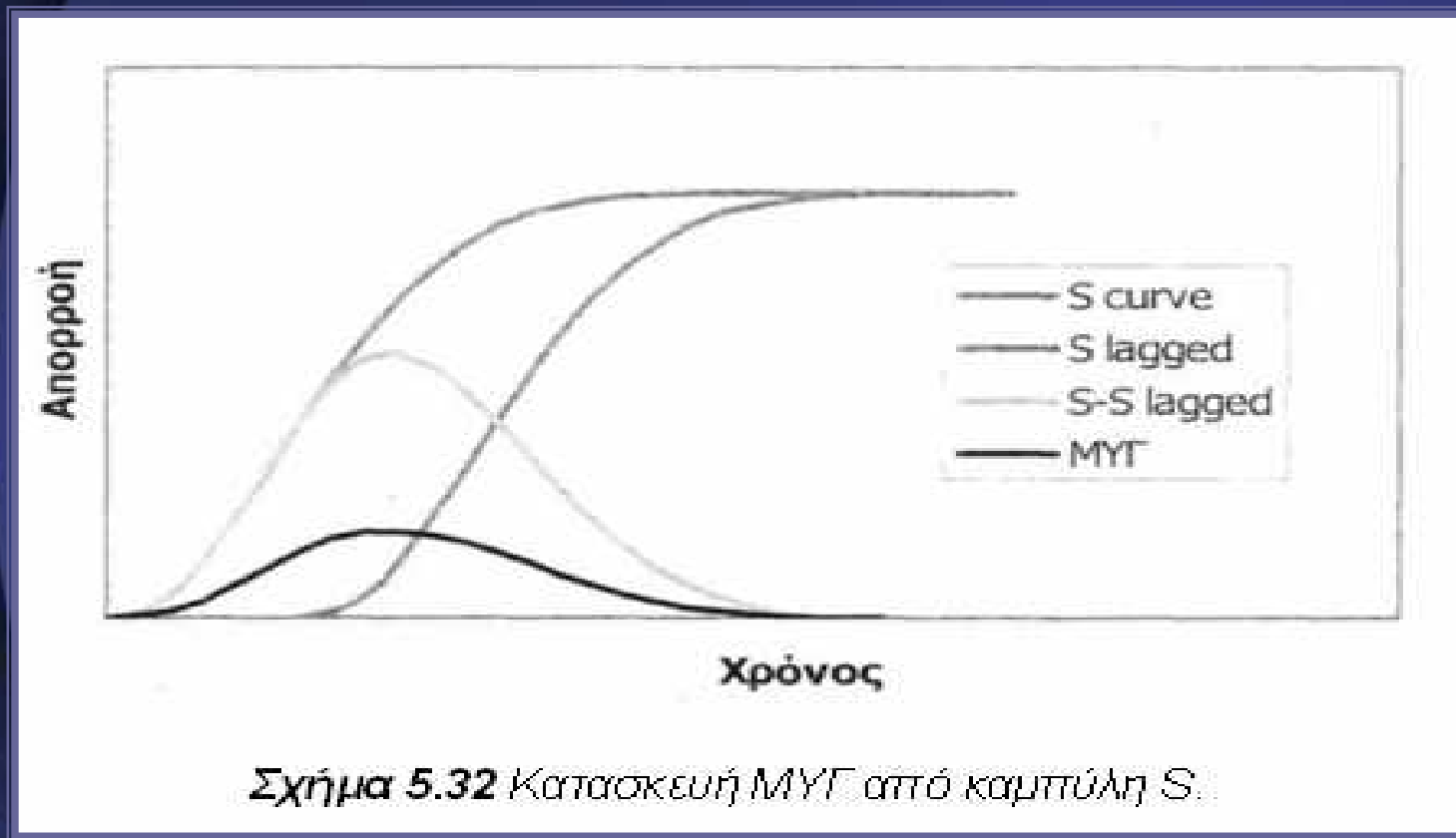
$$\frac{\mu}{1/D}, \quad \frac{\mu}{\mu/D}, \quad Q = \frac{\mu}{1/D}, \quad S$$

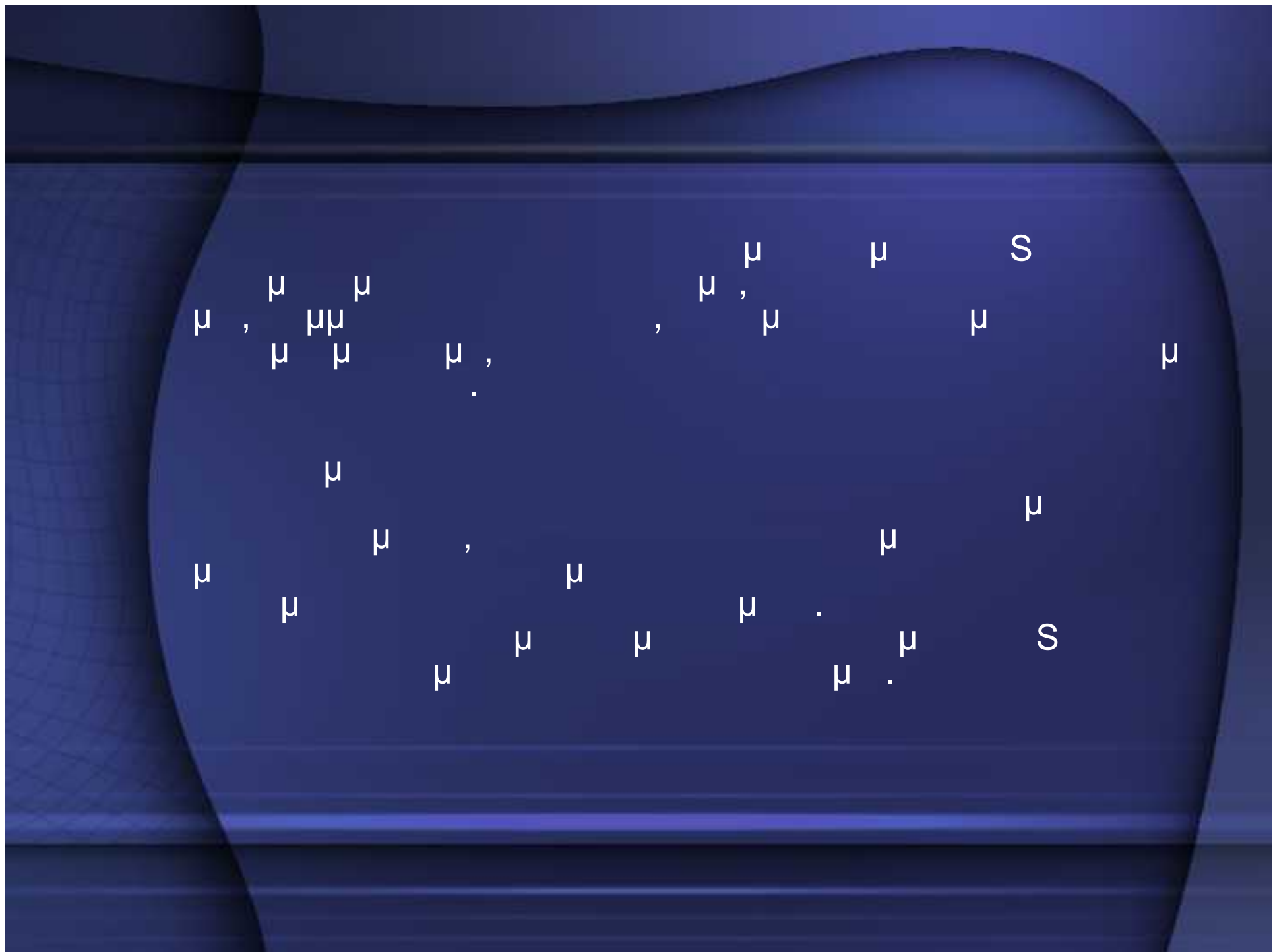




$$\mu = 5.32,$$

... t ...





5.7.5

μ

μ

$\mu\mu$

μ

μ

.

μ

μ
(
),

μ
. .

μ

μ

μ

μ
 μ

μ

μ

μ

μ

.

μ

μ

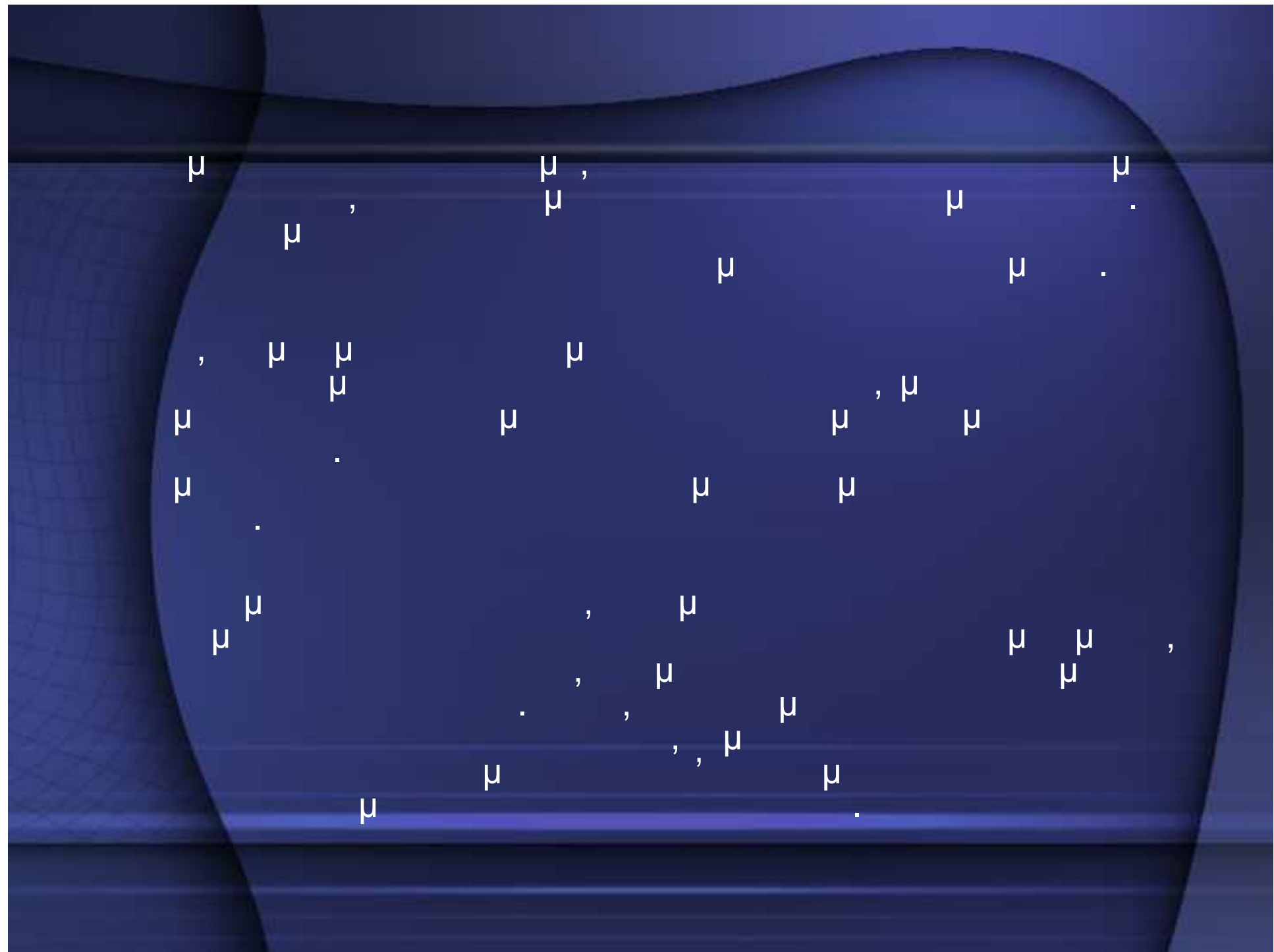
,

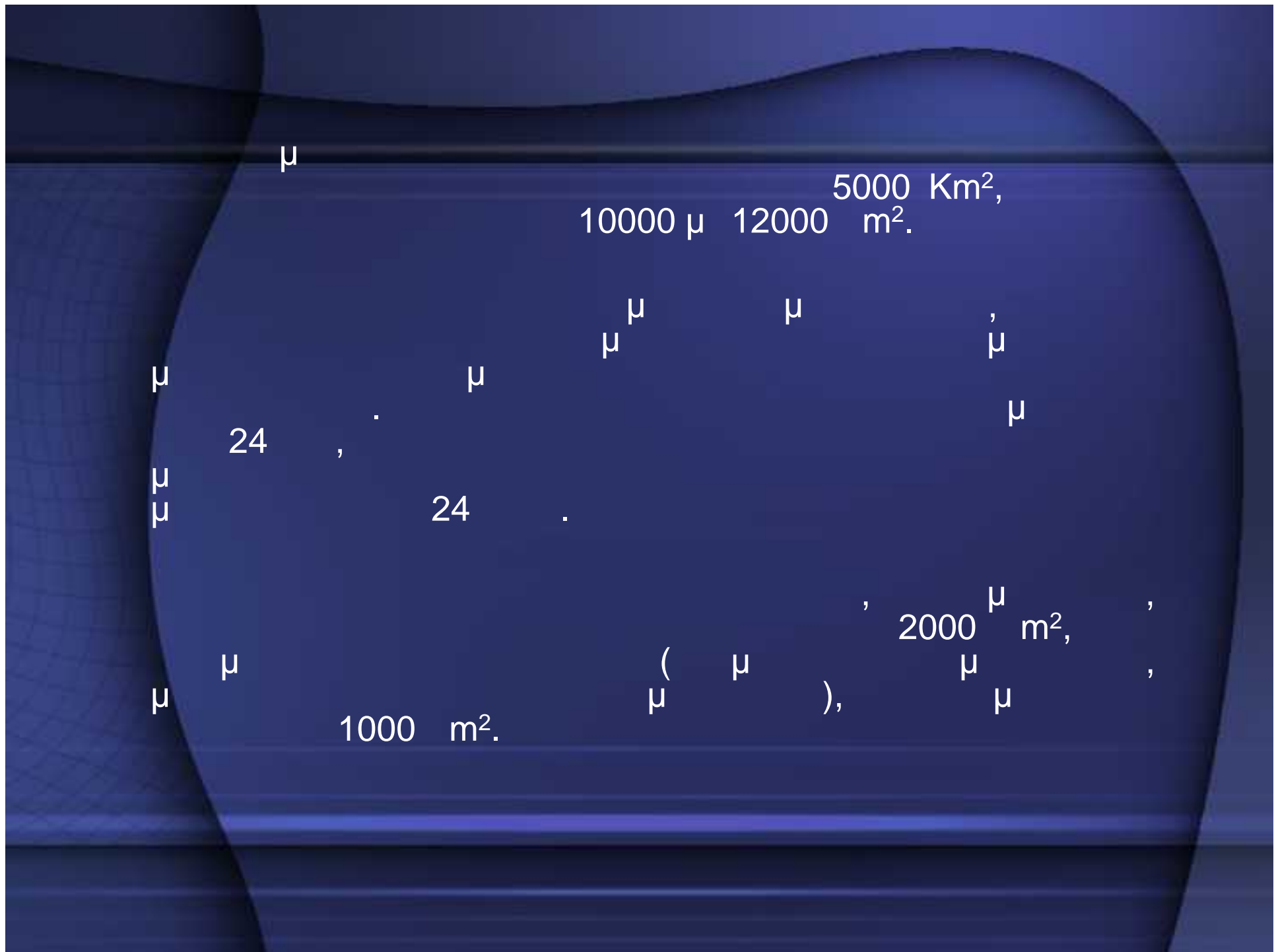
μ

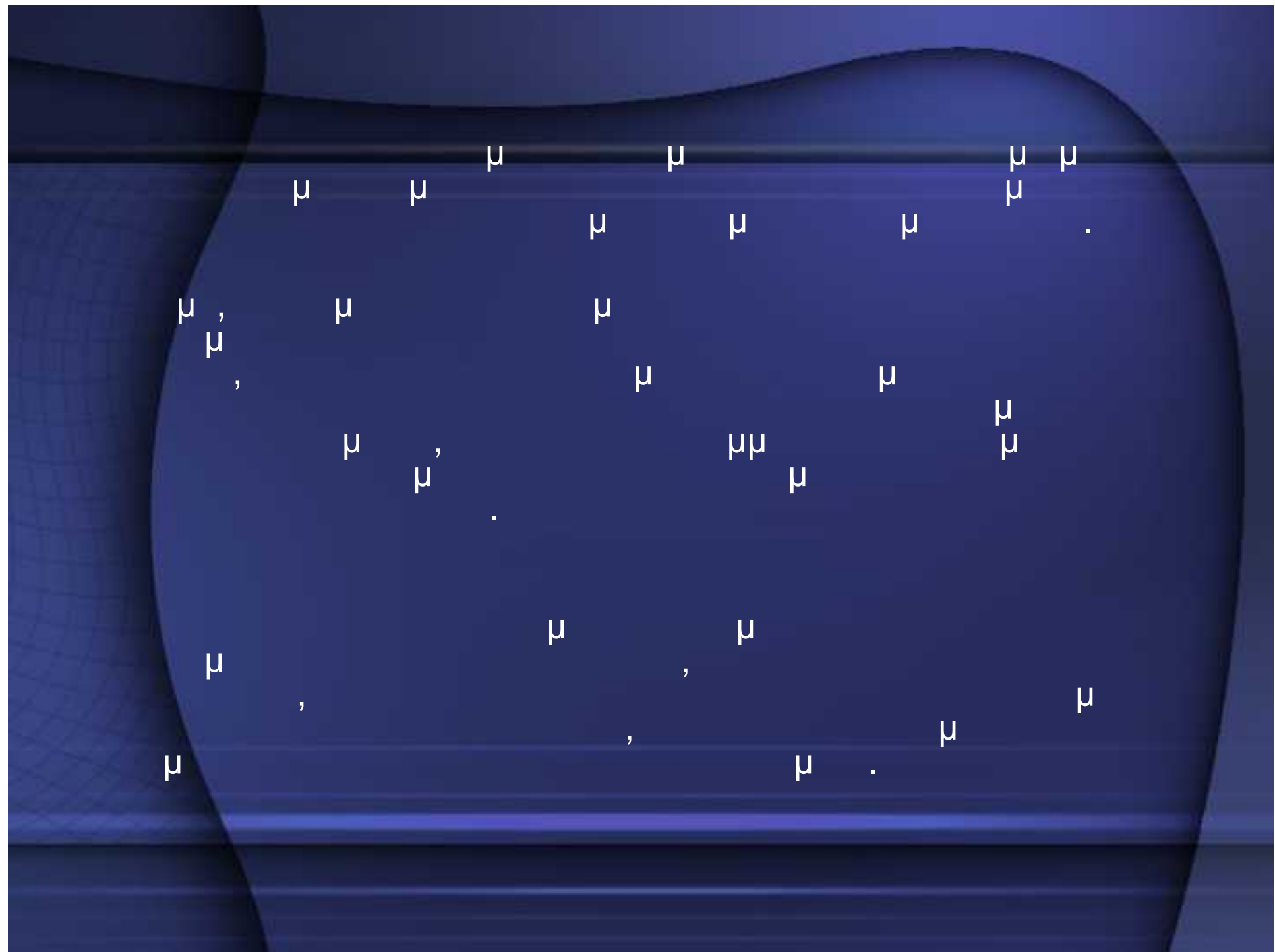
,

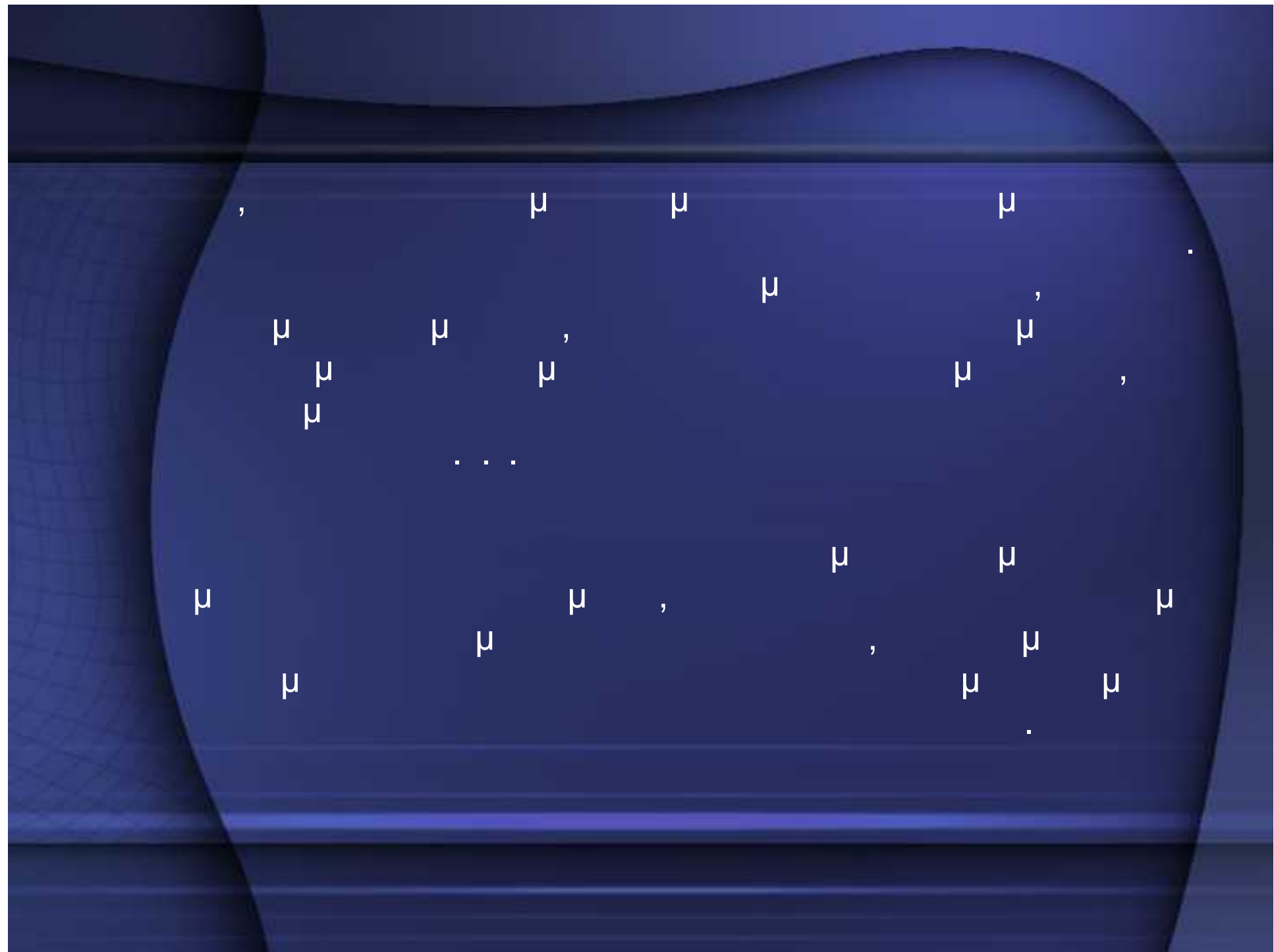
μ

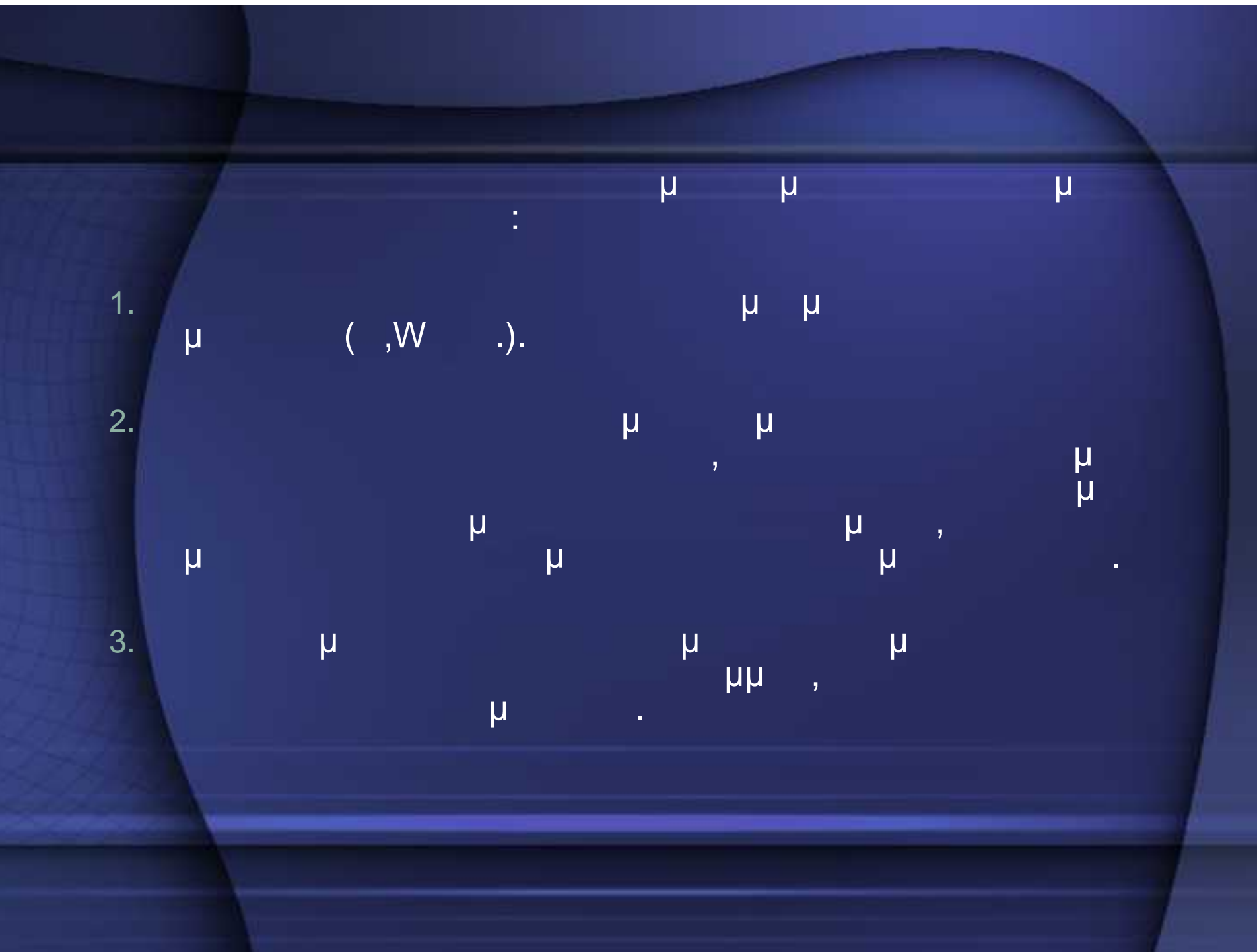
μ











1.

μ (,W .).

μ μ μ

2.

μ μ μ μ

μ

μ μ μ μ

3.

μ μ μ μ

μ

5.7.6 Snyder

The figure is a scatter plot with the following details:

- X-axis:** Labeled W_{50}/W_{75} , ranging from 0.50% to 1.00%.
- Y-axis:** Labeled τ_p , ranging from 0.0 to 0.4.
- Data Points:**
 - Blue circles with error bars, representing data from Snyder, 1998., show values increasing from approximately 0.05 at 0.50% to 0.35 at 1.00%.
 - Red circles with error bars, representing data from McCuen, 1998., show values increasing from approximately 0.05 at 0.50% to 0.35 at 1.00%.
- Regression Line:** A red line represents the linear regression fit for the combined data, passing through the origin with a slope of approximately 0.35.
- Legend:** Located in the bottom right corner, it identifies the blue circles as "Snyder, 1998." and the red circles as "(McCuen, 1998.)."

Snyder

:

$$t_p = C_t (L_{ca} L)^{0.3} \quad (\text{hr})$$

$$Q_p = C_p \frac{640 \cdot A}{t_p} \quad ft^3/s$$

$$T = 3 + 3 \cdot \left(\frac{t_p}{24} \right) \quad (\text{y} \sim \dots \text{vg})$$

:

$$L_{ca} =$$

)

μ

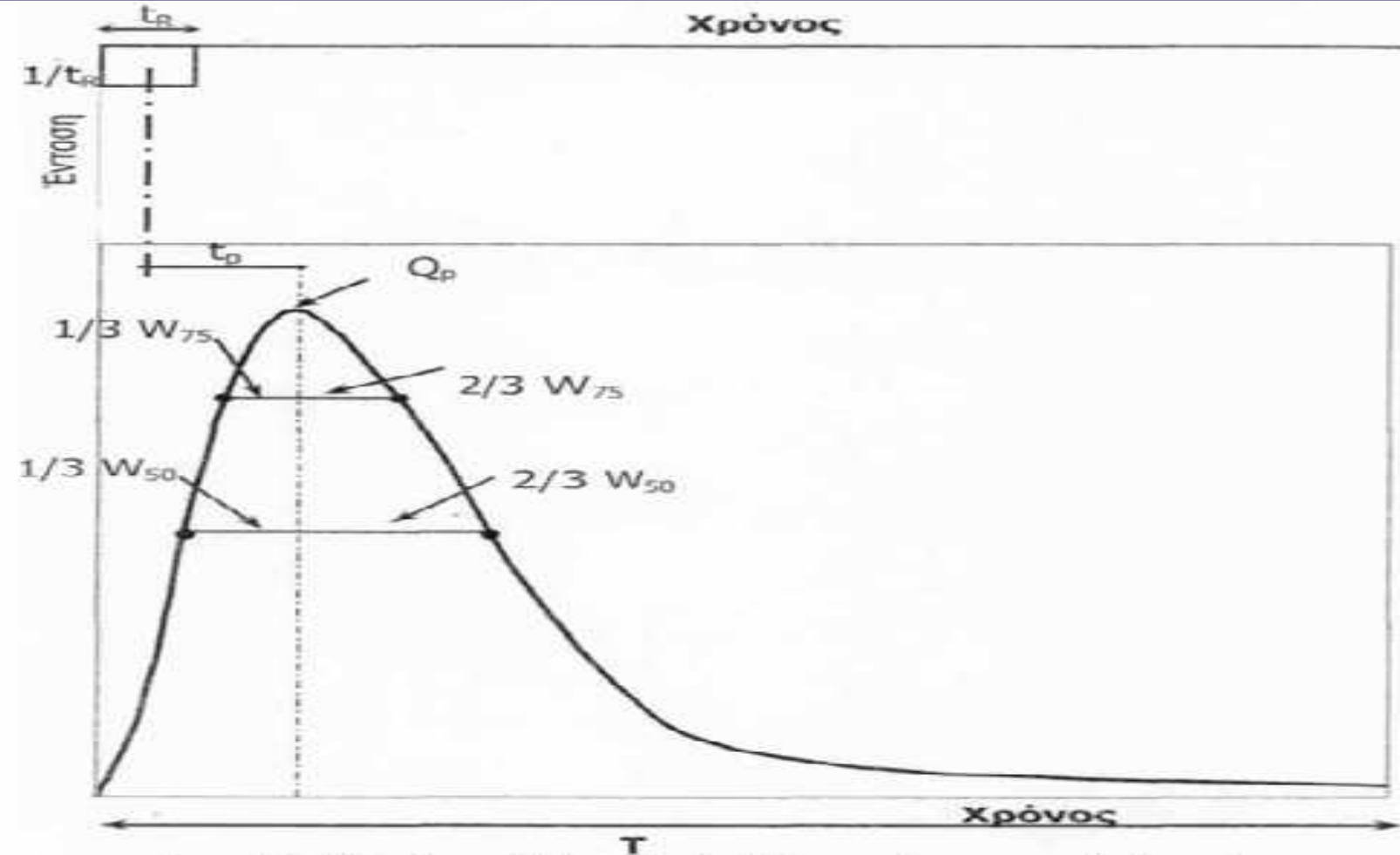
μ

,

$$\mu \\ (\text{mi}).$$

μ

$$\begin{aligned}
L &= \frac{\mu}{\mu} \quad (\text{mi}), \quad , \quad \mu \\
C_t &= \frac{2.20}{\mu} \cdot \frac{\mu}{\mu} \quad (\mu \quad \mu) \quad C_t \quad 1.80 \\
C_p &= \frac{0.56}{(\mu)} \quad 0.69. \\
&= \frac{(\text{mi}^2)}{\mu \quad \mu \quad 3 \quad \mu} \quad . \quad \mu
\end{aligned}$$



Σχήμα 5.34 Συνθετικό Μοναδιαίο Υδρογράφημα κατά Snyder.

$$\begin{array}{ccccccc} \mu & & & \mu & & & \mu \\ \mu\mu & \mu & . & \mu & : & & t_R, \\ \mu & & & & & & \end{array}$$

$$t_R = t_p / 5.5$$

$$\begin{array}{ccccc} \mu & & t_R & \mu & t_R \\ & & \mu & & \mu \\ & & & & : \end{array}$$

$$t_p = t_p + \frac{(t_R - t_p)}{4}$$

$$\begin{array}{ccccc} \mu & & \mu & & (5.42) \\ \mu & \mu & Q_p & : & \end{array}$$

50% 75% μ , W_{50} W_{75} ,

:

$$W_{50} = \frac{830}{q_p^{1.1}}$$

$$W_{75} = \frac{470}{q_p^{1.1}}$$

$$q_p = Q_p/A \quad \mu \quad \mu$$

.

μ μ μ ,

7 μ

μ (μ μ μ .

) μ